

1954/2



მ. ლ. მ. ქ.

საქართველოს სსრ

მეცნიერებათა აკადემიის

მ ო ე მ ბ ე

გომი XV, № 7

ძირითადი, ქართული გამოცემა

1954

524/2

6

საქართველოს სსრ მეცნიერებათა აკადემიის გამომცემლობა
თბილისი



შ ი ნ ა ა რ ს ი

მათემატიკა

- 1. ბ. ხვედელიძე. ერთი კლასის კოშის გუდიან სინგულარულ ინტეგრალურ განტოლებათა შესახებ 481
- 2. ნ. ბერიკაშვილი. ორადონის თეორემების შესახებ ნებისმიერ სიმრავლეთათვის 487

ღმრთაობის თეორია

- 3. გ. კუბრაძე (საქართველოს სსრ მეცნიერებათა აკადემიის ნამდვილი წევრი) და მ. ბაშელეიშვილი. ანიზოტროპული ტანის დრეკადობის თეორიის ახალი ინტეგრალური განტოლებები და მათი გამოყენება სასაზღვრო ამოცანების ამოხსნელად 495

მეცნიერება

- 4. კრ. არეშიძე და თ. ჩარკვიანი. ჰიდრირებისა და დეჰიდრირების კატალიზატორი ნიკელი გუმბრინზე 503

ქიმიური ტექნოლოგია

- 5. მ. მერაბიშვილი, ს. ფილატოვი, ნ. ტულუშვი. სარიგუნის საბადოს ბენტონიტები სომხეთში 511

ბიოლოგია

- 6. დ. წერეთელი. ალაზნის ველის პალეოგეოგრაფიისა და რელიეფის განვითარების ისტორიისათვის 517

პალეონტოლოგია

- 7. ფ. მჭედელიშვილი. დასავლეთ საქართველოს პონტურ ნაღველებში *Pinus pil-hyusa* Standw. გირჩის პონის შესახებ 525

ტექნიკა

- 8. ე. სარქისიანი. თაღის ძაბვის რეგულირება ღერძის გადაადგილებით 531

მეცნიერება

- 9. გ. კვიციანიძე. არაწრფივი უკუკავშირის რეგულაციის სისტემების შესახებ 539

პარაზიტოლოგია

- 10. ლ. ქოიჯა. გარეული ღორის ნემატოდის ახალი სახეობა—*Simondsia petrowi* nov. sp.—საქართველოდან 547

ხელოვნების ისტორია

- 11. ნ. ალადაშვილი. რელიეფი ოპიზიდან აშტ კურაპალატის გამოსახულებით 553



მათემატიკა

ბ. ხვიციანიძე

ერთი კლასის კოზის გულნიან სინგულარულ ინტეგრალურ განტოლებათა შესახებ

(წარმოდგინა აკადემიის ნამდვილმა წევრმა ვ. კუბრაძემ 28.4.1954)

ვთქვათ, C აღნიშნავს ლიპუნოვის⁽¹⁾ ბრტყელ შეკრულ წირთა სასრულ ერთობლიობას.

შემდეგში $L_p(C)$ -თი აღნიშნავთ $\varphi(t)$, $t \in C$, p -ხარისხში ჯამად ფუნქციათა სივრცეს შემდეგი ნორმით

$$\|\varphi\|^p = \int_C |\varphi(t)|^p d\sigma, \quad d\sigma = |dt|.$$

განვიხილოთ კოზის გულნიან სინგულარული ინტეგრალური განტოლება

$$A\varphi \equiv a(t_0)\varphi(t_0) + \frac{b(t_0)}{\pi i} \int_C \frac{\varphi(t)}{t-t_0} dt + T\varphi = f(t_0), \quad t_0 \in C, \quad (1)$$

სადაც $a(t)$, $b(t)$ უწყვეტი ფუნქციებია, რომლებიც აკმაყოფილებენ პირობას $a^2(t) - b^2(t) \neq 0$, $t \in C$, ცნობილი ფუნქცია $f(t)$ და საძიებელი ფუნქცია $\varphi(t)$ ეკუთვნიან $L_p(C)$, $p > 1$, სივრცეს, T საესებით უწყვეტი ოპერატორია, რომელსაც $L_p(C)$ გადაჰყავს თავის ნაწილში.

როგორც ცნობილია (იხ. მაგ., [1]), იმ შემთხვევაში, როცა $a(t)$, $b(t)$, $f(t)$ და $\varphi(t)$ აკმაყოფილებენ C -ზე ჰელდერის პირობას, (1) განტოლებისათვის კარგა ხანია, რაც დადგენილია ნეტერის თეორემები. ამ თეორემების სამართლიანობა უწყვეტ ფუნქციათა უფრო ზოგად კლასებში, ვიდრე ჰელდერის აზრით უწყვეტი ფუნქციებია, დამტკიცებულ იქნა ლ. მალნარაძის [2] მიერ. თუ ფუნქციები $a(t)$ და $b(t)$ აკმაყოფილებენ ჰელდერის პირობას, $a^2(t) - b^2(t) \neq 0$, ხოლო $f(t)$ და $\varphi(t)$ ფუნქციები ეკუთვნიან $L_2(C)$ სივრცეს, მაშინ ნეტერის თეორემების სამართლიანობა დამტკიცებულია ჩვენს წერილში [3]². არსებითი განზოგადება იმ საკმარისი პირობებისა, რომლებიც უზრუნველყოფენ ნეტერის თეორემების სამართლიანობას, მოცემულ იქნა ს. მიხლინის მიერ [5]. ს. მიხლინმა აჩვენა, რომ (1) განტოლებისათვის ადგილი

(¹ წირს უწოდებენ ლიპუნოვის წირს, თუ მისი შემზღების მიერ სიბრტყეზე აღებულ რაიმე მიმართულებასთან შედგენილი კუთხე, როგორც წირის წერტილის ფუნქცია, აკმაყოფილებს ჰელდერის პირობას.)

(² ამ შედეგების სამართლიანობა იმ შემთხვევაში, როცა $f(t)$ და $\varphi(t)$ ეკუთვნიან $L_p(C)$, $p > 1$, სივრცეს ნაჩვენებია ჩვენ წერილში [4].



6642

აქვს ნეტერის თეორემებს, თუ: $a(t)$, $b(t)$ ფუნქციები უწყვეტია, $a^2(t) - b^2(t) \neq 0$, ხოლო $f(t)$ და $\varphi(t)$ ფუნქციები ეკუთვნიან $L_2(C)$ სივრცეს.

ფ. ატკინსონმა [6] და ი. გოხბერგმა [7] შეისწავლეს წრფივი განტოლებები ბანახის სივრცეში საკმაოდ ზოგად პირობებში.

წინამდებარე წერილში [4, 5, 6] ნაშრომთა ზოგიერთი შედეგის გამოყენებით ჩვენ ვაჩვენებთ, რომ იმ პირობებში, რომელიც აღნიშნული იყო ზემოთ, ადგილი აქვს ნეტერის თეორემებს (1) განტოლებისათვის.

შემოვიღოთ აღნიშვნა

$$s\varphi \equiv \frac{1}{\pi i} \int \frac{\varphi(t)}{t-t_0} dt, \quad t_0 \in C.$$

ადგილი აქვს

ლემა 1. ოპერატორი $s\varphi$ შემოსაზღვრულია $L_p(C)$; $p > 1$, სივრცეში.

ლემის დამტკიცება საკმარისია იმ შემთხვევაში, როცა C არის ერთი ლია რკალი, რომლის სიგრძე $l < 2\pi$.

რადგან C აკმაყოფილებს ლიპუნოვის პირობას, ამიტომ ადგილი აქვს ტოლობას

$$\frac{dt}{t-t_0} = \frac{1}{2} \operatorname{ctg} \frac{\sigma-\sigma_0}{2} d\sigma + \Omega(\sigma, \sigma_0) d\sigma, \quad (2)$$

სადაც σ და σ_0 რკალური აბსცისებია t და t_0 წერტილებისა, ხოლო ფუნქცია Ω აკმაყოფილებს პირობას

$$|\Omega(\sigma, \sigma_0)| < \frac{\operatorname{const}}{|\sigma-\sigma_0|^\alpha}, \quad 0 \leq \alpha < 1. \quad (3)$$

(2) ტოლობის გამოყენებით მივიღებთ

$$s\varphi = \frac{1}{2\pi i} \int_0^l \varphi(\sigma) \operatorname{ctg} \frac{\sigma-\sigma_0}{2} d\sigma + \frac{1}{\pi i} \int_0^l \Omega(\sigma, \sigma_0) \varphi(\sigma) d\sigma.$$

მ. რისის ცნობილი შედეგის ძალით პირველი ინტეგრალი შემოსაზღვრულია $L_p(C)$, $p > 1$, სივრცეში. ამგვარად, დაგვრჩა ვაჩვენოთ ამავე სივრცეში

$$\Omega\varphi = \int_0^l \Omega(\sigma, \sigma_0) \varphi(\sigma) d\sigma$$

ოპერატორის შემოსაზღვრულობა.

(3) დამოკიდებულებისა და ჰელდერის უტოლობის გამოყენებით მივიღებთ

$$|\Omega\varphi|^p \leq \operatorname{const} \cdot \int_0^l \frac{|\varphi(\sigma)|^p}{|\sigma-\sigma_0|^\alpha} d\sigma,$$

საიდანაც თავის მხრივ გამომდინარეობს

$$\|\Omega\varphi\| \leq \operatorname{const} \cdot \|\varphi\|.$$



იმ შემთხვევაში, როცა C -ს აქვს შემოსაზღვრული სიმრუდე და $p = 2$ ეს ლემა დამტკიცებულია ს. მიხლინის [5] მიერ.

ლემა 2. თუ $\omega(t)$ უწყვეტი ფუნქციაა C -ზე, მაშინ ოპერატორი

$$h\varphi \equiv \int_C \frac{\omega(t) - \omega(t_0)}{t - t_0} \varphi(t) dt,$$

სავსებით უწყვეტია $L_p(C)$, $p > 1$, სივრცეში.

ეს ლემა, როცა C -ს აქვს შემოსაზღვრული სიმრუდე და $p = 2$, დამტკიცებულია ს. მიხლინის [5] მიერ. თუ გავითვალისწინებთ წინა ლემას და თეორემას სავსებით უწყვეტ ოპერატორთა თანაბრად კრებადი მიმდევრობის ზღვრის შესახებ სრულ სივრცეში (იხ. [8], გვ. 215, თეორემა 2), ადვილად შევამჩნევთ, რომ ს. მიხლინის დამტკიცება ძალაში რჩება ჩვენს შეზღუდვებშიაც.

ამ ლემიდან და ფორმულიდან $s^2\varphi = \varphi$, რომელსაც ადგილი აქვს (იხ. [3]), თუ $\varphi \in L_p(C)$, $p > 1$, მივიღებთ:

$$\begin{aligned} s(\omega\varphi) &= \omega s\varphi + T_1\varphi, \\ s(\omega s\varphi) &= \omega s^2\varphi + T_2\varphi, \end{aligned} \quad (4)$$

სადაც ω უწყვეტი ფუნქციაა C -ზე, $\varphi \in L_p(C)$, $p > 1$, ხოლო T_1 და T_2 სავსებით უწყვეტი ოპერატორებია $L_p(C)$ სივრცეში.

განვიხილოთ ახლა ოპერატორი

$$M\psi \equiv \frac{a(t)}{a^2(t) - b^2(t)} \psi - \frac{b(t)}{a^2(t) - b^2(t)} s\psi.$$

ლემა 1-ისა და $a(t)$, $b(t)$ ფუნქციებისაგან მოთხოვნილ შეზღუდვების ძალით, $M\psi$ ოპერატორი შემოსაზღვრულია $L_p(C)$, $p > 1$, სივრცეში.

(4) ტოლობების გამოყენებით მივიღებთ, რომ

$$AM\psi = \psi + T_3\psi, \quad MA\varphi = \varphi + T_4\varphi, \quad (5)$$

სადაც T_3 და T_4 სავსებით უწყვეტი ოპერატორებია $L_p(C)$, $p > 1$, სივრცეში.

აღვნიშნოთ k -თი $A\varphi = 0$ ერთგვაროვანი განტოლების წრფივად დამოუკიდებელ ამოხსნათა რიცხვი $L_p(C)$, $p > 1$, სივრცეში, ხოლო k^* -ით შეუღლებული ერთგვაროვანი განტოლების $A^*\psi = 0$ წრფივად დამოუკიდებელ ამოხსნათა რიცხვი $L_q(C)$, $q = p/(p-1)$, სივრცეში. სხვაობას $k - k^*$ ვუწოდოთ A ოპერატორის ინდექსი და აღვნიშნოთ ასე: $\chi(A)$. მაშ,

$$\chi(A) = k - k^*.$$

თუ მივიღებთ მხედველობაში, რომ ოპერატორები A და M შემოსაზღვრული წრფივი ოპერატორებია $L_p(C)$, $p > 1$, სივრცეში, და გავითვალისწინებთ (5) ტოლობებსა და [6] ნაშრომში დამტკიცებულ I, III, IV თეორემებს, დავრწმუნდებით, რომ ადგილი აქვს შემდეგ დებულებებს:

თეორემა 1. იმისათვის, რომ განტოლება

$$A\varphi = f, \quad f \in L_p(C), \quad (1)$$

ამოხსნადი იყოს $L_p(C)$, $p > 1$, სივრცეში, აუცილებელია დასაკმარისი ადგილი ჰქონდეს ტოლობებს

$$\int_C f(t) \psi_j(t) dt = 0, \quad j = 1, 2, \dots, k^*,$$

სადაც $\psi_j(t)$, $j = 1, \dots, k^*$, ამოხსნათა სრული სისტემაა $A^* \psi = 0$ განტოლებისა $L_q(C)$, $q = p/(p-1)$ სივრცეში.

თეორემა 2. A ოპერატორის ინდექსი დამოუკიდებელია სავსებით უწყვეტი შესაკრებისაგან, ე. ი.

$$\chi(A + T) = \chi(A),$$

სადაც T ნებისმიერი სავსებით უწყვეტი ოპერატორია $L_p(C)$, $p > 1$, სივრცეში.

თეორემა 3. ყოველთვის შეიძლება $a(t)$, $b(t)$ ფუნქციათა ისეთი საკმაოდ მახლობელი $\alpha(t)$ და $\beta(t)$ ფუნქციების შერჩევა⁽¹⁾, რომ ეს ფუნქციები დააკმაყოფილებენ ჰელდერის პირობებს, $\alpha^2(t) - \beta^2(t) \neq 0$ ყველგან C -ზე, და

$$\chi(A) = \chi(B),$$

სადაც

$$B\varphi \equiv \alpha(t)\varphi(t) + \beta(t)\varphi + T\varphi.$$

იმ შემთხვევაში, როცა C შემოსაზღვრული სიმრუდის მქონე შეკრული წირია, ხოლო $p = 2$, ზემოაღნიშნული თეორემები დამტკიცებული იყო ს. მიხლინის მიერ (იხ. [5]).

მე 2 და მე-3 თეორემებიდან გამომდინარეობს, რომ

$$\chi(A) = \chi(B_0),$$

სადაც

$$B_0\varphi \equiv \alpha(t)\varphi + \beta(t)\varphi.$$

[4] ნაშრომში ჩვენ ნაჩვენებია გვაქვს, რომ

$$\chi(B_0) = \frac{1}{2\pi} \int_C d \arg \frac{\alpha(t) - \beta(t)}{\alpha(t) + \beta(t)}.$$

რადგან $a^2(t) - b^2(t) \neq 0$ ყველგან C -ზე, ხოლო $\alpha(t)$ და $\beta(t)$ საკმაოდ ახლოსაა $a(t)$ და $b(t)$ -სთან, გვიქნება

$$\int_C d \arg \frac{a(t) - b(t)}{a(t) + b(t)} = \int_C d \arg \frac{\alpha(t) - \beta(t)}{\alpha(t) + \beta(t)}.$$

(¹ მახლობლობა იგულისხმება უწყვეტ ფუნქციათა მეტრიკის თვალსაზრისით.)

მაშ,

$$x(A) = \frac{1}{2\pi} \int_C d \arg \frac{a(t) - b(t)}{a(t) + b(t)}. \quad (6)$$

ამგვარად, ადგილი აქვს

თეორემა 4. ზემოაღნიშნულ შეზღუდვებში, A ოპერატორის ინდექსი გამოითვლება (6) ფორმულით.

როგორც ადგილი შესამჩნევია, ამ შენიშვნაში მიღებული შედეგები რჩება ძალაში სინგულარულ ინტეგრალურ განტოლებათა სისტემის შემთხვევაშიაც.

საქართველოს სსრ მეცნიერებათა აკადემია

ა. რახმაძის სახელობის

თბილისის მათემატიკის ინსტიტუტი

(რედაქციას მოუვიდა 29.4.1954)

დამოწმებული ლიტერატურა

1. Н. И. Мусхелишвили. Сингулярные интегральные уравнения. Москва, 1946.
2. ლ. შაღნარაძე. რიჟან-ჰილბერტის ერთი წრფივი სასაზღვრო ამოცანის შესახებ. საქართველოს სსრ მეცნიერებათა აკადემიის მოამბე, ტ. VIII, № 9—10, 1947.
3. ბ. ზვედელიძე. სინგულარული ინტეგრალური განტოლებები კოში-ლენგესის განსაკუთრებულ ინტეგრალებში. საქართველოს სსრ მეცნიერებათა აკადემიის მოამბე, ტ. VIII, № 7, 1947.
4. ბ. ზვედელიძე. ზოგიერთი შენიშვნა ანალიზურ ფუნქციათა თეორიის წრფივი სასაზღვრო ამოცანისა და კოშის გულიან სინგულარულ ინტეგრალურ განტოლებათა შესახებ. საქართველოს სსრ მეცნიერებათა აკადემიის მოამბე, ტ. XII, № 2, 1952.
5. С. Г. Михлин. Сингулярные интегральные уравнения с непрерывными коэффициентами. Доклады АН СССР, т. 59, № 3, 1948.
6. Ф. В. Аткинсон. Нормальная разрешимость линейных уравнений в нормированных пространствах. Мат. сборн., т. 28, № 1, 1951.
7. И. Ц. Гохберг. О линейных уравнениях в нормированных пространствах. Доклады АН СССР, т. 76, № 4, 1951.
8. Л. А. Люстерник и В. И. Соболев. Элементы функционального анализа. Москва, 1951.



ნ. ბარბაქაძის მიერ

ორადონი თეორემების შესახებ ნებისმიერ სიმრავლეთათვის

(წარმოადგინა აკადემიის ნამდვილმა წევრმა ვ. კუპრაძემ 4.5.1954)

ამ შრომის ძირითადი მიზანია ჩეხისა და ვიეტორისის სხვადასხვა ტიპის ჰომოლოგიის ჯგუფებისათვის ორადონის თეორემების დამტკიცება. ეს მიღწეულია § 6-ში. აღნიშნული ჯგუფები შემოყვანილია § 4-ში და აქვეა დამყარებული დამოკიდებულებანი მათ შორის. § 1-ში განხილულია კომპლექსთა სპექტრის გარკვეული სახეობა, კერძოდ (§ 2-ში) სივრცის დაფარვათა ნერვებისა და ე. წ. ვიეტორისიანთა სპექტრები. სივრცის ნებისმიერ ქვესიმრავლისათვის, როგორც ნერვებისათვის, ისე ვიეტორისიანებისათვის, ვიღებთ ორ-ორ ასეთ სპექტრს: შიგას და გარეს; § 3-ში მტკიცდება, რომ ეს ორი სპექტრი ერთი და იგივე სპექტრის კოფინალური სპექტრებია. კერძოდ, ნერვების შემთხვევაში აქედან გამოდის ჩეხის ე. წ. გარე ჯგუფთა ინვარიანტობა [1, 2]; ამ შემთხვევაშიაც ჩვენ დამტკიცება რამდენადმე უფრო მარტივია. შრომის შესრულების დროს ჩვენ ვეყრდნობით გარე ჯგუფთა ინვარიანტობის კალანის დამტკიცებას, ჰურვიჩი-ლუგუნჯი-დაუკერის მიერ მოცემულ ტოპოლოგიურ განმარტებას ვიეტორისის ჯგუფებისა და ორადულ დამოკიდებულებათა მიღების მიზნით ჰოლომფილის მიერ მითითებულ მეთოდს ჩაკეტილ და ღია სიმრავლეებით აპროქსიმაციებისას. სიმარტივისათვის ჩვენ განვიხილავთ მხოლოდ Δ ჯგუფებს და არა მრავალნაირობებს, არამედ მხოლოდ სფერულ სივრცეებს.

1. განსახილვერათ $1. D = \{T, S, K_\tau, K_\sigma^s, q_{\tau\sigma}^s\}$ კომპლექსთა¹ სპექტრი არის ინდექსთა მიმართული $T = \{\tau, <\}$ სისტემით აღნიშნული K_τ კომპლექსთა, K_τ -ს მიმართული $S = \{s, <\}$ სისტემით აღნიშნულ K_σ^s ქვეკომპლექსთა და სიმპლექსურ $q_{\tau\sigma}^s$ გადასახვათა ერთობლიობა, რომლებიც ასეთ პირობებს აკმაყოფილებენ:

a) თუ $s < r$, $s, r \in S$, მაშინ

$$K_\sigma^s \subseteq K_\tau^r;$$

b) ყოველი წყვილისათვის $\tau < \sigma$ განმარტებულია ერთი ან რამდენიმე სიმპლექსური $q_{\tau\sigma}^s$ გადასახვა K_σ -სი K_τ -ში, ე. წ. პროექცია; ამასთან, ეს გა-

¹ ყოველთვის განიხილება სიმპლექსური აბსტრაქტული კომპლექსი.

დასახვა, K_σ^* -ზე განხილული, ყოველი σ -თვის სიმპლექსური გადასახვაა K_σ^* -სი K_τ^* -ში;

ა) თუ $\tau < \sigma < \nu$ და $q_{\sigma\tau}^i, q_{\tau\sigma}^i$ პროექციებია, მაშინ $q_{\tau\sigma}^i, q_{\sigma\tau}^i$ აგრეთვე პროექციებია;

ბ) $q_{\tau\sigma}^i$ პროექციები ნებისმიერი i -სათვის სიმპლექსურად მახლობელნი არიან, როგორც K_τ კომპლექსების მიმართ, ასევე σ -ურ ქვეკომპლექსთა მიმართ. იგივეური გადასახვა K_τ^* -ისა K_σ -ში $p_{\sigma\tau}^i$ -ით აღენიშნოთ, ხოლო K_σ^* -ისა K_τ^* -ში, $s < r$, p_{sr}^i -ით.

განსაზღვრა 2. ვიტყვი, რომ კომპლექსთა $D' = \{R, S, K_\rho, K_\rho^*, q_{\rho\sigma}^i\}$ სპექტრი კოფინალურია D -ში და დაეწეროთ $D' \subset D$, თუ:

ა) ინდექსთა R სისტემა კოფინალურია T -ში, ე. ი. R არის T -ს ისეთი ქვესიმრავლე, რომ ყოველ τ -ს მოსდევს რომელიმე $\sigma = \rho \in R$ ელემენტი: $\tau < \sigma$; ამასთან R -ში დალაგება ისეთია, რომ, თუ $\rho < \chi$, $\rho, \chi \in R$, და $\rho = \tau$, $\chi = \sigma$, მაშინ $\tau < \sigma$;

ბ) თუ $\rho = \tau$, მაშინ $K_\rho = K_\tau$, $K_\rho^* = K_\tau^*$;

გ) როცა $\rho < \chi$ და $\tau = \rho$, $\sigma = \chi$, მაშინ $q_{\rho\sigma}^i$ სიმპლექსურად მახლობელია $q_{\tau\sigma}^i$ -სა, როგორც K_τ კომპლექსების, ისე მათ σ -ურ ქვეკომპლექსების მიმართ.

კომპლექსთა D სპექტრისათვის X დისკრეტულ კოფინიტენტთა ჯგუფის მიმართ შემდეგნაირად განვსაზღვრავთ სამი ტიპის ჰომოლოგიის ჯგუფს: $H_1^n(D, X)$, $H_2^n(D, X)$, $H_3^n(D, X)$ და საშუალოდ $H_4^n(D, X)$. K კომპლექსის n -განზომილებიანი ჰომოლოგიის ჯგუფი X ჯგუფის მიმართ, დამყარებული სასრულ ჯაჭვებზე, აღენიშნოთ $H^n(K, X)$ -ით. თუ $\tau < \sigma$, მაშინ $q_{\tau\sigma}^i$ განმარტავს $q_{\tau\sigma}^i$ ჰომომორფიზმს $H^n(K_\tau, X)$ -სა $H^n(K_\sigma, X)$ -ში და $q_{\tau\sigma}^i$ ჰომომორფიზმს $H^n(K_\tau^*, X)$ -ისა $H^n(K_\sigma^*, X)$ -ში. პირველი განსაზღვრის (ა) პირობიდან გამომდინარეობს, რომ ეს ჰომომორფიზმები არ არის დამოკიდებული i -ზე. ამრიგად, გვაქვს ჯგუფთა ორი შებრუნებული სპექტრი $\{H^n(K_\tau, X), q_{\tau\sigma}^i\}$ და $\{H^n(K_\sigma^*, X), q_{\tau\sigma}^i\}$; მათი ზღვრული ჯგუფები, დისკრეტული ტოპოლოგიით განხილულნი, აღენიშნოთ შესაბამად $H_1^n(D, X)$ -ით და $H_2^n(D, X)$ -ით.

ვთქვათ, $h_s \in H_3^n(D, X)$, $h_s = \{h_s^i\}$. თუ $s < r$, მაშინ $h_r = \{\bar{p}_{sr}^i h_s^i\} \in H_3^n(D, X)$ და $h = \{\bar{p}_s^i h_s^i\} \in H_1^n(D, X)$ (აქ \bar{p}_{sr}^i და \bar{p}_s^i აღნიშნავს p_{sr}^i და p_s^i გადასახვების მიერ წარმოშობილ ჰომომორფიზმებს ჰომოლოგიის ჯგუფებისას). ასე განიმარტება ჰომომორფიზმები $p_{sr}: H_3^n(D, X) \rightarrow H_3^n(D, X)$, $s < r$, და $p_s: H_3^n(D, X) \rightarrow H_1^n(D, X)$. $H_1^n(D, X)$ -ის $\cup p_s H_3^n(D, X)$ ქვესიმრავლე აღენიშნოთ $H_2^n(D, X)$ -ით. ეს უკანასკნელი ქვეჯგუფია, რადგან ნებისმიერი s, r და t -თვის, $s < t$, $r < t$, ადგილი აქვს ჩართვას

$$p_s H_3^n(D, X) \cup p_r H_3^n(D, X) = p_t H_3^n(D, X).$$

$H_2^n(D, X)$ ჯგუფები და p_{sr} ჰომომორფიზმები ქმნიან პირდაპირ სპექტრს. მისი ზღვრული ჯგუფი იყოს $H_2^n(D, X)$.

თუ D' კოფინალურია D -ში, მაშინ D -ს ჰომოლოგიის ჯგუფები იზომორფულია D' -ის შესაბამის ჯგუფებთან. მართლაც, კოფინალური სპექტრის განმარტებიდან გამომდინარეობს, რომ

$$\{H^n(K_p, X), \bar{q}_{px}\} \text{ და } \{H^n(K'_p, X), \bar{q}'_{px}\}$$

სპექტრები კოფინალურნი არიან შესაბამისად სპექტრებისა $\{H^n(K_\tau, X), \bar{q}_{\tau\alpha}\}$ და $\{H^n(K'_\tau, X), \bar{q}'_{\tau\alpha}\}$. მაშასადამე,

$$H^n_1(D, X) \cong H^n_1(D', X) \text{ და } H_n(D, X) \cong H_n(D', X).$$

აქედან ადვილი მისახედრია, რომ ადვილი აქვს იზომორფიზმებს:

$$H^n_2(D, X) \cong H^n_2(D', X) \text{ და } H^n_3(D, X) \cong H^n_3(D', X).$$

2. ვთქვათ, მოცემული გვაქვს ტოპოლოგიური L სივრცე და მისი M ქვესიმრავლე. M -ის კომპაქტური ქვესიმრავლეები იყვნენ N_s და $S = \{s\}$ ინდექსთა სისტემა დავალაგოთ ჩაწერის მიხედვით, ე. ი. $s < r$, თუ $N_s \subset N_r$. L -ის ღია სიმრავლეები აღენიშნოთ u -ით, M -ისა კი — u -ით. M -ის დაფარვა L -ის ღია სიმრავლეებით აღენიშნოთ W -თი, ხოლო დაფარვა თავისთავად ღია სიმრავლეებით U -თი. $\{U_\tau\}$ იყოს ყველა შიდა დაფარვის ერთობლიობა და ინდექსების სიმრავლე $T = \{\tau\}$ ჩაწერის მიხედვით დავალაგოთ. ასევე, $\{W_\alpha\}$ სისტემა იყოს ყველა გარე დაფარვათა ერთობლიობა და ინდექსების $A = \{\alpha\}$ სიმრავლე ჩაწერის მიხედვით დავალაგოთ. განვიხილოთ ნერვები $n(U_\tau) = n_\tau$, $n(W_\alpha) = n_\alpha$. n_τ -ს $[n_\alpha - s]$ ის სიმპლექსები, რომლის წვეროების თანაკვეთა შეიცავს N_s -ის წერტილს, ქმნიან $n^\#_\tau$ ქვეკომპლექსს $[n^\#_\tau$ ქვეკომპლექსს]. თუ $\tau < \sigma$ [თუ $\alpha < \beta$]. მაშინ განმარტებულია სიმპლექსური $q^\#_{\tau\sigma}$ გადასახვა n_σ ნერვისა n_τ ნერვში $[q^\#_{\sigma\tau}$ გადასახვა n_τ ნერვისა n_α ნერვში]. $D(C, M) = \{T, S, n_\tau, n^\#_\tau, q^\#_{\tau\sigma}\}$ კომპლექსთა სპექტრია 1 განსაზღვრის აზრით. ასევე

$$D_e(C, M) = \{A, S, n_\alpha, n^\#_\alpha, q^\#_{\alpha\beta}\}$$

კომპლექსთა სპექტრია. $D(C, M)$ -ს ვუწოდოთ ჩეხის შიდა სპექტრი, ხოლო $D_e(C, M)$ -ს ჩეხის გარე სპექტრი.

W -სათვის განვმარტოთ კომპლექსი $k(W)$ (იხ. [3]), ე. წ. ვიეტორისიანი, ასე: მისი წვეროებია L -ის ყველა ის წერტილი, რომელსაც W ფარავს. x_0, x_1, \dots, x_n წვეროები ქმნიან სიმპლექსს, თუ არსებობს W -ში ისეთი w , რომ $x_i \in w, i = 0, 1, 2, \dots, n$. ასევე განიმარტება ვიეტორისიანი $k(U)$. აღენიშნოთ $k(U_\tau) = k_\tau, k(W_\alpha) = k_\alpha$. ყოველი s -ისათვის k_α -ს ის სიმპლექსები, რომლის წვეროები N_s -ში მდებარეობენ, ქმნიან $k^\#_\alpha$ ქვეკომპლექსს; ანალოგიურად განიმარტება $k^\#_\tau$. თუ $\tau < \sigma$, მაშინ, ცხადია, k_σ ქვეკომპლექსია k_τ -სი. იგივერი გადასახვა $k_\sigma \rightarrow k_\tau$ იყოს $g_{\sigma\tau}$; ასევე k_β -ს იგივერი გადასახვა k_α -ში, $\alpha < \beta$, აღენიშნოთ $g_{\alpha\beta}$ -თი. ვიღებთ კომპლექსთა სპექტრებს: ვიეტორისის შიდა

$$D(V, M) = \{T, S, k_\tau, k^\#_\tau, g_{\tau\sigma}\}$$

და ვიეტორისის გარე $D_e(V, M) = \{A, S, k_\alpha, k^\#_\alpha, g_{\alpha\beta}\}$ სპექტრს.

3. M -ის ღია დაფარვას (შიდას ან გარეს) ვუწოდოთ კანონიკური, თუ მისი ნერვის ყოველი სიმპლექსის წვეროების თანაკვეთა შეიცავს M -ის წერტილს. ცხადია, ყველა შიდა დაფარვა კანონიკურია. $\{Z_p\}$ იყოს ყველა კანონ-



ნიკური დაფარვები. $R = \{ \rho \}$. ინდექსები ასე დაფალაგოთ: $\rho < \alpha$, Z_α -ს ყოველი α ელემენტისათვის მოიძებნება Z_ρ -ს ისეთი α_ρ ელემენტი, რომ $\alpha \cap M \subset \alpha_\rho \cap M$. ამ დალაგებით $\{ \rho \}$ ინდექსთა სისტემა მიმართულია. თუ $\rho < \alpha$, მაშინ განიმარტება $g_{\rho\alpha}^f$ სიმპლექსური გადასახვა $n_\alpha = n(\alpha_\rho)$ ნერვისა $n_\rho = n(\rho)$ ნერვში თანადობით $\alpha \rightarrow \rho$, სადაც ρ ერთ-ერთი ელემენტია Z_ρ -დან, რომელიც ზემოთ აღნიშნულ ჩართვას აკმაყოფილებს. ვიღებთ სპექტრს

$$\bar{D}(C, M) = \{ R, S, n_\rho, n_\alpha^s, g_{\rho\alpha}^f \}.$$

თუ $\rho < \alpha$, მაშინ $g_{\rho\alpha}^f$ გადასახვა $k(Z_\alpha) = k_\alpha$ კომპლექსისა $k(Z_\rho) = k_\rho$ კომპლექსში განმარტებულია ასე: k_α -ს x წვეროსათვის $g_{\rho\alpha}^f x = x$, თუ $x \in M$ და თუ $x \notin M$, მაშინ $g_{\rho\alpha}^f x = x'$ არის ერთ-ერთი ისეთი წვერტილი M -ისა, რომელიც x -ის შემცველ ყველა $\alpha \in Z_\alpha$ ელემენტში შედის. ასეთი x' არსებობს რაკი Z_α კანონიკურია. ცხადია, $g_{\rho\alpha}^f$ სიმპლექსური გადასახვაა; ასე რომ ვიღებთ კომპლექსთა სპექტრს $\bar{D}(V, M) = \{ R, S, k_\rho, k_\alpha^s, g_{\rho\alpha}^f \}$.

სამართლიანია შემდეგი თეორემა.

თეორემა 1. სეპარაბელური მეტრული სივრცის ნებისმიერი სიმრავლის ჩეხის და, შესაბამად, ვიეტორისის შიდა და გარე სპექტრებს აქვთ ისეთი კოფინალური ქვესპექტრები, რომლებიც ერთი და იგივე სპექტრის (სახელდობრ $\bar{D}(C, M)$, და, შესაბამად, $\bar{D}(V, M)$ სპექტრის) კოფინალური ქვესპექტრებია.

პირდაპირ ჩანს, რომ ადგილი აქვს ჩართვებს $D(V, M) \subset \bar{D}(V, M)$ და $D(C, M) \subset \bar{D}(C, M)$.

ვიგულისხმობთ, რომ L სეპარაბელური მეტრული სივრცეა. ისევე როგორც [2]-ში ვაჩვენოთ, რომ ყოველ W -ში ჩაწერილია კანონიკური W . მართლაც, W გარე დაფარვა იწვევს M -ის შიდა დაფარვას. ცნობილია (იხ., მაგ. [2]), რომ ყოველ დაფარვაში ჩაწერილია ვარსკვლავურად სასრული თვლადი $U = \{ u_i \}$ დაფარვა. ჩეხის განზოგადებული ლემის თანახმად (იხ., მაგ., იქვე) არსებობს გარე კანონიკური დაფარვა $W' = \{ w'_i \}$, $w'_i \cap M = u_i$. ყოველ u_i -სათვის ავიღოთ ერთი ისეთი $w_i \in W$, რომ $u_i \subset w_i$. განვმარტოთ $\bar{w}_i = w'_i \cap w_i$.

$\bar{W} = \{ \bar{w}_i \}$ კანონიკური გარე დაფარვაა, ჩაწერილი W -ში. ამის გამო, თუ $D_*(C, M)$ და $D_*(V, M)$ სპექტრებში ამოვშლით არა კანონიკურ W -თა შესაბამის კომპლექსებსა და სიმპლექსურ გადასახვებს, მივიღებთ გამოსავალი სპექტრების კოფინალურ $D'_*(C, M)$ და $D'_*(V, M)$ სპექტრებს, შესაბამისად.

ვაჩვენოთ, რომ $D'_*(C, M)$ და $D'_*(V, M)$, შესაბამისად, კოფინალურნი არიან $\bar{D}(C, M)$ და $\bar{D}(V, M)$ სპექტრებისა. ნებისმიერ $Z_\rho = U$ დაფარვაში ჩაწერილია $U = \{ u_i \}$ ვარსკვლავურად სასრული დაფარვა. ჩეხის განზოგადებული ლემის თანახმად, არსებობს კანონიკური $W = \{ w_i \}$, $w_i \cap M = u_i$; თუ $Z_\alpha = W$, მაშინ, ცხადია, $\alpha > \rho$. თუ $W_\alpha = Z_\rho$, $W_\beta = Z_\alpha$ და $\alpha < \beta$, მაშინ $\rho < \alpha$. $q_{\rho\alpha}^f$ და $g_{\rho\alpha}^f$, შესაბამისად, სიმპლექსურად მახლობლნი არიან $q_{\rho\alpha}^f$ და $g_{\rho\alpha}^f$ გადა-

სახეებისა. ამრიგად, განსაზღვრა 2-ის ყველა პირობა შესრულებულია და, მაშასადამე,

$$D_e(C, M) = \bar{D}_e(C, M), \quad D_e(V, M) = \bar{D}_e(V, M),$$

რაც უნდა დაგვემტკიცებინა.

M სივრცის სხვადასხვა ტიპის ჩეხის შიდა ჯგუფები განიმარტება ტოლობებით:

$$H_i^*(M, X) = H_i^*[D(C, M), X], \quad i = 1, 2, 3;$$

$$H^n(M, N_s, X) = H_s^n[D(C, M), X],$$

ხოლო გარე ჯგუფები ტოლობებით:

$$H_{ie}^*(M, X) = H_i^*[D_e(C, M), X], \quad i = 1, 2, 3;$$

$$H_s^n(M, N_s, X) = H_s^n[D_e(C, M), X].$$

M სივრცის ვექტორისის შიდა ჯგუფები განიმარტება ტოლობებით:

$$V_i^*(M, X) = H_i^*[D(V, M), X], \quad i = 1, 2, 3, \quad \text{და} \quad V^n(M, N_s, X) = H_s^n[D(V, M), X].$$

ხოლო გარე ჯგუფები ტოლობებით:

$$V_{ie}^*(M, X) = H_i^*[D_e(V, M), X], \quad i = 1, 2, 3, \quad \text{და} \quad V_s^n(M, N_s, X) = H_s^n[D_e(V, M), X].$$

ზემოთ დამტკიცებული თეორემიდან გამომდინარეობენ შემდეგი შედეგები, როცა L სეპარაბელური მეტრული სივრცეა.

შედეგი 1. $H_i^*(M, X) \cong H_{ie}^*(M, X)$, $i = 1, 2, 3$; $H^n(M, N_s, X) \cong H_s^n(M, N_s, X)$;

შედეგი 2. $V_i^*(M, X) \cong V_{ie}^*(M, X)$, $i = 1, 2, 3$; $V^n(M, N_s, X) \cong V_s^n(M, N_s, X)$.

შედეგი 1, როცა $i = 1$, დამტკიცებულია $[1, 2]$ -ში.

ცხადია, რომ, თუ M კომპაქტური სივრცეა, მაშინ

$$H_1^*(M, X) = H_1^*(M, X) \cong H_2^*(M, X);$$

$$V_1^*(M, X) \cong V_2^*(M, X) \cong V_3^*(M, X).$$

აღვლი აქვს

თეორემა 2. $H^n(M, N_s, X) \cong H_s^n(N_s, X)$; $V^n(M, N_s, X) \cong V_1^n(N_s, X)$.

ვაჩვენოთ, მაგალითად, მეორე იზომორფიზმი. N_s -ის დაფარვები თავის ღია სიმრავლეებით აღვნიშნოთ Γ -თი. გავაერთიანოთ U და Γ დაფარვები ერთად და დავაღავოთ ისინი ასე: $\{U\}$ და $\{\Gamma\}$ სისტემებში დალაგება განვიხილოთ ჩაწერის მიხედვით; შემდეგ, $\Gamma > U$, თუ Γ ჩაწერილია U -ში და $U > \Gamma$, თუ U -ს ნებისმიერი μ ელემენტისათვის, $\mu \cap M \neq \emptyset$, მოიძებნება Γ -ში ისეთი γ , რომ $\mu \cap M \subset \gamma$. კომპლექსები k_μ^* , $k_\gamma = k(\Gamma)$ და მათი იგიური გადასახვანი, როცა ერთი დაფარვა მოსდევს მეორეს, ქმნიან კომპლექსთა სპექტრს, რომელშიაც კოფინალური არიან როგორც $D(V, N_s)$ სპექტრი, ისე $\{k_\mu^*, q_{s\mu}\}$ სპექტრი; აქედან გამომდინარეობს საჭირო იზომორფიზმი.

აქ განხილულ კომპლექსთა სპექტრებისათვის კოეფიციენტთა ჯგუფად შეგვიძლია ავიღოთ კომპაქტური ჯგუფი Y . ალგებრულ $H^n(M, N_s, Y)$ ჯგუფში შევიტანოთ კომპაქტური ტოპოლოგია ასეთი წესით: τ -თა კოფინალური ნაწილისათვის π_s^* სასრული კომპლექსია. ამის გამო $H^n(\pi_s^*, Y)$ შეგვიძლია განვიხილოთ კომპაქტური ტოპოლოგიით. ამ კომპაქტურ ჯგუფთა ზღვრული ჯგუფი იგივეა ალგებრულად, რაც $H^n(M, N_s, Y)$ და აქვს კომპაქტური ტოპოლოგია, რითაც ამ უკანასკნელ ჯგუფში შეაქვს კომპაქტური ტოპოლოგია.



ამასთან გადასახვა $p_{\#}: H^n(M, N_s, Y) \rightarrow H^n(M, N_r, Y)$ უწყვეტია და, მაშასადამე, გვაქვს კომპაქტურ ჯგუფთა პირდაპირი სპექტრი, რომლის ზღვრულ ჯგუფს ქოლოშვილის აზრით აღვნიშნავთ $\tilde{H}^n(M, Y)$ -ით.

ასევე, ვიეტორისის შემთხვევაში, თუ U_r დაფარვის მხოლოდ სასრული რაოდენობა ელემენტებისა $u_1^r, u_2^r, \dots, u_k^r$, კვეთს N_s -ს, მაშინ $H^n(k_s^r, Y)$ ალგებრულ ჯგუფში კომპაქტური ტოპოლოგია ასე შეიძლება შევიტანოთ: ავირჩიოთ N_s -ის სასრული რაოდენობა ელემენტები x_1, x_2, \dots, x_m ისე, რომ, თუ $u_1^r, u_2^r, \dots, u_k^r$ სისტემის რაიმე ქვესისტემას არა ცარიელი თანაკვეთა აქვს N_s -ში, მაშინ მათი თანაკვეთა შეიცავს რომელიმე x_i -ს. $k(U_r)$ -ს ქვეკომპლექსი, დაქიშული არჩეულ წერტილებზე, იყოს k_s^r . განვიმარტოთ π სიმპლექსური გადასახვა k_s^r -ისა k_s^r -ში. არჩეული x_i წერტილები უძრავად დავტოვოთ, ხოლო სხვა ნებისმიერი x წვეროსათვის k_s^r -დან πx იყოს ის ერთ-ერთი x_i , რომელიც ყველა იმ u_i^r -ში შედის, რომელიც x -ს შეიცავს. π იწვევს ალგებრულ იზომორფიზმს $H^n(k_s^r, Y)$ -სა და $H^n(k_s^r, Y)$ -ს შორის. უკანასკნელიდან შევიტანოთ პირველ ჯგუფში კომპაქტური ტოპოლოგია. ეს ტოპოლოგია არ არის დამოკიდებული π -ს და x_i -ების არჩევაზე. τ -თა კოფინალური ნაწილისათვის ეს კონსტრუქცია შესაძლებელია და ისე, როგორც ზემოთ, $V^n(M, N_s, Y)$ შეგვიძლია განვიხილოთ კომპაქტურ ტოპოლოგიაში. $V^n(M, N_s, Y)$ -თა პირდაპირი სპექტრის ზღვრული ჯგუფი ქოლოშვილის აზრით აღვნიშნოთ $\tilde{V}^n(M, Y)$ -ით.

[3]-ში მოცემული წესით შეიძლება L პარაკომპაქტური სივრცის შემთხვევაში ისეთი სპექტრის აგება, რომელშიც $D(C, M)$ და $D(V, M)$ კოფინალური იქნებიან, რის გამოც ადგილი ექნება

თეორემა 3. $H_i^n(M, X) \cong V_i^n(M, X)$, $i = 1, 2, 3$.

5. K კომპლექსის სასრულ ქვეკომპლექსთა სისტემა იყოს $\{K_\tau\}$. Y კომპაქტური ჯგუფისათვის ბუნებრივი წესით ვიღებთ $H^n(K_\tau, Y)$ კომპაქტურ ჯგუფთა პირდაპირ სპექტრს. მისი ზღვრული ჯგუფი ქოლოშვილის აზრით აღვნიშნოთ $\tilde{H}^n(K, Y)$ -ით, თუ f სიმპლექსური გადასახვაა K -სი P კომპლექსში, მაშინ f ჰომომორფიზმი $\tilde{H}^n(K, Y)$ -ისა $\tilde{H}^n(P, Y)$ -ში განვიმარტება ასე: თუ $h_k \in \tilde{H}^n(K, Y)$, $h_\tau \in h_k$, $h_\tau \in H^n(K_\tau, Y)$, მაშინ P -ში ავირჩიოთ ისეთი ნებისმიერი სასრული P_τ ქვეკომპლექსი, რომ $f(K_\tau) \subset P_\tau$. f შეუსაბამებს h_τ -ს $H^n(P_\tau, Y)$ -ის ელემენტს; ამ ელემენტის კლასი იყოს h_{P_τ} . მივიღოთ, რომ $f h_k = h_{P_\tau}$. ასე განმარტებული გადასახვები აკმაყოფილებენ ტრანზიტის პირობას და სიმპლექსურად მახლობელი გადასახვები ერთსა და იგივე ჰომომორფიზმებს იწვევენ. $\tilde{H}^n(K, Y)$ -ის კომპაქტური დაფართოება აღვნიშნოთ $\tilde{H}^n(K, Y)$ -ით.

D სპექტრისათვის $\tilde{H}^n(K_\tau, Y)$ ჯგუფები და $q_{\tau\sigma}^n$ -თავან გამოწვეული $q_{\tau\sigma}^n$ უწყვეტი ჰომომორფიზმები ქმნიან კომპაქტური ჯგუფების უებრუნებულ სპექტრს. მისი ზღვრული ჯგუფი აღვნიშნოთ $\tilde{H}^n(D, Y)$ -ით. შემოვიღოთ აღნიშვნები:

$$\tilde{H}^n(M, Y) = \tilde{H}^n[D(C, M), Y]; \tilde{H}_\tau^n(M, Y) = \tilde{H}^n[D_\tau(C, M), Y].$$

თეორემა 1-დან გამომდინარეობს

$$\text{შედეგი 1. } \tilde{H}_\tau^n(M, Y) \cong \tilde{H}^n(M, Y).$$

6. თეორემა 4. თუ F და G სფერული Σ^n სივრცის ურთიერთ დამატებითი სიმრავლეებია და $X|Y$ (X დისკრეტული, Y კომპაქტური), მაშინ $V_1^k(F, X) | \tilde{V}_c^k(G, Y)$, $r+k=n-1$.

დამტკიცება არ მოგვეყავს, რადგან ანალოგიური თეორემა (როცა $V_1^k(F, X)$ შეცვლილია $H^k(F, X)$ ით) დამტკიცებულია [1,4]-ში.

ეს თეორემა დაგვიკირდება კერძო შემთხვევაში, როცა F კომპაქტური ქვესიმრავლეა. ტრიანგულაცია G -სი აღენიშნოთ K -თი. თეორემა იღებს სახეს $V_1^k(F, X) | \tilde{H}_c^k(K, Y)$. აქ გამრავლება vh ასეა განმარტებული: თუ $z \in h \in \tilde{H}^r(K, Y)$ კომბინატორული ციკლია K -დან, მაშინ განმარტებულია ჩაჯაჭვა vh . ადგილი აქვს ტოლობას $vh = v'z$. თუ $h \in \tilde{H}_c^r(K, Y)$, მაშინ vh განმარტება ნამრავლის უწყვეტობით.

თეორემა 5. თუ A და B სფერული Σ^n სივრცის დამატებითი ქვესიმრავლეებია და $X|Y$, მაშინ $V_1^k(A, X) | \tilde{H}^r(B, Y)$, $k+r=n-1$.

დამტკიცება. განვიხილოთ B -ს მიდამო G და მისიტრიანგულაცია K ; ამ ტრიანგულაციის შესაბამისი დაფარვა K -ს წვეროების ვარსკვლავებით აღენიშნოთ W -თი. ყველა ასეთი W -თა ერთობლიობა B -სათვის იყოს $\{W_c\}$. ესენი B -ს გარე დაფარვებია. τ ინდექსები დავალაგოთ ჩაწერის მიხედვით. $\{W_c\}$ სისტემა კოფინალურია გარე დაფარვებში. W_c -ს მიერ დაფარული სიმრავლე იყოს $|W_c|$. ვთქვათ, $F_c = \Sigma^n \setminus |W_c|$. თუ $\tau < \sigma$, ე. ი. თუ W_c ჩაწერილია W_σ -ში, მაშინ $F_c \subseteq F_\sigma$. თუ აქ ტოლობაა, მაშინ p_τ იყოს იგივეური გადასახვა $V^k(A, F_c, X)$ -სა თავის თავში. თუ $F_c \subseteq F_\sigma$, მაშინ p_τ იყოს $V^k(A, X)$ -ის განმარტების დროს განსაზღვრული გადასახვა. ასე ვიღებთ პირდაპირ სპექტრს $\{V^k(A, F_c, X), p_\tau\}$. $\tilde{H}^n(n(W_c), Y)$ ჯგუფები და ჩაწერის ჰომომორფიზმები q_τ ქმნიან შებრუნებულ სპექტრს $\{\tilde{H}^n(n(W_c), Y), \tilde{q}_\tau\}$. ეს სპექტრები შეუღლებულნი არიან; მართლაც, ვთქვათ $\tau < \sigma$, $v_\tau \in V^k(A, F_c, X)$ და z არის W_σ -ს სასრული ჯაჭვი განხილული, როგორც $|W_\sigma|$ -ის პოლიედრალური ჯაჭვი. მაშინ, ცხადია, რომ $q_{\tau\sigma} z \sim z$ უწყვეტად $|W_\sigma|$ -ში. ამის გამო ჩაჯაჭვა z -სა და $q_{\tau\sigma} z$ -სა v_τ -სთან, $v_\tau \in V^k(A, F_c, X)$ ერთი და იგივეა და, მაშასადამე, z -ის ჩაჯაჭვა $p_\tau v_\tau$ -სთან ტოლია $q_\tau z$ -ის ჩაჯაჭვისა v_τ -სთან. ეს კი ნიშნავს, რომ სპექტრები შეუღლებულნი არიან. ამრიგად,

$$\lim \{V^k(A, F_c, X), p_\tau\} \cong \lim \{\tilde{H}_c^n(n(W_c), Y), \tilde{q}_\tau\}$$

მარჯვენა მხარე, ცხადია, არის $\tilde{H}_c^n(B, Y)$ -ის იზომორფული. ინდექსთა $\{\tau\}$ სისტემაში დალაგება გავზარდოთ ასე: $\tau < \sigma$, თუ $F_c \subseteq F_\sigma$ და $\{V^k(A, F_c, X), p_\tau\}$ სპექტრში სითანადოდ დაფუძნით გადასახვები. მიღებულ სპექტრში კონფინალურია თავიდან აღებული სპექტრი და მათ, მაშასადამე, ერთი და იგივე ზღვრული ჯგუფი აქვთ. მაგრამ უკანასკნელი სპექტრი არის $V^k(A, X)$ -ის განმსაზღვრელი სპექტრისაგან მიღებული განმეორებებით, რითაც ზღვრული ჯგუფი არ იცვლება. მაშასადამე, $\lim \{V^k(A, F_c, X), p_\tau\} \cong V^k(A, X)$. § 8-ის ძალით $\tilde{H}_c^n(B, Y) \cong \tilde{H}^n(B, Y)$ და, ამრიგად, $V_1^k(A, X) | \tilde{H}^r(B, Y)$, რაც უნდა დავემტკიცებინა.

დამოწმებული ლიტერატურა

1. П. С. Александров. Основные теоремы двойственности для незамкнутых множеств n -мерного пространства. *Мат. Сб.*, 21(63), 1947, 161—232.
2. S. Kaplan. Homology properties of arbitrary subsets of euclidean spaces. *Trans. Amer. Math. Soc.*, v. 62, 1947, 248—271.
3. W. Hurewicz, J. Dugundji and C. H. Dwyer. Continuous connectivity groups in terms of limit groups. *Ann. of Math.*, v. 49, № 2, 1948, 391—406.
4. Г. С. Чогошвили. О гомологических аппроксимациях и законах двойственности для произвольных множеств. *Мат. Сб.*, 28 (70): 1, 1951, 89—118.

დრეკადობის თეორია

3. კუზნაძე (საქართველოს სსრ მეცნიერებათა აკადემიის ნამდვილი წევრი) და
 მ. ბაშელიშვილი

ანიზოტროპული ტანის დრეკადობის თეორიის ახალი ინტეგრალური
 განტოლებები და მათი გამოყენება სასაზღვრო ამოცანების
 ამოსახსნელად

§ 8. l იყოს ბრტყელი, შეკრული, ლიპუნოვის წიბი; ν — შიგა ნორმალი
 $Q \in l$ წერტილში, S_i — სასრული შიგა არე, S_a — უსასრულო გარე არე და
 $\bar{u}(u_1, u_2)$, $\bar{v}(v_1, v_2)$ — ორჯერ წარმოებადი ვექტორი, რომლებიც აკმაყოფილებენ
 პირობებს:

$$\rho \bar{u}(P) = O(1), \quad \rho \bar{v}(P) = O(1), \quad \rho \frac{\partial \bar{u}}{\partial \rho} = o(1), \quad \rho \frac{\partial \bar{v}}{\partial \rho} = o(1), \quad (8.1)^{(1)}$$

როცა $\rho \rightarrow \infty$, სადაც ρ არის P წერტილამდე მანძილი რომელიმე ფიქსირე-
 ბული P_0 წერტილიდან. შევადგინოთ სკალარული ნამრავლი:

$$\bar{u}L(\bar{v}) = A_1 \cos(\pi x) + A_2 \cos(\pi y).$$

აქ $\bar{A}(A_1, A_2)$ გარკვეული ვექტორია.

(4.3) პირობები და განტოლებები (3.1) გვაძლევს:

$$\operatorname{div} \bar{A} = \bar{u} \Delta^* \bar{v} + E(\bar{u}, \bar{v}),$$

სადაც

$$E(\bar{u}, \bar{v}) = A_{11} \frac{\partial u_1}{\partial x} \frac{\partial v_1}{\partial x} + A_{22} \frac{\partial u_2}{\partial y} \frac{\partial v_2}{\partial y} + G \left(\frac{\partial u_1}{\partial y} \frac{\partial v_1}{\partial y} + \frac{\partial u_2}{\partial x} \frac{\partial v_2}{\partial x} \right) + \\
+ \left(\alpha \frac{\partial u_1}{\partial x} \frac{\partial v_2}{\partial y} + \delta \frac{\partial v_1}{\partial x} \frac{\partial u_2}{\partial y} \right) + \left(\gamma \frac{\partial u_2}{\partial x} \frac{\partial v_1}{\partial y} + \beta \frac{\partial u_1}{\partial y} \frac{\partial v_2}{\partial x} \right). \quad (8.2)$$

მოვხდებით რა ინტეგრირებას S_i ან S_a -ზე, მივიღებთ:

$$\iint_I \bar{u} \Delta^* \bar{v} dx dy = \iint_I \bar{u} L(\bar{v}) d\sigma - \iint_I E(\bar{u}, \bar{v}) dx dy \quad (8.3)$$

ან

$$\iint_I (\bar{u} \Delta^* \bar{v} - \bar{v} \Delta^* \bar{u}) dx dy = \iint_I (\bar{u} L(\bar{v}) - \bar{v} L(\bar{u})) d\sigma - \iint_I E^*(\bar{u}, \bar{v}) dx dy, \quad (8.4)$$

სადაც

$$E^*(\bar{u}, \bar{v}) = (\alpha - \delta) \left(\frac{\partial u_1}{\partial x} \frac{\partial v_2}{\partial y} - \frac{\partial u_2}{\partial y} \frac{\partial v_1}{\partial x} \right) + (\gamma - \beta) \left(\frac{\partial u_2}{\partial x} \frac{\partial v_1}{\partial y} - \frac{\partial u_1}{\partial y} \frac{\partial v_2}{\partial x} \right)$$

(1) ფორმულებისა და პარაგრაფების ნუმერაცია აგრძელებს ჩვენს წინა სტატიაში მი-
 ლებულ ნუმერაციას; ყველა აღნიშვნა აგრეთვე იმავე სტატიისაა (იხ. „მოამბე“, ტ. XV, № 6,
 1954).

თუ, კერძოდ, მივიღებთ, რომ $\alpha = \delta = A_{12}$, $\beta = \gamma = G$, მაშინ (8.3)-დან, (4.3) და (4.4)-ის თანახმად, გვექნება:

$$\iint \bar{u} \Delta^* \bar{v} dx dy = \int_I \bar{u} T \bar{v} d\sigma - \iint E(\bar{u}, \bar{v}) dx dy, \quad (8.5)$$

$$\iint (\bar{u} \Delta^* \bar{v} - \bar{v} \Delta^* \bar{u}) dx dy = \int_I (\bar{u} T \bar{v} - \bar{v} T \bar{u}) d\sigma. \quad (8.6)$$

(6.1) და (6.2) ფორმულები ანალოგიურად ამტკიცებს, რომ:

$$\iint \bar{u} \Delta^* \bar{v} dx dy = \int_I \bar{u} N \bar{v} d\sigma - \iint E(\bar{u}, \bar{v}) dx dy, \quad (8.5')$$

$$\iint (\bar{u} \Delta^* \bar{v} - \bar{v} \Delta^* \bar{u}) dx dy = \int_I (\bar{u} N \bar{v} - \bar{v} N \bar{u}) d\sigma. \quad (8.6')$$

ვთქვათ ახლა $\bar{u} \equiv \bar{v}$, მაშინ

$$E(\bar{u}, \bar{u}) \equiv E(\bar{u}, \bar{u}) = \left(\sqrt{A_{11}} \frac{\partial u_1}{\partial x} + \frac{\alpha}{\sqrt{A_{11}}} \frac{\partial u_2}{\partial y} \right)^2 + \left(\sqrt{G} \frac{\partial u_1}{\partial y} + \sqrt{G} \frac{\partial u_2}{\partial x} \right)^2 + \left(A_{22} - \frac{\alpha^2}{A_{11}} \right) \left(\frac{\partial u_2}{\partial y} \right)^2 + \left(G - \frac{\beta^2}{G} \right) \left(\frac{\partial u_2}{\partial x} \right)^2. \quad (8.7)$$

კერძოდ, თუ $\alpha = \delta = A_{12}$, $\beta = \gamma = G$, (8.7) მიიღებს სახეს:

$$E(\bar{u}, \bar{u}) = \left(\sqrt{A_{11}} \frac{\partial u_1}{\partial x} + \frac{A_{12}}{\sqrt{A_{11}}} \frac{\partial u_2}{\partial y} \right)^2 + G \left(\frac{\partial u_1}{\partial y} + \frac{\partial u_2}{\partial x} \right)^2 + \frac{1}{A_{11}} (A_{11} A_{22} - A_{12}^2) \left(\frac{\partial u_2}{\partial y} \right)^2.$$

თუ

$$\alpha^2 \equiv A_{11} A_{22}, \quad \beta^2 \equiv G^2, \quad (8.8)$$

მაშინ ფორმა (8.7) არაუარყოფითია. (3.1')-ის საფუძველზე შეიძლება შემოწმდეს, რომ პირობები (8.8) შესრულებულია T და N ოპერატორებისათვის, სადაც α , β , γ , δ მუდმივები განზღერულია სათანადოდ (4.3) და (6.1) ფორმულებით. ამ შედეგებიდან მიიღება ერთადერთობის რაქდენიმიე თეორემა. ჩვენ აღვნიშნავთ ამათგან სამს. (8.5) და (8.5')-დან, სადაც ვუშვებთ, რომ $\bar{u} \equiv \bar{v}$ და $\Delta^* \bar{u} = 0$, ვღებულობთ:

1°. თუ I -ზე $\bar{u} = 0$, მაშინ $\bar{u} = 0$ ყველგან.

2°. თუ I -ზე $N \bar{u} = 0$, მაშინ $\bar{u} = \text{const}$. ყველგან.

3°. თუ I -ზე $T \bar{u} = 0$, მაშინ $\bar{u} = C + [\bar{r} \cdot \bar{v}]$ და ხისტ გადაადგილებას წარმოადგენს.

§ 9. ვთქვათ, (8.6) და (8.6') ტოლობებში \bar{u} არის $\Gamma_0(P, Q)$ მატრიცის რომელიმე სვეტი:

$$\bar{u} = \Gamma_0^{(1)} \quad \text{ან} \quad \bar{u} = \Gamma_0^{(2)}.$$

გარდა ამისა, ვთქვათ, $\bar{v} \equiv 1$; გამოვრიცხავთ რა C_0 წრით $\Gamma_0(P, Q)$ -ს პოლუსს, დავრწმუნდებით, რომ

$$\int_I \Gamma_I(P, Q) d\sigma_Q = \int_{C_\varepsilon} \Gamma_I(P, Q) d\sigma_Q, \quad \int_I \Gamma_{II}(P, Q) d\sigma_Q = \int_{C_\varepsilon} \Gamma_{II}(P, Q) d\sigma_Q$$

აქედან, თუ ik -ურ ელემენტს აღვნიშნავთ $\{\Gamma_I(P, Q)\}_{ik}$ და $\{\Gamma_{II}(P, Q)\}_{ik}$ -თი, (5.2) და (6.3)-ის საფუძველზე მივიღებთ:

როცა $i=k$

$$\int_I \{\Gamma_I(P, Q)\}_{ik} d\sigma_Q = \begin{cases} 2\pi\Omega_k, & P \in S_i \\ 0, & P \in S_a \\ \pi\Omega_k, & P \in l, \end{cases} \quad \int_I \{\Gamma_{II}(P, Q)\}_{ik} d\sigma_Q = \begin{cases} 2\pi E_k, & P \in S_i \\ 0, & P \in S_a \\ \pi E_k, & P \in l, \end{cases} \quad (9.1)$$

და როცა $i \neq k$

$$\int_I \{\Gamma_I(P, Q)\}_{ik} d\sigma_Q = \int_I \{\Gamma_{II}(P, Q)\}_{ik} d\sigma_Q = 0, \quad (i, k = 1, 2) \quad (9.2)$$

აქ Ω_k და E_k ($k = 1, 2$) სავსებით გარკვეული მუდმივებია, რომლებიც არ არიან ნული.

ანალოგიურად, როცა $i=k$:

$$\int_I \{T_P M_0(P, Q)\}_{ik} d\sigma_Q = \begin{cases} 2\pi R_k, & P \in S_i \\ 0, & P \in S_a \\ \pi R_k, & P \in l \end{cases} \quad (9.3)$$

და როცა $i \neq k$:

$$\int_I \{T_P M_0(P, Q)\}_{ik} d\sigma_Q = 0, \quad (i, k = 1, 2), \quad (9.4)$$

სადაც R_k გარკვეული, ნულისაგან განსხვავებული მუდმივია.

იყოს $\varphi(Q)$ L -ზე განზღვრული, ჰელდერის კლასის ვექტორი. იყოს

$$\Omega = \begin{vmatrix} \Omega_1 & 0 \\ 0 & \Omega_2 \end{vmatrix}, \quad E = \begin{vmatrix} E_1 & 0 \\ 0 & E_2 \end{vmatrix}, \quad R = \begin{vmatrix} R_1 & 0 \\ 0 & R_2 \end{vmatrix}, \quad \Omega^{-1}, E^{-1}, R^{-1}$$

შებრუნებული მატრიცებია. შემოვიყვანოთ შემდეგი ოთხი ტიპის პოტენციალი: პირველი გვარის მარტივი ფენის პოტენციალი:

$$V^I(P) = \frac{1}{\pi} \Omega^{-1} \cdot \int_I \overline{\varphi(Q)} \Gamma_0(P, Q) d\sigma_Q;$$

პირველი გვარის ორმაგი ფენის პოტენციალი:

$$W^I(P) = \frac{1}{\pi} \Omega^{-1} \cdot \int_I \overline{\varphi(Q)} \Gamma_I(P, Q) d\sigma_Q;$$

მეორე გვარის მარტივი ფენის პოტენციალი:

$$V^{II}(P) = \frac{1}{\pi} R^{-1} \cdot \int_I \overline{\varphi(Q)} M_0(P, Q) d\sigma_Q;$$



მეორე გვარის ორმაგი ფენის პოტენციალი:

$$W^{II}(P) = \frac{1}{\pi} E^{-1} \cdot \int_I \bar{\varphi}(Q) \Gamma_{II}(P, Q) d\sigma_Q.$$

გავითვალისწინებთ რა ვექტორის მატრიცზე გამრავლების ჩვეულებრივ წესს და მივიღებთ რა მხედველობაში ფუნდამენტალური ამოხსნების ზემოთ დადგენილ თვისებებს, ადვილად დავრწმუნდებით, რომ ოთხივე ეს პოტენციალი ძირითადი განტოლების ამოხსნებია ყველგან l -ის წერტილებს გარდა.

(9.1), (9.2), (9.3) და (9.4), როგორც ეს ჩვეულებრივ ხდება, ახლაც უზრუნველყოფენ შემდეგი ზღვრული დამოკიდებულებების არსებობას $Q_0 \in l$ წერტილისათვის:

$$\begin{aligned} T_i V^I(Q_0) &= -\bar{\varphi}(Q_0) + T V^I(Q_0), & T_a V^I(Q_0) &= \bar{\varphi}(Q_0) + T V^I(Q_0), \\ W_i^I(Q_0) &= \bar{\varphi}(Q_0) + W^I(Q_0), & W_a^I(Q_0) &= -\bar{\varphi}(Q_0) + W^I(Q_0), \\ T_i V^{II}(Q_0) &= -\bar{\varphi}(Q_0) + T V^{II}(Q_0), & T_a V^{II}(Q_0) &= \bar{\varphi}(Q_0) + T V^{II}(Q_0), \\ W_i^{II}(Q_0) &= \bar{\varphi}(Q_0) + W^{II}(Q_0), & W_a^{II}(Q_0) &= -\bar{\varphi}(Q_0) + W^{II}(Q_0). \end{aligned} \quad (9.5)$$

§ 10. ახლა შევეცდომა შევუდგეთ სასაზღვრო ამოცანების ამოხსნას. პირველი სასაზღვრო ამოცანა მდგომარეობს გადაადგილების $\bar{u}(u, v)$ ვექტორის მონახვაში მისი საკონტურო მონაცემებით l -ზე. ამ ამოცანის ამოხსნა შეიძლება ორგვარი სახით ვეძიოთ; ერთი მხრივ, როგორც პირველი გვარის ორმაგი ფენის პოტენციალი, და მაშინ უცნობი სიმკვრივისათვის მივიღებთ ინტეგრალურ განტოლებას:

$$\pm \bar{\varphi}(Q_0) + \frac{\Omega^{-1}}{\pi} \cdot \int_I \bar{\varphi}(Q) \Gamma_I(Q_0, Q) d\sigma_Q = \bar{f}(Q_0)^{II}. \quad (10.1)$$

მეორე მხრივ, როგორც მეორე გვარის ორმაგი ფენის პოტენციალი, და მაშინ მივიღებთ განტოლებას:

$$\pm \bar{\varphi}(Q_0) + \frac{E^{-1}}{\pi} \cdot \int_I \bar{\varphi}(Q) \Gamma_{II}(Q_0, Q) d\sigma_Q = \bar{f}(Q_0) \quad (10.2)$$

(10.1) განტოლების გული (5.2) მატრიცითაა განზღვრული და, მაშასადამე, ეს განტოლება კოშის ტიპის სინგულარული ინტეგრალური განტოლებაა [1].

(10.2) განტოლების გული განზღვრულია (6.3) მატრიცით და, მაშასადამე, (10.2) შემოსაზღვრულგულიანი ფრედჰოლმის განტოლებაა.

(10.1) განტოლებების საფუძველზე, როგორც ქვემოთ დავინახავთ, ადვილად ჩატარდება პირველი სასაზღვრო ამოცანის ზოგადი გამოკვლევა, (10.2) განტოლებები კი, გარდა ამისა, მოხერხებული არიან აგრეთვე რიცხვითი გამოთვლებისათვის.

მეორე სასაზღვრო ამოცანა მდგომარეობს $\bar{u}(u, v)$ ვექტორის მონახვაში, როცა საზღვარზე ძაბვის ვექტორია ?ოცემული. ეს ამოცანაც ორგვარი წე-

(¹ ხედა ნიშანი ეთანადება შიგა ამოცანას, ქვედა—გარე ამოცანას.

სით ამოიხსნება. ერთი მხრივ, ამოხსნას ვეძებთ როგორც პირველი გვარის მარტივი ფენის პოტენციალს და მაშინ სიმკვრივისათვის მივიღებთ განტოლებას:

$$\mp \overline{\varphi(Q_0)} + \frac{\Omega^{-1}}{\pi} \cdot \int \overline{\varphi(Q)} T\Gamma_0(Q_0, Q) d\sigma_Q = \overline{f(Q_0)}. \quad (10.1')$$

მეორე მხრივ, როგორც მეორე გვარის მარტივი ფენის პოტენციალს, და მაშინ სიმკვრივე უნდა მოინახოს განტოლებიდან:

$$\mp \overline{\varphi(Q_0)} + \frac{R^{-1}}{\pi} \cdot \int \overline{\varphi(Q)} T M_0(Q_0, Q) d\sigma_Q = \overline{f(Q_0)}, \quad (10.2')$$

ოპერატორი T ინტეგრალების ნიშნის ქვეშ აქ აღებულია Q_0 წერტილის მიმართ. (10.1') განტოლებები, (5.1)-ისა და (4.6)-ის თანახმად, კოშის ტიპის სინგულარული განტოლებებია, (10.2') კი (7.6)-ის თანახმად, შემოსახლერულ-გულიანი ფრედჰოლმის განტოლებებია. (10.1') მოხერხებულია ამოცანის ზოგადი გამოკვლევისათვის, (10.2') — რიცხვითი გამოთვლებისათვის.

§ 11. $\Gamma_1(P, Q)$ -ს განმარტებიდან ცხადია, რომ (10.1) და (10.1') სისტემები მიკავშირებული სისტემებია; ამავე დროს მათ სინგულარული გულები აქვთ. მაგრამ, როგორც ქვემოთ იქნება ნაჩვენები, ამ სისტემების ინდექსი [1, 3] ნულის ტოლია და, მაშასადამე, ნეტერის შესამე თეორემის თანახმად, ამ მიკავშირებულ სისტემებს წრფივად დამოუკიდებელ ამოხსნათა ტოლი რაოდენობა გააჩნია და მათზე ვრცელდება ფრედჰოლმის ჩვეულებრივი თეორია [2, 3].

$\Gamma_1(P, Q)$ მატრიცის შედგენილობაში შედის სინგულარული მატრიცი:

$$\left\| \begin{array}{cc} 0, & B_1 \frac{\partial}{\partial s} \ln(r_1 r_2) \\ D_1 \frac{\partial}{\partial s} \ln(r_1 r_2), & 0 \end{array} \right\| = \left\| \begin{array}{cc} 0, & B_1 \frac{\partial}{\partial s} \ln \frac{r_1 r_2}{r^2} \\ D_1 \frac{\partial}{\partial s} \ln \frac{r_1 r_2}{r^2}, & 0 \end{array} \right\| + 2S \frac{\partial}{\partial s} \ln r$$

სადაც

$$S = \left\| \begin{array}{cc} 0, & B_1 \\ D_1, & 0 \end{array} \right\| \equiv 0$$

და რადგან მარჯვენა მხარის პირველი შესაკრები, როგორც ადვილი შესამოწმებელია, შემოსახლერულია, სინგულარობა მხოლოდ მეორისაგან წარმოდგება.

იყოს $t \in Q$ წერტილის რკალური აბსცისი L -ზე, t_0 — რკალური აბსცისი Q_0 -ისა, მაშინ:

$$t_0 - t = r e^{i\theta}, \quad r = |t_0 - t|, \quad \theta = \arg(t_0 - t),$$

საიდანაც

$$\frac{dr}{r} = \frac{dt}{t - t_0} - i \frac{d\theta}{ds} ds.$$

ამიტომ

$$S \int \bar{\varphi}(Q) \frac{\partial}{\partial s} \ln r ds = S \int \frac{\bar{\varphi}(t)}{t-t_0} dt + \int K_*(t, t_0) \bar{\varphi}(t) dt.$$

თუ მხედველობაში მივიღებთ ამას, მაშინ (10.1) სისტემა შეიძლება გადაწეროს შემდეგი სახით:

$$\pm \bar{\varphi}(t_0) + \frac{S\Omega^{-1}}{\pi} \int \frac{\bar{\varphi}(t)}{t-t_0} dt + \int K(t, t_0) \bar{\varphi}(t) dt = f(t_0),$$

სადაც $K(t, t_0)$ შემოსაზღვრული და ადვილად გამოსათვლელი მატრიციაა. ინდექსის [1] განსაზღვრის თანახმად ჩვენს შემთხვევაში გვაქვს:

$$\alpha = \frac{1}{2\pi} \left\{ \arg \frac{\text{Det}(\pm \pi I - S^*)}{\text{Det}(\pm \pi I + S^*)} \right\}_t = 0,$$

სადაც I ერთეულოვანი მატრიციაა და

$$S^* = S\Omega^{-1}.$$

(10.1) და (10.1') სისტემების შემდგომი გამოკვლევა არ შეიცავს არავითარ სიახლეს იზოტროპული თეორიის ანალოგიურ ანალიზთან შედარებით; ეს ანალიზი დაწვრილებით არის ჩატარებული ნ. კახიანი აშვილის [4] შრომაში და ჩვენს შემთხვევაში გვაძლევს შემდეგ საბოლოო დასკვნებს:

1. პირველი შიგა ამოცანა ყოველთვის ცალსახად ამოხსნადია და გამოიხატება პირველი გვარის ორმაგი ფენის პოტენციალით;
2. მეორე შიგა ამოცანა ამოხსნადია, თუ ნულია სასაზღვრო მონაცემთა მთავარი ვექტორი და მთავარი მომენტი; ამოხსნა განზღვრულია სიზუსტით ხისტი გადაადგილებამდე და პირველი გვარის მარტივი ფენის პოტენციალით გამოიხატება;
3. პირველი გარე ამოცანა ყოველთვის ცალსახად ამოხსნადია და შეიძლება ჰქონდეს უსასრულობაში ქრობადი ან შემოსაზღვრული ამოხსნა; პირველ შემთხვევაში ამოხსნა გამოიხატება პირველი გვარის ორმაგი ფენის პოტენციალით, მეორე შემთხვევაში—წრფივი კომბინაციით პირველი გვარის ორმაგი ფენის პოტენციალისა გარკვეულ დისკრეტულ პოტენციალებთან, პირველი გვარის მარტივი ფენის პოტენციალების ტიპისა;
4. მეორე გარე ამოცანა ყოველთვის ამოხსნადია, მაგრამ უსასრულობაში შემოსაზღვრული ამოხსნა მხოლოდ მაშინ აქვს, როცა სასაზღვრო მოცემულობათა მთავარი ვექტორი ნულია. ამოხსნა გამოიხატება პირველი გვარის მარტივი ფენის პოტენციალით.

§ 12. როგორც § 10-ში იყო ნაჩვენები, სასაზღვრო ამოცანები შეიძლება აგრეთვე (10.2) და (10.2') განტოლებებით ამოხსნას; ეს განტოლებები ფრედ-ჰოლმის შემოსაზღვრულგულიანი მარტივი განტოლებებია, მაგრამ ისინი არ არიან ურთიერთმიკავშირებულნი და ამიტომ შედარებით ნაკლებ მოხერხებულნი არიან იმ ხასიათის ზოგადი გამოკვლევის ჩასატარებლად, რომლის შედეგები მეთერთმეტე პარაგრაფში იყო მოყვანილი.

მეორე მხრივ, თავისი სიმარტივის გამო, ისინი მეტად სასარგებლონი არიან რიცხვითი გამოთვლებისათვის.

აქ უფრო დაწვრილებით განვიხილოთ მეორე გარე ამოცანა. ვეძებთ ახლა ამოხსნა მეორე გვარის მარტივი ფენის პოტენციალის სახით; მივიღებთ:

$$\overline{\varphi}(Q_0) + \frac{R^{-1}}{\pi} \int_I \overline{\varphi}(Q) T M_0(Q_0, Q) d\sigma_Q = f(Q_0), \quad (12.1)$$

გავამრავლოთ $d\sigma_Q$ -ზე, ვაინტეგრროთ L -ზე და გავივალისწინოთ (9.3), მაშინ გვექნება:

$$2 \int_I \overline{\varphi}(Q_0) d\sigma_{Q_0} = \int_I f(Q_0) d\sigma_Q.$$

თუ სასაზღვრო მოცემულობათა მთავარი ვექტორი ნულია, მაშინ

$$\int_I \overline{\varphi}(Q) d\sigma_Q = 0. \quad (12.2)$$

(12.1)-ის შესაბამის ერთგვაროვან განტოლებას მხოლოდ ნულოვანი ამოხსნა აქვს; მართლაც, წინააღმდეგის დაშვება დაგვანახებდა, რომ ამოხსნა აკმაყოფილებს (12.2) პირობას; მაგრამ მარტივი ფენის პოტენციალი, რომლის სიმკვრივე ამ პირობას აკმაყოფილებს, უსასრულობაში ნულია; მართლაც, ამაში დასარწმუნებლად საკმარისია ვაჩვენოთ, რომ ინტეგრალები

$$\int_I [\varphi_1(Q) \ln r_j + \varphi_2(Q) \theta_j] d\sigma_Q, \quad (j = 1, 2)$$

საბნისა ნულისაკენ მიისწრაფვიან, როცა P წერტილი თვითონ მიისწრაფვის უსასრულობისაკენ.

იყოს Q_1 და Q_2 L -ის ორი წერტილი, $r_j^{(1)}$ და $r_j^{(2)}$ r_j -ის სათანადო მნიშვნელობები; იყოს γ კუთხე $r_j^{(1)}(Q, P)$ და $r_j^{(2)}(Q, P)$ მიმართულებათა შორის; როცა $|P| \rightarrow \infty$:

$$\cos \gamma = 1 + O(r_j^{-1})$$

ამიტომ,

$$\theta_j^{(2)} = \theta_j^{(1)} - \gamma = \theta_j^{(1)} - O(r_j^{-1}),$$

საიდანაც ცხადია, რომ:

$$\int_I \varphi_2(Q) \theta_j(P, Q) d\sigma_Q = \theta_j^{(1)} \int_I \varphi_2(Q) d\sigma_Q + \int_I \varphi_2(Q) O(r_j^{-1}) d\sigma_Q,$$

დალაც $\theta_j^{(1)}$ არის θ_j კუთხის რომელიმე ფიქსირებული მნიშვნელობა; მაშასადამე, თუ კიდევ (12.2)-ს გავითვალისწინებთ:

$$\lim \int_I \varphi_2(Q) \theta_j(P, Q) d\sigma_Q = 0.$$

ანალოგიურად მტკიცდება, რომ

$$\lim_{r_j \rightarrow \infty} \int_I \varphi_1(Q) \ln r_j(P, Q) d\sigma_Q = 0.$$

ამიტომ აქ გამოიყენება § 8-ში დამტკიცებული ერთადერთობის თეორემა და ვიპოვით, რომ S_n -ში ჩვენი პოტენციალი ნულია; აქედან კი, უწყვეტობის ძალით და ერთადერთობის თეორემის საფუძველზე, უკვე S_i არისათვის ვასკენით, რომ პოტენციალი შიგა არეშიც ყველგან ნულია; მაგრამ მაშინ $(9-5_3)$ -ის გამო ნულია სიმკვრივეც. ეს წინააღმდეგობა ამტკიცებს (12.1) განტოლების ამოხსნადობას.

განუზღვრელი მუდმივი, რომელიც მონაწილეობს (7.2) მატრიცის ელემენტებში, μ_1 და μ_2 ფუნქციების მრავალსახოვნების გამო, ამოხსნაში არ შევაიძობის გამო, რომ

$$\int_I \bar{\varphi}(Q) d\sigma_Q = 0.$$

შიგა ამოცანის ამოხსნაში, როცა პირობა (12.2) საზოგადოდ შესრულებული არ არის, აღნიშნული მრავალსახოვნება შეესაბამება ამოცანის ამოხსნადობას ხისტი გადაადგილების სიზუსტით.

სტალინის სახელობის
 თბილისის სახელმწიფო უნივერსიტეტი

(რედაქციას მოუვიდა 14.3.1954)

დამოწმებული ლიტერატურა

1. Н. И. Мусхелишвили. Сингулярные интегральные уравнения. М., 1949.
2. В. Д. Купрадзе. Некоторые новые замечания к теории сингулярных интегральных уравнений. Труды Тбилисского госуд. университета имени Сталина, т. 42, 1951.
3. В. Д. Купрадзе. Теоремы Noether-а для систем особых интегральных уравнений. Труды Тбилисского политехнического института имени Кирова, № 1 (15), 1943.
4. Н. С. Кахниашвили. Исследование плоских задач теории упругости методом теории потенциалов. Труды Тбилисского гос. университета имени Сталина, т. 50, 1953.



პრ. არეშიძე და თ. ჩარკვიანი

ჰიდრირებისა და დეჰიდრირების კატალიზატორი ნიკელი გუმბრინში

(წარმოადგინა აკადემიის წევრ-კორესპონდენტმა გ. ციციშვილმა 22.2.1954)

ნიკელი, როგორც ორგანულ ნაერთთა ჰიდრირების კატალიზატორი, გამოყენებული იყო ჯერ კიდევ მეოცე საუკუნის დასაწყისში [1]. ამ კატალიზატორის საშუალებით შესაძლებელი გახდა არა მარტო ცხიმინი რიგის უჯერი ნაერთების, არამედ არომატული რიგის ნაერთების ჰიდრირებაც. ბენზოლისა და მისი ჰომოლოგების ჰიდრირებით ნიკელის კატალიზატორზე შესაბამისი ჰიდროარომატული ნახშირწყალბადები მიიღება. ამ რეაქციით შესაძლებელი გახდა გამარტოებულ იყოს სინთეზი ჰიდროარომატული ნახშირწყალბადებისა, რომლებიც ნავთობში შემავალი ნახშირწყალბადებისათვის ეტალონებს წარმოადგენენ.

ნიკელის, როგორც ჰიდრირების კატალიზატორის, აღმოჩენამდე ჰიდროარომატული ნახშირწყალბადების მისაღებად საკმაოდ რთულ გზას მიმართავდნენ—მოლეკულაში ნახშირბადის ექვს ატომზე მეტ შემცველ ორფუძიან ორგანულ მკვავათა კალციუმის მარილების მშრალ გამოხდას, რის შედეგადაც ლებულობდნენ კეტონებს, რომლებიც შემდეგ გადაყავდათ სპირტებად, ეს უკანასკნელი—ჰალოიდნაწარმოებად და ბოლოს მათგან ჰიდროარომატულ ნახშირწყალბადებს ლებულობდნენ.

ნიკელის კატალიზატორზე არომატული ნახშირწყალბადების ჰიდრირებით ჰიდროარომატული ნახშირწყალბადების მიღებას საკმაოდ თეორიული ინტერესი და პრაქტიკული მნიშვნელობა აქვს. მაგრამ ამ რეაქციის ორგანული ქიმიური მრეწველობის თვალსაზრისით თუ მიუღწევით, იმ დიდ ნაკლს შევნიშნავთ, რომელიც მას ახასიათებს. ცნობილია, რომ ნიკელის კატალიზატორზე ჰიდრირებისას მაღალი რეაქციის უნარის მქონე და ამიტომ ქიმიურად უფრო ძვირფასი ნაერთები—არომატული ნახშირწყალბადები მცირე რეაქციის უნარის მქონე და ამიტომ ქიმიურად ნაკლები ღირებულების მქონე ჰიდროარომატულ ნახშირწყალბადებად გარდაიქმნებიან. მაშასადამე, ორგანული ქიმიური მრეწველობისათვის უფრო საინტერესო იქნებოდა ჰიდროარომატული ნახშირწყალბადების არომატულ ნახშირწყალბადებად გადაყვანა.

ნ. ზელინსკის მიერ [2] აღმოჩენილმა და მის მიერ თანამშრომლებთან ერთად დამუშავებულმა შერჩევითმა დეჰიდროგენულმა კატალიზმა მშვენივრად გადაჭრა ორგანული ქიმიური მრეწველობის მიერ მეცნიერების წინაშე დაყენებული ამოცანა.

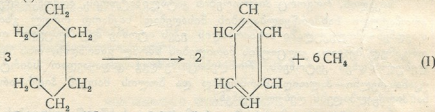
ნ. ზელინსკიმ გვიჩვენა, რომ ციკლოჰექსანისა და მეთილციკლოჰექსანის გატარებით 300°-ზე პალადიუმის ან პლატინის კატალიზატორზე (შავას სახით) ბენზოლი და ტოლუოლი მიიღება.



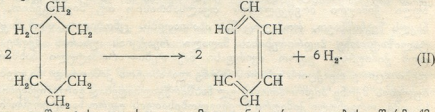
შერჩევითი დეჰიდროგენული კატალიზის საშუალებით შესაძლებელი გახდა ბენზინების ქიმიური შედგენილობის შესწავლა და მათი არომატული ნახშირწყალბადებით გამდიდრება. ზემოთქმულიდან ნათლად ჩანს ამ სახის კატალიზური პროცესის არა მარტო თეორიული ინტერესი, არამედ მისი პრაქტიკული მნიშვნელობაც. ამითაა გამოწვეული ის დიდი კვლევა-ძიებითი მუშაობა, რომელიც მიძღვნილია დეჰიდროგენული კატალიზისადმი. ამ სერიის შრომების დიდი რიცხვი მიძღვნილია ისეთი კატალიზატორების მომზადებისადმი, რომლებიც ხელსაყრელია ქიმიური რეაქციების ჩასატარებლად როგორც ლაბორატორიულ, ისე ქარხნულ პირობებში. აქტიური, ხანგრძლივმოქმედი და იაფი მასალისაგან მომზადებული კატალიზატორი მოწონებას იმსახურებს განსაკუთრებით საწარმოო მიზნებისათვის. ეს გარემოებაც ნ. ზელინსკის მხედველობიდან არ გაუშვია, ამიტომაც მან კვლევა-ძიება ჩაატარა ნიკელის კატალიზატორის მოსამზადებლად დეჰიდრირების პროცესებისათვის. ეს მნიშვნელოვანი ამოცანა ნ. ზელინსკის მიერ ბრწყინვალედ იქნა გადაჭრილი [3].

საბატიეს კატალიზატორი უფარგისი აღმოჩნდა ჰიდროარომატული ნახშირწყალბადების დეჰიდრირებისათვის, რადგან რეაქციის სამიზნო პროდუქტები—არომატული ნახშირწყალბადები, მცირე ოდენობით მიიღება. ეს იმითაა გამოწვეული, რომ სარეაქციოდ აღებულ ნახშირწყალბადზე საბატიეს კატალიზატორი აგრესიულად მოქმედებს.

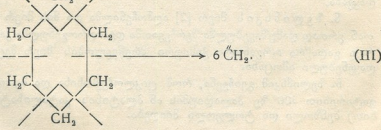
ციკლოპექსანის დეჰიდრირებას ამ კატალიზატორზე თან სდევს მეთანის წარმოქმნა (I)



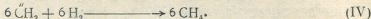
მეთანის წარმოქმნის მექანიზმი შემდგენიარად არის ახსნილი: ციკლოპექსანის ზოგი მოლეკულა განიცდის დეჰიდრირებას ბენზოლისა და წყალბადის წარმოქმნით (II)



ზოგი კი — დაწვეტას თავისუფალი მეთილენის რადიკალების წარმოქმნით (III)



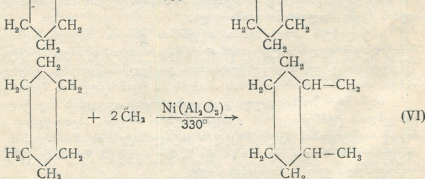
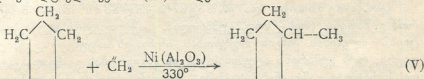
ეს უკანასკნელი უერთდებიან ციკლოჰექსანის დეჰიდრირებით წარმოქმნილ წყალბადს, რის შედეგადაც მეთანი მიიღება (IV)



ნ. ზელინსკიმ [3] დაამზადა ნიკელის ისეთი კატალიზატორი (ნიკელი ალუმინის ქანგზე), რომლის აგრესიული მოქმედება მინიმუმამდე იყო დაყვანილი. მისი კატალიზატორი დეჰიდრირებისა და ჰიდრირების უნარის მაღალი მაჩვენებლით ხასიათდება, რაც შემოწმებული იყო ავტორის მიერვე მეთილციკლოჰექსანის დეჰიდრირებით 300—310°-ზე და ბენზოლის ჰიდრირებით 180°-ზე. ნ. ზელინსკის კატალიზატორმა, რომელიც საბატიეს კატალიზატორთან შედარებით უპირატესობით ხასიათდება, ფართო გამოყენება პოვა დეჰიდრირებისა და ჰიდრირების კატალიზურ პროცესებში.

კატალიზატორი ნიკელი ალუმინის ქანგზე გამოყენებულია ნ. ზელინსკისა და ნ. შუიკინის მიერ [4] სურახანის ბენზინის ვიწრო ფრაქციების არომატიზაციისათვის. ჩატარებული კვლევა-ძიების შედეგად სურახანის ბენზინის ფრაქციის 75—105° დეჰიდრირებით ავტორებმა არომატული ნახშირწყალბადების 51,5% ნამატი მიიღეს, ხოლო იმავე ბენზინის ფრაქციისათვის დუღილის ტემპერატურით 105—125° არომატული ნახშირწყალბადების ნამატი დეჰიდროგენული კატალიზის შედეგად 52,5% უღრიდა. აღნიშნული შრომიდან ნათლად ჩანს, თუ რა დიდი პრაქტიკული მნიშვნელობის მქონეა კატალიზატორი ნიკელი ალუმინის ქანგზე.

აღნიშნული კატალიზატორი ნ. ზელინსკისა და ნ. შუიკინის მიერ [5] შესწავლილ იქნა ციკლოჰექსანის დეჰიდრირების მიმართ შედარებით მაღალი ტემპერატურის პირობებში (330°). მათ შენიშნეს, რომ ციკლოჰექსანი არა მარტო დეჰიდრირებას და რგოლის გაწყვეტას განიცდის, არამედ ალკილირებასაც თავისუფალი მეთილენის რადიკალით, რის შედეგად მეთილციკლოჰექსანი (V) და დიმეთილციკლოჰექსანი (VI) მიიღება.



ავტორების [5] აზრით, მეთილენის რადიკალით ალკილირება, აგრეთვე ციკლოჰექსანის დეჰიდრირებით მიღებული ბენზოლისავე, მიმდინარეობს, რის შედეგადაც ტოლუოლი და ქსილოლი წარმოიქმნება.



ნ. შუიკინმა [6] იმავე კატალიზატორით (ნიკელი დაფენილი ალუმინის ქანგზე) მეთილციკლოპექსანის დეჰიდრირება ჩაატარა 330—350°-ზე, ხოლო დიმეთილციკლოპექსანისა—330°-ზე. პირველ შემთხვევაში მიიღო პარაქსილოლი, მეორე შემთხვევაში—ქსილოლის ჰომოლოგები.

აღნიშნულ შრომაში აგრეთვე დადასტურებულია, რომ ციკლოპექსანის ჰიდროგენოლის ადგილი არა აქვს წყალბადის არეში ამ ნახშირწყალბადის გატარებისას პლატინირებულ ნახშირზე 330—375°-ის ფარგლებში.

მ. გავერდოვსკაიამ [7] მოამზადა ნიკელის კატალიზატორები სხვადასხვა სარჩულზე. სარჩულად მან გამოიყენა: ალუმინის ქანგი, ქრომის ქანგი, თუთიის ქანგი, სილიკაგელი, გააქტივებული ნახშირი და ასბესტი. გამოირკვა, რომ ჩამოთვლილი ნივთიერებებიდან უპირატესობა ალუმინის ქანგსა და სილიკაგელს ენიჭება.

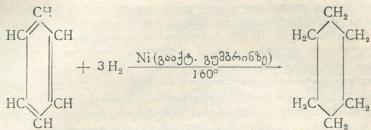
ჰიდრირებისა და დეჰიდრირების უნარის მქონე ნიკელის კატალიზატორი, დაფენილი სხვადასხვა სარჩულზე, მომზადებულია ნ. შუიკინის, ხ. მინაჩევისა და ლ. ფეოფანოვას მიერ [8]. ჩატარებული კვლევები შედეგად ამ ავტორების მიერ ნაჩვენებია, რომ მაღალი დეჰიდრირების უნარით ხასიათდებიან კატალიზატორები: ნიკელი ალუმინის ქანგზე და ნიკელი თუთიის ქანგზე; დაბალი დეჰიდრირების უნარი აქვს კატალიზატორს—ნიკელს რკინის ქანგზე. მაღალი ჰიდრირების უნარით ხასიათდებიან კატალიზატორები: ნიკელი ალუმინის ქანგზე, ნიკელი თუთიის ქანგზე, ნიკელი ქრომის ქანგზე, ნიკელი მაგნიუმის ქანგზე; ხოლო დაბალი ჰიდრირების უნარით ხასიათდება კატალიზატორი ნიკელი რკინის ქანგზე. ავტორების მიერ ნაჩვენებია, რომ კატალიზატორები სხვადასხვა სარჩულზე, ნიკელის 20% შემცველობით, ციკლოპექსანის მოლეკულის დაწყვეტას არ იწვევენ 350°-ზე და 2 კი.

ქრ. არეშიძისა და ე. თავართქილაძის მიერ ნაჩვენებია [9], რომ გუმბრინი (თიხა, სოფ. გუმბრიდან, საქართველოს სსრ) ქიმიურ რეაქციებში ალუმინის ქანგის მსგავსობას იჩენს. ეს საფუძველს გვაძლევდა გვეფიქრა, რომ გუმბრინი ალუმინის ქანგის მაგეირობას ვასწევდა კატალიზატორის სარჩულად გამოყენების საქმეში. ამ მიმართულებით ჩატარებულმა კვლევებებმა ჩვენი მოლოდინი გაამართლა.

კატალიზურ პროცესებში ალუმინის ქანგის შეცვლა გუმბრინით არამართო თეორიული ინტერესით არის ნაკარნახევი, არამედ პრაქტიკული მნიშვნელობითაც. გუმბრინი უფრო იაფი და ხელმისაწვდომია, ვიდრე ალუმინის ქანგი, რაც მას უპირატესობას ანიჭებს ამ უკანასკნელთან შედარებით.

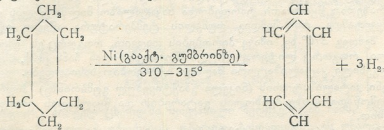
ჩვენ მიერ მომზადებული კატალიზატორის აღდგენას საკატალიზო მილში ვახდენდით ტემპერატურის თანდათანობით აწევით. ასეთი წესით აღდგენილი მაღალი აქტივობის მქონე ნიკელის კატალიზატორის მომზადების პირობები, აღწერილია ა. ბალანდინისა და ნ. შუიკინის შრომაში [10], პირველად მოწოდებული იყო ნ. შუიკინის მიერ.

ჩვენში კატალიზატორის (ნიკელი გააქტივებულ გუმბრინზე) ჰიდრირების უნარი შემოწმდა მასზე ბენზოლისა და წყალბადის ერთდროული გატარებით 160°-ზე.



აღმოჩნდა, რომ კატალიზატორი მაღალი ჰიდრირების უნარით ხასიათდება, მას ბენზოლი მთლიანად გადაჰყავს ციკლოჰექსანად.

კატალიზატორის დეჰიდრირების უნარი კი შემოწმდა მასზე ციკლოჰექსანის გატარებით 310–315°-ზე.



აღმოჩნდა, რომ ნიკელის ჰიდროქანგისაგან მომზადებულმა კატალიზატორმა ციკლოჰექსანის 57% გადაიყვანა ბენზოლად, როგორც ბენზოლის ჰიდრირების, ისე ციკლოჰექსანის დეჰიდრირების რეაქციას კონტროლი ეწეოდა სინათლის სხივთგადატეხის მაჩვენებლის გაზომვით. ციკლოჰექსანის დეჰიდრირების შედეგად წარმოქმნილი ბენზოლის რაოდენობა ამ ორ ნახშირწყალბადის ნარევი გ. პავლოვის [11] მეთოდით ისაზღვრებოდა.

მაღალი ჰიდრირების უნარი კატალიზატორისა—ნიკელი გააქტივებულ გუმბრინზე, საფუძველს გვაძლევს შემდგომ დავსახოთ მისი გამოყენების პერსპექტივები ჰიდრირების რეაქციებში ლაბორატორიული და საწარმოო მიზნებისათვის.

ჩვენ მიერ მომზადებულ კატალიზატორს ნიკელის მცირე შემცველობა აქვს, იგი ამ ლითონის 10%-ს შეიცავს. შეღარებით დაბალი კონცენტრაციის მქონე ნიკელის კატალიზატორის გამოყენება ჰიდრირებისა და დეჰიდრირების კატალიზური პროცესებისათვის რეკომენდებულია ნ. შუიკინის მიერ თანამშრომლებთან ერთად [12]. ასეთი კატალიზატორი უპირატესობით სარგებლობს დეჰიდრირების პროცესისათვის, რადგან მისი ხმარების დროს ადვილი არა აქვს ზოგიერთი ორგანული ნერთის მოღვეულის დესტრუქციას.

ექსპერიმენტული ნაწილი

გუმბრინი გააქტივებულ იქნა 16%-ანი მარილის მკავას ხსნარით წყლის აბაზანაზე ვაზობით 2 საათის განმავლობაში, რის შემდეგ გაიფილტრა და გაირეცხა მდლარე დესტილირებული წყლით ქლორ-იონების მოცილებამდე. გააქტივებული გუმბრინი შრებოდა თერმოსტატში 130°-ზე, რის შემდეგ გაცივდა ექსიკატორში. გაცივებული გააქტივებული გუმბრინი აიწონა და გაიფილტრა აორთმეფანიკელის ხსნარით. ეს უკანასკნელი დამზადებული იყო იმ ვარაუდით, რომ კატალიზატორში ნიკელის 10% ყოფილიყო. აზოტმეფანიკე-



ლის წყალხსნარით გაყვნილი გააქტივებული გუმბრინის ნატრები შრებოდა ჯერ ოთახის ტემპერატურაზე და შემდეგ თერმოსტატში 130° -ზე, რის შემდეგ საკატალიზო მილში 70 მლ რაოდენობით მოთავსდა. საკატალიზო მილი მოთავსებული იყო გერეუსის ტიპის ლუმელში, რომელიც ელექტროდენით ხურდებოდა. ტემპერატურა რეგულირდებოდა ვერცხლისწყლის გამწყვეტის და თერმორეგულატორის ერთდროული მოქმედებით. ლუმელის ტემპერატურა იზომებოდა საკატალიზო მილის პარალელურად მოთავსებული თერმომეტრით. კატალიზატორის აღდგენას ვახდენდით წყალბადით, რომელსაც ვღებულობდით 20% -ანი ნატრიუმის ტუტის წყალხსნარის ელექტროლიზით. აღდგენა ხდებოდა ტემპერატურის თანდათანობით აწევით და წყალბადის ერთდროული მოქმედებით. კატალიზატორს 150° -ზე ვახურებდით მანამდის, სანამ საკატალიზო მილიდან წყლის გამოყოფა არ შეწყდებოდა. ლუმელის ტემპერატურა შემდეგ აწეულ იქნა 200° -ზე, წყალბადის ერთდროული გატარებით; ამ ტემპერატურაზედაც წყალბადი ტარდებოდა საკატალიზო მილში წყლის გამოყოფის შეწყვეტამდე, რის შემდეგ ლუმელის ტემპერატურა აწეულ იქნა ჯერ 350° და შემდეგ 370° -ზე, იმავე პირობების დაცვით, როგორც ეს ზემოთ არის აღწერილი. როგორც ლიტერატურული მონაცემებიდან ჩანს [10], ასეთი წესით აღდგენილი კატალიზატორი მაღალი აქტივობით ხსნაითდება.

ჩვენი კატალიზატორის (ნიკელი გააქტივებულ გუმბრინზე) ჰიდრირების უნარი შემოწმდა მასზე ბენზოლის გატარებით და წყალბადის ერთდროული მოქმედებით.

ბენზოლი ტარდებოდა 160° -ზე მოცულობითი სიჩქარით 0,06 (კატალიზატორზე, რომლის მოცულობა 70 მლ ავსებდა, ერთ საათში 4,2 მლ ბენზოლი ვატარდა). აღებული ბენზოლის გადატების მაჩვენებელი ტოლი იყო μ_{20}^{20} 1,5026-ისა, ჰიდრირების შემდეგ კი ეს მაჩვენებელი უდრიდა μ_{20}^{20} 1,4272, რაც იმას ადასტურებს, რომ ბენზოლის თითქმის სრული ჰიდრირება მოხდა ციკლოჰექსანის წარმოქმნით.

კატალიზატორი ნიკელი გააქტივებულ გუმბრინზე მომზადდა აგრეთვე ნიკელის ჰიდროქანგის დაფენით გააქტივებულ გუმბრინზე, რისთვისაც გამოყენებული იყო აზოტმეფა ნიკელის მოლარული ხსნარი. აღნიშნულ მარილის ხსნარს მექანიკური სარეველით მუდმივი მორევის პირობებში საწვეითი ძაბრიდან წვეთ-წვეთობით დაემატა საჭირო რაოდენობა ნატრიუმის ტუტის 30% -ანი ხსნარისა. ნიკელის მარილის სრულ გადაყვანას ჰიდროქანგალატორი ეწეოდა. ნიკელის ჰიდროქანგის წარმოქმნილი ნალექი გადატანილ იქნა ოცლიტრიან მიმის ჭურჭელში და გამოხდილი წყლით გაირეცხა. ნიკელის ჰიდროქანგს გამოხდილი წყალი ემატებოდა და ინჯღრეოდა, რის შემდეგ ვაყოვნებდით და გამჟვირვალე ფენას ნალექისაგან სიფონის საშუალებით ვაცილებდით. ნალექის გარეცხვა მეორედებოდა ნიტრატ-იონის სრულ მოცილებამდე. გარეცხილი ნალექი გაიფლტრა ბუნხერის ძაბრით და თაიფურის ჯამზე მოთავსებულ გააქტივებულ გუმბრინის ფხვნილს აერია იმ ვარაუდით, რომ ათპროცენტოანი ნიკელის კატალიზატორი დამზადებულიყო.

გააქტივებული გუმბრინი და ნიკელის ჰიდროქანგი მცირეოდენი გამოხდილი წყლის მიმატებით კარგად აიზილა. მიღებული მასისაგან 0,5—0,7 სმ დიამეტრის მქონე ბურთულები დამზადდა, რომლებიც ჯერ ოთახის ტემპერატურაზე და შემდეგ თერმოსტატში 130° -ზე გაშრა.

ბურთულები 39 გ რაოდენობით, რაც 70 მლ მოცულობას ავსებდა, ჩაიტვირთა გერეუსის ტიპის ლუმელში მოთავსებულ საკატალიზო მილში და მის

აღდგენა ხდებოდა იმ პირობებში, როგორც ეს ზემოთ არის აღწერილი ნიკელის ნიტრატით გააქტივებული გუმბრინის გაყენების საშუალებით მიღებული კატალიზატორის შემთხვევაში.

ამგვარად მომზადებული კატალიზატორის ჰიდრირების უნარი შემოწმდა იმავე პირობების დაცვით, როგორც ეს ზემოთ არის აღწერილი. ბენზოლის ჰიდრირების შედეგად წარმოქმნილი ციკლოჰექსანის რაოდენობა ამ ორი ნახშირწყალბადის ნარევეში გ. პავლოვის [11] მეთოდით ისაზღვრებოდა. ცდის შედეგები მოყვანილია პირველ ცხრილში.

ცხრილი 1

სხვადასხვა წესით მომზადებული კატალიზატორის—ნიკელი გააქტივებულ გუმბრინზე—ჰიდრირების უნარის შემოწმების შედეგები

№№	კატალიზატორის დასახელება	მომზადების წესი	ბენზოლის n_D^{20}	კატალიზატორის n_D^{20}	ჰიდრირების %
1	ნიკელი გააქტივებულ გუმბრინზე	აღდგენილი ნიკელის ნიტრატისაგან	1,5026	1,4272	100
2	ნიკელი გააქტივებულ გუმბრინზე	აღდგენილი ნიკელის ჰიდროქანგისაგან	1,5026	1,4270	100

როგორც პირველ ცხრილში მოყვანილი შედეგებიდან ჩანს, ჩვენი კატალიზატორი მაღალი ჰიდრირების უნარით ხასიათდება. ეს უნარი თითქმის ერთნაირი აქვს იმ კატალიზატორს, რომელიც მომზადებულია უშუალოდ ნიკელის ნიტრატისაგან, და კატალიზატორს, აღდგენილს ნიკელის ჰიდროქანგისაგან.

შემოწმდა აგრეთვე კატალიზატორის დეჰიდრირების უნარიც. ამისათვის აღებულ იქნა კატალიზატორის ახალი ულუფა და აღწერილი წესით მისი აღდგენის შემდეგ მასზე 0,3 მოცულობითი სიჩქარით და 310—315°-ის პირობებში გატარდა ციკლოჰექსანი.

როგორც ბენზოლის ჰიდრირების, ისე ციკლოჰექსანის დეჰიდრირების დროს მიმღები ცინულით ცივდებოდა.

კატალიზატორის დეჰიდრირების უნარის შემოწმების შედეგები მოყვანილია მეორე ცხრილში.

ცხრილი 2

სხვადასხვა წესით მომზადებული კატალიზატორის—ნიკელი გააქტივებულ გუმბრინზე—დეჰიდრირების უნარის შემოწმების შედეგები

№№	კატალიზატორის დასახელება	მომზადების წესი	ციკლოჰექსანის n_D^{20}	კატალიზატორის n_D^{20}	დეჰიდრირების %
1	ნიკელი გააქტივებულ გუმბრინზე	აღდგენილი ნიკელის ნიტრატისაგან	1,4260	1,4475	37
2	ნიკელი გააქტივებულ გუმბრინზე	აღდგენილი ნიკელის ჰიდროქანგისაგან	1,4260	1,4620	57

როგორც მე-2 ცხრილში მოყვანილი შედეგებიდან ჩანს, ჩვენი კატალიზატორის დეჰიდრირების უნარი არ არის ისეთი მაღალი, როგორც ჰიდრირების უნარი.



ნაწილი ექსპერიმენტისა შესრულებულია სსრ კავშირის მეცნიერებათა აკადემიის ზელინსკის სახელობის ორგანული ქიმიის ინსტიტუტის ორგანული კატალიზის ლაბორატორიაში, რისთვისაც მადლობას ვუცხადებთ ლაბორატორიის გამგეს სსრკ მეცნიერებათა აკადემიის წევრ კორესპონდენტს ნ. შუიკინს და ხ. მინაჩევს უშუაღღებისა და სათანადო დახმარებისათვის.

დასკვნა

1. მომზადებულია კატალიზატორი—ნიკელი გააქტივებულ გუმბრინზე ამ უკანასკნელის ნიკელის ნიტრატის ხსნარით გაფლენილისა და შემდეგ წყალბადის არეში აღდგენით ტემპერატურის თანდათანობით აწვეის გზით. ნაჩვენებია, რომ ასეთი წესით მომზადებული კატალიზატორი ბენზოლის ჰიდრირებას 100%-ით ახდენს, ხოლო ციკლოპექსანის დეჰიდრირებას 37%-ით.

2. მომზადებულია კატალიზატორი—ნიკელი გააქტივებულ გუმბრინზე ამ უკანასკნელის ფენილისა და ნიკელის ჰიდროქანგის ურთიერთშერევით და შემდეგ წყალბადის არეში აღდგენით ტემპერატურის თანდათანობით აწვეით. დადგენილია, რომ ასეთი წესით მომზადებული კატალიზატორი ბენზოლის ჰიდრირებას 100%-ით ახდენს, ხოლო ციკლოპექსანის დეჰიდრირებას 57%-ით.

საქართველოს სსრ მეცნიერებათა აკადემია

3. მელიქიშვილის სახელობის ქიმიის ინსტიტუტი
თბილისი

(რედაქციას მოუვიდა 22.2.1954)

დამოწმებული ლიტერატურა

1. П. Сабатье. Катализ в органической химии. Госхимтехиздат. Л., 1932, стр. 82.
2. Н. Д. Зелинский. О дегидрогенизации катализом. ЖРХО, 43, 1911, стр. 1220. Об избирательном дегидрогенизационном катализе. ЖРХО, 45, 1913, стр. 52.
3. Н. Д. Зелинский. О каталитическом действии никелированного гидрата глинозема. Избр. труды Н. Д. Зелинского. Изд. АН СССР, М.—Л., II, 1941, стр. 60.
4. Н. Д. Зелинский и Н. И. Шуйкин. Ароматизация катализом новобогатинского (эмбенского) бензина. ЖОХ, 4, 1934, стр. 901.
5. Н. Д. Зелинский и Н. И. Шуйкин. О неожиданном своеобразном превращении циклогексана под влиянием контакта с никелевым катализатором. ДАН СССР, 3, 1934, стр. 255.
6. Н. И. Шуйкин. О своеобразных контактно-каталитических превращениях шестичленных циклических углеводородов. ЖОХ, 7, 1937, стр. 1015.
7. М. В. Гавердовская. К вопросу об активности никелевых катализаторов. ЖХП, № 5, 1935, стр. 497.
8. Н. И. Шуйкин, Х. М. Миначев и Л. М. Феофанова. Гидрирующая и дегидрирующая способность никелевых катализаторов на различных носителях. Изв. АН СССР, ОХН, 1953, стр. 96.
9. Х. И. Арешидзе и Е. К. Таварткиладзе. Дегидратация циклогексанола гумолином. ЖПХ, 22, 1949, стр. 119.
10. А. А. Баландин и Н. И. Шуйкин. Кинетика каталитической дегидрогенизации метил циклогексана в присутствии никеля на окиси алюминия. ЖФХ, 5, 1934, стр. 707.
11. Г. С. Павлов. К вопросу о зависимости плотностей и показателей преломления бинарных смесей от состава. ЖРХО, 58, 1926, стр. 1509.
12. Н. И. Шуйкин, Х. М. Миначев и И. Д. Рождественская. Гидро- и дегидрогенизация углеводородов в контакте с низкопроцентными никелевыми катализаторами. ДАН СССР, 72, 1950, стр. 911.



ქიმიური ტექნოლოგია

მ. შარაბიშვილი, ს. ფილატოვი, ნ. ტულუში

სარიბონისის საბადოს ბენტონიტები სომხეთში

(წარმოადგინა აკადემიის ნამდვილმა წევრმა ა. თვალჭრელიძემ 15.2.1954)

ბენტონიტები, ისე როგორც თიხები საერთოდ, წყლის ალუმინსილიკატებს წარმოადგენენ. სხვადასხვა თიხების განმასხვავებელი თვისებები დამოკიდებულია ამ თიხებში შემავალი მინერალების კრისტალური მესერის აგებულებაზე. მონტმორილონიტის ჯგუფის თიხის მინერალები, რომლებიც წარმოქმნიან ბენტონიტებს (მონტმორილონიტი— $Al_2O_3 \cdot 4SiO_2 \cdot H_2O$, ბეიდელიტი— $Al_2O_3 \cdot 3SiO_2 \cdot H_2O$ და სხვა), თავიანთი კრისტალური მესერის აგებულებით საგრძნობლად განსხვავდებიან სხვა თიხის მინერალების კრისტალური მესერისაგან. კრისტალური მესერის შიგნით, მის წარმოქმნელ ბრტყელ ელემენტალურ უჯრედებს შორის განლაგებულია კლივაჟები. ამ ელემენტალურ უჯრედებს შორის მანძილი (კლივაჟური მანძილი) წყლის არეში დაახლოებით სამჯერ იზრდება, რის გამოც ხდება თიხის ნაწილაკების მოცულობის საგრძნობლად გადიდება (გაჯირჯვა). მეორე მხრივ, მონტმორილონიტური ჯგუფის თიხის მინერალების კრისტალურ მესერს, სხვა თიხის მინერალებისაგან განსხვავებით, უფრო მეტი უარყოფითი მუხტი ახასიათებს, რომლის ნეიტრალიზაცია ხდება დადებითად დამუხტული იონებით, უმთავრესად ტუტიანი და მოტუტო ლითონების კათიონებით. ამის გამო ნაწილაკების ზედაპირზე საკმაო რაოდენობით ადსორბირდებიან საწინააღმდეგო ნიშნის იონები. იმისდა მიხედვით, თუ რა სახის კათიონები (ტუტე თუ მოტუტო) იქნება ადსორბირებული კრისტალური მესერის ზედაპირზე, წარმოიქმნება ტუტიანი ან მოტუტო ბენტონიტები. ბენტონიტების ამ სახესხვაობათა დიზიკურ-ქიმიური თვისებები ძირითადად აღნიშნული ადსორბირებული კათიონებით განისაზღვრება.

ვინაიდან ნატრიუმის კათიონები, კალციუმისა და მაგნიუმის კათიონებთან შედარებით, წყლის არეში უფრო ჰიდრატირებულია, ტუტიანი ბენტონიტური თიხის მინერალების კრისტალური მესერის ირგვლივ წარმოიქმნება საკმაოდ სქელი დიფუზიური შრე, რომელიც უმთავრესად ნატრიუმის ჰიდრატირებული კათიონებისაგან შედგება. მოტუტო ბენტონიტების დიფუზიური შრე კი მით უფრო ნაკლებია, რაც უფრო ნაკლებია მასში ნატრიუმის კათიონები. ამით აიხსნება ტუტიანი და მოტუტო ბენტონიტების თვისებათა საგრძნობი განსხვავება: ტუტიანი ბენტონიტების მშრალი ნატეხები წყალში ძლიერ იჯირჯება, ისინი ინარჩუნებენ მონოლითობას; მოტუტო ბენტონიტები კი სუსტად იჯირჯება, იფხვება კონუსის ფორმის წარმოქმნით.



3—5% ტუტიანი ბენტონიტების წყლიანი სუსპენზია წარმოადგენს სტაბილურ ჰომოგენურ სისტემას სტრუქტურული, ტიქსოტროპული თვისებებით. მოტუტო ბენტონიტების სუსპენზიას ეს თვისებები არ ახასიათებს: თიხის ნაწილაკების ძლიერი აგრეგირებულობის გამო არევის შემდეგ უძრავად გაჩერებული სუსპენზია სწრაფად განშრევდება. აღსანიშნავია, რომ ადსორბირებული კათიონები შეიძლება ჩანაცვლებულ იქნეს სხვა მეტალის კათიონებით (ე. წ. მიმოცვლის რეაქცია). აღნიშნულისა და ბენტონიტების შემადგენელი თიხის მინერალების კრისტალური მესერის იდენტურობის გამო შესაძლებელია ერთი სახესხვაობის მეორე სახესხვაობად ვარდაქმნა. მაგალითად, ჩვენი გამოკვლევებით დადასტურებულია, რომ ციხისუბნის (დასავლეთ საქართველო) საბადოს ზეფითა ჰორიზონტის მოტუტო ბენტონიტები კალცინირებული სოდის მცირე რაოდენობის (1—2%) ზემოქმედებით იღებენ ტუტიანი ბენტონიტების ყველა თვისებას.

უნდა აღინიშნოს, რომ ბუნებაში სუფთა ბენტონიტური თიხები, განსაკუთრებით ტუტიანი, სხვადასხვა ჩანართის გარეშე, იშვიათად გვხვდება, მაშინ როცა ხარისხოვანი ტუტიანი ბენტონიტების გამოყენების სფერო საბალხო მეურნეობაში მრავალფეროვანია.

ამჟამად ტუტიანი ბენტონიტების ყველაზე დიდი მომხმარებლები არიან ის საწარმონი, რომელნიც ბურღვას აწარმოებენ ნავთობის, მადნების, ნახშირის და სხვა სასარგებლო ნივთიერების აღმოსაჩენად. ბურღვის ტექნიკაში ეს ბენტონიტები გამოიყენება მაღალხარისხოვანი სარეცხი (საბურღავი) ხსნარების დასამზადებლად.

ბენტონიტური თიხები აგრეთვე წარმატებით გამოიყენება ცეცხლგამძლე თიხის ნაცვლად, როგორც დამაკავშირებელი საყალიბე-კვარცის ქვიშისა ფოლადის ჩამოსასხმელად; თევზის წებოს, ჟელატინის და სხვა დეფიციტური მასალის ნაცვლად, ლვინოების, ძმრის, ხილის წვენისა და მდინარის მღვრიე წყლის გასასუფთავებლად; აქტიურ შემავსებელ მასალად საპნისა და ქაღალდის წარმოებაში; სხვადასხვა საღებავის დასამზადებლად; კედლის მოპირკეთების სამუშაოებისათვის; ლანოლისის, ღორის ქონისა და სხვა ცხიმების ნაცვლად, სამკურნალო მალამოების დასამზადებლად; აგრეთვე ტაბლეტების, ემულსიების და სხვა სამკურნალო პრეპარატებისათვის; პლასტიფიკატორად კერამიკული ნაწარმის დასამზადებლად; ტექნიკური ქაღალდის დამზადებაში, რომელიც იხმარება სამხაზველო სამუშაოებში, სამხატვრო ტექნიკაში და სხვა მიზნებისათვის; სოფლის მეურნეობის მავნებლების წინააღმდეგ საბრძოლო პრეპარატების დამზადებისას; გელცემენტის დასამზადებლად და სხვა.

ტუტიანი ბენტონიტების გამოყენების ზემოთ აღნიშნული არასრული ჩამოთვლიდან ჩანს, რომ ამ თიხებზე მოთხოვნილება ყოველწლიურად უნდა გაიზარდოს. ამჟამად კი მხოლოდ ორი საბადო მუშავდება—ასკანისა (საქართველოს სსრ) და ოგლანლინისა (თურქმენეთის სსრ). პირველი საბადო, რომელიც ცნობილ საბადოებს შორის ყველაზე მძლავრია და შესწავლილი, მუშავდება ნავთის მრეწველობის სამინისტროს მიერ მხოლოდ საბურღავ ხსნარებში გამოსაყენებლად. მეორე საბადოს ექსპლოატაცია ხდება ნავთის მრეწველო-

ბის სამინისტროს მიერ იმავე მიზნებისათვის, აგრეთვე ტრესტ „სორბუფორ-მოლიტიოს“ მიერ ბენტონიტის საყალიბე ქვიშის შემკავშირებლად გამოყენების მიზნით, ფოლადის ჩამოსასხმელად; ცნობილია აგრეთვე ტუტნიანი ბენტონიტების ორი-სამი საბადო ამიერკავკასიაში, რომელთა დამუშავება სხვადასხვა მიზეზის გამო ამჟამად არ წარმოებს, ამიტომ ხარისხოვანი ტუტნიანი ბენტონიტური თიხების ახალი საბადოების გამოვლინება და მათი ათვისება სერიოზული ყურადღების ღირსია.

სომხეთის სსრ-ში მუშაობისას თიხების გამოვლინებისა და შესწავლის პერიოდში, მათი უმთავრესად საბურღავ ხსნარებში გამოყენების მიზნით, 1952 წელს სოფ. სარიგუხის მახლობლად ჩვენ მიერ (მ. მერაბიშვილი, ნ. ტულუში) გამოვლინებულ იქნა ტუტნიანი ბენტონიტური თიხის საბადო. სტატიაში მოყვანილია ჩვენ მიერ 1952—53 წლებში ჩატარებული მუშაობის შედეგები, რომლებიც აშუქებს სარიგუხის ტუტნიანი ბენტონიტური თიხის ხარისხს. ეს საბადო მდებარეობს რაიონულ ცენტრ ინჯევეანიდან ჩრდილოეთით 27 კმ-ზე, სოფ. სარიგუხის მახლობლად.

საბადოს გეოლოგიურ აგებულებაში მონაწილეობას იღებს ტურონული ნალექები, რომლებიც შიშვლდება ანტიკლინის ჩრდილო-აღმოსავლეთ ფრთაში და ლითოლოგიურად წარმოდგენილია საკმაოდ მძლავრი ტუფოქვიშაქვების, ტუფების, ძლიერ გათიხებული ტუფების, ბენტონიტური თიხის ფენებით და პორფირიტების შიგაფორმაციული განმფენებით. მათი განლაგების ელემენტებია: ჩრდილო-აღმოს. $60^{\circ} < 40-45^{\circ}$, ბენტონიტური თიხის ფენები მიმართებაზე ვრცელდება 1,5—2 კმ-ზე და მათი ხილული სიმძლავრე ალაგ-ალაგ 25 მეტრამდე აღწევს.

საბადოს სხვადასხვა ადგილას—გილანგის, ლალქარისა და ქოთრაცნავის უბნებზე—აღებულ იქნა ბენტონიტური თიხის 24 სინჯი, რომლებიც შესწავლილ იქნა მინერალური ნედლეულის საკავშირო ინსტიტუტის საქართველოს განყოფილების ქიმიურ-ტექნოლოგიურ ლაბორატორიაში.

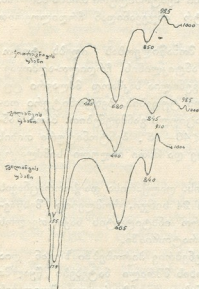
აღნიშნული საბადოს ბენტონიტები ბუნებრივ პირობებში ზოგან ღია მწვანე ფერისაა, ზოგან კი მოყვითალო. თიხის მშრალი ნატეხები წყალში ძლიერ იჯირჯევა მონოლითობის შენარჩუნებით. გამჭვირვალე შლიფების მიკროსკოპიულმა შესწავლამ გვიჩვენა, რომ თიხის ქანი შედგება მღვრიე და ღია მოყავისფრო პელიტური თიხის მასისაგან, რომლის გარდატეხის მაჩვენებელი ბალზამისაზე ნაკლებია; აქვს საშუალო ინტერფერენციული ფერები; თიხას შენარჩუნებული აქვს ძირითადი ქანის პირველადი ტუფური სტრუქტურა; იგი შეიცავს პლაგიოკლასის საღ და იშვიათად გათიხებულ კრისტალებს, რომლებშიც ზოგჯერ ჩართულია აპატიტის კრისტალები.

როგორც უკვე აღვნიშნეთ, ბენტონიტური თიხის ერთ-ერთ უმთავრეს დამახასიათებელ მაჩვენებელს წარმოადგენს მიმოცვლის საერთო კომპლექსი, რომლის რაოდენობა 100 გრამ ბენტონიტურ თიხაში 80—100 მგ ეკვივალენტის ფარგლებში მერყეობს.

შესწავლილი ბენტონიტების სინჯებში მიმოცვლის საერთო კომპლექსი შეადგენს 85 მგ ეკვივალენტს; მიმოცვლის კათიონების რაოდენობა შემდეგ



ფარგლებში მერყეობს: კალციუმის 19,0—38,0—საშუალოდ შეადგენს 30; მაგნიუმის 2,0—8,0—საშუალოდ 4,5; ნატრიუმის 42,0—57,0—საშუალოდ 50 მგ ეკვივალენტი 100 გრ თიხაზე. ეს მონაცემები სავსებით ადასტურებს, რომ აღნიშნული საბადოს თიხები ტუტიანი ბენტონიტების ჯგუფს მიეკუთვნება. იმერსიული მეთოდით განსაზღვრული გარდატეხის მაჩვენებლები ($N_g' = 1,504$, $N_p' = 1,490$) და თერმული ანალიზის მონაცემები (იხ. თერმომრუდები) ადასტურებს, რომ შესწავლილი სინჯები უმთავრესად მონტმორილონიტის ჯგუფის მინერალებისაგან შედგება. დისპერსიული ანალიზით (2%, სუსპენზია) შესწავლილი სინჯები დაყოფილ იქნა სამ ძირითად ფრაქციად: I ფრაქცია შეიცავს 60-მიკრონიან და მეტი ზომის ნაწილაკებს; II ფრაქცია 1,5-დან 60 მიკრონამდე და III ფრაქცია კი კოლოიდური ზომის ნაწილაკებიდან 1,5 მიკრონამდე. ამავე დროს დადგენილია, რომ სინჯები ბუნებრივ პირობებში



სურ. 1

შეიცავს მეტად უხეშ (I) ფრაქციას 8,0—13,0%-ს, საშუალო (II) ფრაქციას 19,0—44,0%-ს და წვრალდისპერსიულ (III) ფრაქციას 50—73% ს. პეპტიზატორის (ნატრიუმის პიროფოსფატი) მცირე რაოდენობით დამატებით წვრილდისპერსიული ფრაქციის რაოდენობა საგრძნობლად იზრდება I და, უმთავრესად, II ფრაქციის აგრეგირებულ ნაწილაკების დანამცეცების ხარჯზე 90%-ს აღწევს.

ამემაღ ტუტიანი ბენტონიტები, როგორც აღვნიშნეთ, ფართოდ გამოიყენება უმთავრესად საბურღავ ხსნარებში; ამიტომ აღნიშნული საბადოს ბენტონიტური თიხის სინჯები შესწავლილ იქნა ამ მიმართულებით, რის შედეგადაც დადგენილია, რომ ამ სინჯებიდან დამზადებულ თიხის სუსპენზიებს

(ხსნარებს) აქვს ყველა ის თვისება, რაც დამახასიათებელია მაღალხარისხოვანი ტუტიანი ბენტონიტების ხსნარებისათვის. ამ ბენტონიტური თიხის ხსნარების ხედრითი წონა 20 სეკ. სიბლანტისას (საველე სტანდარტული ვისკოზიმეტრი 5 მმ დიამეტრიანი მილით) 1,03—1,05 ფარგლებში მერყეობს; ხსნარებს ახასიათებს სტაბილურობა, მაღალი სტრუქტურული და ტექსტორობიული თვისებები. თიხის ხსნარების ამ უმთავრესი მაჩვენებლების მიხედვით შესწავლილი თიხის სინჯები მთლიანად აკმაყოფილებს ნავთის მრეწველობის სამინისტროს მიერ ტუტიანი ბენტონიტებისათვის დამტკიცებულ ტექნიკურ მოთხოვნებს.

სარიგოუხის საბადოს ბენტონიტური თიხების დამახასიათებელი ფიზიკურ-ქიმიური თვისებების შესწავლის საფუძველზე შეგვიძლია დავასკვნათ, რომ

ეს ბენტონიტები წარმატებით გამოიყენება არა მარტო ბურღის ტექნიკაში, არაჩედ სახალხო მეურნეობის მთელ რიგ სხვა დარგებშიც.

თიხების მაღალი ხარისხი, მათი ალბათ საკმაოდ დიდი მარაგი, აგრეთვე საბადოს ხელსაყრელი და მისაწვდომი მდებარეობა შარაგზიდან, მთელი სიცხადით მიუთითებს შემდგომი სამუშაოების ჩატარების აუცილებლობაზე ამ საბადოს დეტალურად შესწავლისა და უახლოეს ვადაში მისი ექსპლოატაციის დაწყების მიზნით.

ამ საბადოს შესაძლებელია საკავშირო მნიშვნელობა ჰქონდეს, ყოველ შემთხვევაში იგი შეძლებს დააკმაყოფილოს სომხეთის სსრ-ის მოთხოვნილება ტუტიან ბენტონიტებზე, რომლებიც ამჟამად საჭიროების მიხედვით სხვა რესპუბლიკებიდან შეაქვთ სომხეთში.

მინერალური ნედლეულის სამეცნიერო-საკვლევი
საკავშირო ინსტიტუტის საქართველოს განყოფილება
თბილისი
(რედაქციას მოუვიდა 17.2.1954)

დამოწმებული ლიტერატურა

1. Бентонитовые глины Грузинской ССР. Сборник, изд. „Техника და შრომა“, Тბილისი, 1941.
2. Бентонитовые глины Грузии и их применение в народном хозяйстве. Сборник, изд. АН Грузинской ССР, Тбилиси, 1953.
3. Бентонитовые глины (гильяби) Азербайджана. Сборник, изд. АН Азербайджанской ССР, Баку, 1951.
4. Неметаллические ископаемые СССР, изд. АН СССР, М.-Л., 1941.

გეოგრაფია

დ. წიბითელი

ალაზნის ველის პალეოგეოგრაფიისა და რელიეფის განვითარების ისტორიისათვის

(წარმოადგინა აკადემიის ნამდვილმა წევრმა ა. ჯავახიშვილმა 9.3.1953)

ალაზნის ველის მათათაშუა დებრესიის გეომორფოლოგიური ბუნებისა და თანადროული გეომორფოლოგიური პროცესების მიმდინარეობის შესწავლისათვის ერთ-ერთ მნიშვნელოვან საკითხს წარმოადგენს ამ მხარის მეოთხეული გეოლოგიური ისტორიის დაზუსტება და ამ დროის განმავლობაში მომხდარი ფიზიკურ-გეოგრაფიული ცვლილებების დადგენა.

უკანასკნელ ხანებში გეოლოგებისა და გეომორფოლოგების ყურადღება მიპყრობილია ალაზნის ველის განვითარების ისტორიის შესწავლაზე. დღეისათვის უკვე ძნელად მოიძებნებიან იმ აზრის მომხრეები, რომელიც თავის დროზე გამოთქმული იყო ვ. ბოგაჩევის [1] მიერ ალაზნის ველის დებრესიის გრადენტული წარმოქმნის შესახებ. უკანასკნელ წლებში ჩატარებული გამოკვლევების შედეგად უკვე არსებობს გარკვეული წარმოდგენები ალაზნისა და საერთოდ მტკვარ-იორ-ალაზნის წყალშუეთისა და დებრესიების გეოლოგიური განვითარების შესახებ. ამ მხრივ ყურადღებას იქცევს ა. ჯანელიძის [4] მიერ გამოთქმული მოსაზრებანი. მისი აზრით, ალაზნის ველი აღრევე კონსოლიდებული და მოვაკებული უდრეკი სუბსტრატია, რომელიც, მისი დასკვნით, წარმოადგენს აზერბაიჯანის ბელტის NW-კენ წაწვდილ ქიმს. ვაკის მარჯვენა მხარეზე ხდება ცივ-გომბორის კალთების სუსტად დახრილი ალაზნის წყების დაძირვა მეოთხეული ნალექების ქვეშ, ხოლო მარცხენა საზღვარი, იმავე ავტორის აზრით, ტექტონიკურია და კავკასიონი შემოსხლექტილია ალაზნის ველზე, ალაზნის (ცივის) წყების დალექვის შემდეგ.

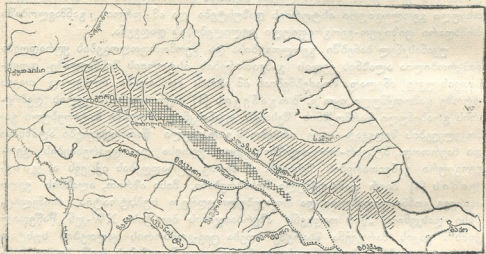
ცივ-გომბორის ქედზე და ალაზნის დებრესიაში მეოთხეულის ქვეშ არსებული ცივის (ალაზნის) წყების შესწავლის საფუძველზე ა. ჯანელიძე სამართლიანად მივიდა იმ დასკვნამდე, რომ, სარმატის ბოლოდან დაწყებული, ალაზნის ველი აკუმულაციის არეს წარმოადგენდა; მისი აზრით, ის მორფოლოგიურად უფრო ძველია, ვიდრე კახეთის (ცივ-გომბორის) ქედი. ამ ქედის ჩამოყალიბებას იგი უფრო გვიანდელი ტექტონიკური აზივების შედეგად თვლის. ალაზნის ველის მდებარეობა რომ უფრო მაღალი იყო, ამის დამადასტურებლად თვლის ლიასური ფიქლების მასალას „ალაზნის წყებაში“, მოტანილს კავკასიონის ქედიდან ფაფრისხევიში. ასეთივე ფიქლები ჩვენ ვნახეთ ალაზნის მარჯვენა შენაკადების მრავალ ხეობაში (ღვრიხევი, კისისხევი და საბათლოს მიდამოები).

ცივის (ალაზნის) მძლავრი წყების ნალექები, რომლებიც წარმოდგენილია ტერიგენული მასალით, აშკარად მოწმობს იმას, რომ ალაზნის ახლანდელ დებრესიაში და მის სამხრეთით, იორ-მტკვრის დებრესიაშიც, მიოცენის დასასრულიდან პოსტპლიოცენურ დრომდე წარმოებდა აკუმულაცია.

გეოლოგიურ და გეომორფოლოგიურ შესწავლას იმ დასკვნამდე მიყვავართ, რომ ალაზნის ველის დებრესიული ნაწილის და ცივ-გომბორის ქედის განვითარების ისტორია განსხვავდება ალაზნის ზემო წელისა და კახეთისა და წოვის ქედების განვითარების ისტორიისაგან.

კახეთის ქედის ჩრდილო კალთაზე (წოვის ქედის ჩათვლით, რომელიც ცივ-გომბორის ქედს გამოეყოფა მდ. ილტოს ხეობით იქ, სადაც უკანასკნელი ქედი მკვეთრად უხვევს ჩრდილოეთისაკენ) ზედაცარცულზე უფრო ახალგაზრდა ნალექები აღარ გვხვდება. მაშასადამე, როდესაც ცივის წყების აკუ-

ალაზნის ალაზნის მდინარის პალეოგეოგრაფიული სურათი ალაზნის სახელმწიფოში



- პალეოგეოგრაფიული
- თანამედროვე მიდრეწვითი ქელი
- მდინარეები ჩასახული ბაკური საუკუნის დასაწყისში
- ქელი მდინარეთა ნაკადები
- მიოცენისა და ალპური ანსუბული კვებები
- ბაკურის უფრო ვიწრო დროის კვებები

სურ. 1

მულაცია მიმდინარეობდა, წოვა-კახეთის ქედი კავკასიონთან ერთად წარმოდგენდა საკმაოდ მაღლა აზიდულ მხარეს. ის მორფოლოგიურად და გეოლოგიურად უფრო ძველია, ვიდრე ალაზნის დებრესიული ნაწილი და ცივ-გომბორის ქედი შირაქ-აჯინაურის ზოლის ჩათვლით.

კახეთისა და წოვის ქედის ახეგებას ადგილი უნდა ჰქონოდა არაუგვიანეს საეურ-შტირიული ფაზისისა [4].

ამრიგად, მიოცენის დასასრულიდან (მეოტურებიდან მაინც) კახეთის ქედის ჩრდილო ნაწილი, რომელიც ლითოლოგიურად და სტრატეგრაფიულად

იზიარებს კავკასიონის ბუნებას, უკანასკნელთან ერთად განიცდის დენუდაციას, მომდევნო აზევებებთან დაკავშირებით.

მეოტური საუკუნიდან აღმოსავლეთ საქართველოს დიდი ნაწილი თავისუფლდება ზღვისგან და საკმაოდ ხანგრძლივი დროის მანძილზე წარმოებს კონტინენტური ნალექების დაგროვება კახეთის აღმოსავლეთ ნაწილში, იორალაზნის წყალშუეთის ადგილზე, კავკასიონის კალთებამდე.

ის ფაქტი, რომ როგორც შირაქის, ისე აქიაგილ-აფშერონის ანუ ცივის წყების კონგლომერატებში გვხვდება კახეთ-წოვისა და კავკასიონის ქედებიდან ჩამოტანილი მასალა, ვფიქრობთ, საეჭვოდ აღარ შეიძლება ჩაითვალოს. რაც შეეხება კახეთ-წოვის ქედის სამხრეთ-აღმოსავლეთ გაგრძელებას—ციე-გომბორის ქედს, იგი მეოტურიდან, ან უკეთ, როგორც ა. ჯანელიძე [4] აღნიშნავს, ზედა სარმატიდან წარმოადგენს აკუმულაციის არეს, სადაც წარმოებდა ცივის სქელი წყების დაგროვება. ამის საუკეთესო დამადასტურებელ საბუთს წარმოადგენს ის, რომ აღნიშნული ქედის თხემურ ნაწილში საკმაოდ მნიშვნელოვნადაა გავრცელებული დენუდაციას გადარჩენილი ცივის კონგლომერატების წყების ნაშთები. არსებული საკმაოდ ვრცელი ტერიტორია კონტინენტური (ტერიგენული) ნალექების დაგროვების არეს წარმოადგენდა.

აქიაგილურისწინა (როდანული) მოძრაობების შედეგად, ივრის ქვიშოწელში, შირაქის აღმოსავლეთ ნაწილში და მტკვრის ხეობაში თბილისამდე წარმოებს დაძირვა; დაძირულ ზონაში იჭრება აქიაგილური ზღვა. ზღვიური აქიაგილური ნალექები დადგენილია სართიქალის მიდამოებში [4], შირაქის აღმოსავლეთ ნაწილში და მის აღმოსავლეთით, აზერბაიჯანის ტერიტორიაზე.

აღნიშნულ დროში ჩრდილოეთით, ციე-გომბორის ქედისა და ალაზნის ველის ადგილზე, ისევე გრძელდება ალუვიურ-პროლუვიური ნალექების დაგროვება, რომლებიც გამოაქვს, ერთი მხრივ, კავკასიონის სამხრეთი კალთებიდან ჩამონადენ მდინარეებს და, მეორე მხრივ, ალაზნის ზემო წელში უკვე არსებულ მდ.მდ. ჩხათანას, სამყურისწყალს, წიფლოვანისწყალსა და ილტოს. ზედა აქიაგილში ზღვა ისევე უკან იხევს და მთელ იორალაზნის აუზში მყარდება კონტინენტური რეჟიმი. სართიქალის მიდამოებში და აგრეთვე შავკაბის-ხევში, ციე-გომბორის ჩრდილო კალთაზე ჩვენ მიერ ნახული განმარხებული ფლორის მდიდარი ნაშთები მიუთითებს აქიაგილის დროის კონტინენტურ რეჟიმზე, ხოლო ფოთლოვანი მცენარეულობა საკმაოდ თბილი და ტენიანი პავის დამახასიათებელ ნიშნებს ატარებს (ცაცხვი, რცხილა, წიფელი).

ციე-გომბორის ქედის ზოლში ამ დროისათვის შესაძლებელია არსებობდა მხოლოდ ცალკეული კუნძულები წითელწყაროს ტიტონური კირქვების მასივის ადგილზე, რომლის გადარეცხილი მასალა გვხვდება აქიაგილურ და აფშერონულ კაქარებში. კონტინენტური ნალექების დაგროვებასთან ერთად ადგილი აქვს ჩალუნებს ალაზან-ივრისა და მტკვრის ხეობებში, მთელი აქიაგილისა და აფშერონის მანძილზე.

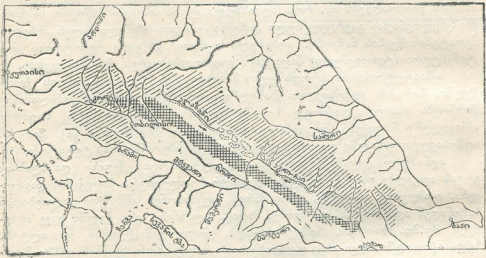
ცივის (ალაზნის) წყების ტერიგენული ნალექები ციე-გომბორის ქედის დასავლეთით განიცდის გათხელებას, თანდათან ქრება ახმეტის მიმართულებით და წოვას ქედზე აღარ გადადის. ასეთისავე სურათს აქვს ადგენი

მტკვრის ხეობაში, სადაც ცივის კონგლომერატები წყდება მდ. ფრონესთან და დასავლეთით აღარ ვრცელდება (დ. წერეთელი).

ალაზნის ველის დებრესიისა და ცივ-გომბორის ქედის გაჩენა უნდა მომხდარიყო ცივის ანუ ალაზნის წყების დაღეჭვის შემდეგ, ბაქოურის წინა ოროგენული ფაზის გამოვლინების შემდეგ. დღეისათვის ეს დებულება ექვს აღარ იწვევს გეოლოგებს შორის, რადგანაც ცივის (ალაზნის) წყება დანაოჭებულია და დიდ სიმაღლეზეა ატანილი.

უნდა ვიფიქროთ, რომ აღნიშნული ოროგენული ფაზის დროს, ცივ-გომბორის ქედის აზევენასთან ერთად, პირველ საწყისში ორიოდგ ასეულ მეტრზე წარმოებდა დებრესიის ჩაღუნვა, რაც გააძლიერა რღვევის ზოლის გასწვრივ მოძრაობაში მოსულმა კავკასიონის ქედის შემოცოცებამ ალაზნის ჩრდილო

ალაზან-აგრიის რეგიონის პარაპლეისტოცენური სამხ. ხაზარულ საზღვარი №3



პინოზიტი ნიშნები
 — დასავლეთით მიდრეკილი უსერი
 - - - - - მდინარეები ჩასახული ბაქოური საუკუნის დასაწყისში
 - - - - - მდ. მდინარეებია ნაკადები
 - - - - - ტბითი მდგ.-საყავი ხაზარულ საუკუნეში.
 სურ. 2

კიდებ. ცივ-გომბორთან ერთად აზერბაიჯანის ტერიტორიაზე აზევენას განიცდიდა მტკვრისა და აგრი-ჩაის წყალგამყოფი სერები და წარმოიქმნა ერთი მთლიანი კავკასიონის ქედის გასწვრივი ალაზან-აგრი-ჩაის დებრესია. ამავე დროს მიეკუთვნება ცივ-გომბორის სამხრეთით არსებული ტექტონიკური დებრესიების ჩასახვა, რომლებიც ალაზან-აგრი-ჩაის მსგავსად განედური მიმართულებისანი არიან. მორფოლოგიურად ისინი კარგად არიან წარმოდგენილი ოლე-ნაომარისა და დიდი შირაქის, ტარიბანა-ნატბურის ვაკეების სახით.

ქვედაბაქოურ ხანაში ალაზნის ველზე წარმოებდა ალუვიურ-დელტუვიური ნალექების დაგროვება. კონგლომერატების, თიხნარებისა და გამოზიდვის კო-



ნუსთა ნალექები განამარბებული ნიადაგების შიდაშრეებითურთ გვიჩვენებს ნალექების დაგროვების პულსაციას და იმ ხარვეზებს, რომლებიც დაკავშირებული იყო ბაქოურის წინ დაწყებული ტექტონიკური მოძრაობის წყვეტილ ხასიათთან. ახლანდისავე ცივ-გომბორის ვიწრო და დაბალი ქედის ზოლი განიცდიდა ინტენსიურ დენუდაციას, რომლის პროდუქტების გადატანა ინტენსიურად წარმოებდა. ბაქოური ნალექები ზოგჯერ უთანხმოდ არის განლაგებული (შავკაბახეში, გურულახეში და სხვ.) ცივის (ალაზნის) წყების ზედა ნაწილებზე.

თიხების, თიხიანი ქვიშაქვებისა და ფხვიერი კონგლომერატების მორიგეობა ცივ-გომბორის ჩრდილო ფერდობის დაძირვის ზოლში თანდათან გადადის მსხვილ ლოდ-კაქრებში, რომელთა დიამეტრი 60—90 სმ აღწევს. აღმოსავლეთით აქჩაგილ-აფშერონულ წყებას (თბილი წყლების მიდამოებში) მოსდევს სუსტად დისლოცირებული ტბიური ნალექები, რომელთაც თავზე აძევს თიხნარებისა და რიყნარის დასტა.

ამრიგად, ქვედაბაქოურ ხანაში ალაზნის ველის დეპრესიაში, რომელიც გაცილებით შორს ვრცელდებოდა სამხრეთისაკენ და ცივ-გომბორის კალთების დიდ ნაწილს მოიცავდა, აკუმულაციის პროცესები ალუვიურ-პროლუვიური ნალექების დაგროვების სახით წარმოებდა. ამასთან ერთად წარმოებდა ნიადაგსაფარის განვითარება, რომელიც ქვედა მეოთხეულის ნალექებში გვხვდება ნამარხი ნიადაგური ჰორიზონტების სახით გურჯაანის, ფაფრისხევის, მღვრიეხევის, კისისხევის, იყალთოს, თურდოსა და სხვა ხეობებში.

კახეთის სამხრეთ-აღმოსავლეთ ნაწილში ბაქოური ზღვიური ნალექები ცნობილია ელდარის აღმოსავლეთ ნაწილსა და აჯინაურის მიდამოებში, ხოლო მტკვრის ხეობაში შეჭრილია საკმაოდ დასავლეთით, ჯანდრის ტბამდე.

ბაქოურის შემდეგ ვ. ხაინი აღნიშნავს გიურჯანის წინა მოძრაობებს ალაზნის დეპრესიისა და ცივ-გომბორის ქედის ზოლში. ასეთი მოძრაობის დამადასტურებელ საბუთად შეიძლება მიჩნეულ იქნეს ბაქოური ნალექების (ალაზნის ზედა წყებისა, ქართველი გეოლოგების მიხედვით) ეროზიულ ზედაპირზე დაღეჭილი, იმავე ცივის (ალაზნის) წყების მეორეულ განლაგებაში მყოფი მასალა, წარმოდგენილი რიყის ქვებითა და თიხნარებით. სუსტად დახრილი ბაქოური ნალექების ზედაპირზე ეროზიული ჯიბეებმ და ძველი ხრამები ჩაჭრილია განამარბებული ნიადაგების დონემდე და ზოგჯერ კვეთს მას. ექვს უარეშა, რომ ნიადაგის ფენის წარმოქმნა და ზედაპირის დახრამება საკმაოდ ხანგრძლივი დროის განმავლობაში წარმოებდა. შემდგომი აზვეების დროს (გიურჯანის წინა ხანაში) ცივ-გომბორის ქედის კალთებზე ძლიერდება დენუდაციის პროცესები და ძველი დახრამული ადგილების ამოვსება და გადასწორება. ნიადაგები იმარბება პროლუვიურ-დელუვიური ნაფენების ქვეშ.

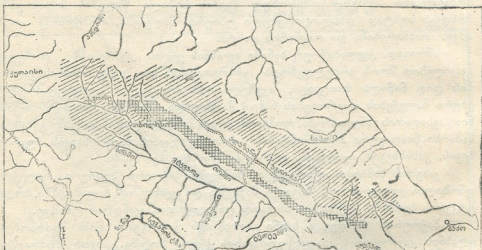
ქვედამეოთხეული დროისათვის არსებული ფიზიკურ-გეოგრაფიული პირობების დადგენა აღმოსავლეთ საქართველოსათვის და კერძოდ ალაზნის აუზისათვის ჯერ კიდევ დამატებით კვლევას მოითხოვს. თუმცა მცირე, მაგრამ საინტერესო გეოლოგიური და პალეონტოლოგიური მასალა (სპილოებისა და მარტორქების ჩონჩხის ნაშთები, მცენარეთა ნაშთები ილტოს



ხეობის ტრავერტინებში) გვიჩვენებს, რომ ამ დროისათვის ჰავა გაცილებით თბილი უნდა ყოფილიყო, ვიდრე დღეს არის.

ეს საკითხი მით უფრო საყურადღებოა, რომ რიგი მკვლევრები (ა. რენ-პარდი, ლ. ვარდანიანი) ბაქოურ ხანაში აღნიშნავენ აღმოსავლეთ კავკასიონზე მინდელური მძლავრი გაყინვარების ნიშნებს, თუმცა, როგორც სამართლიანად აღნიშნავს ლ. ვარდანიანი [2], იგი გაცილებით სუსტი უნდა ყოფილიყო, ვიდრე მომდევნო გაყინვარება. ბაქოური („მინდელური“) გაყინვარებას უტყუარი ნიშნები აღმოსავლეთ კავკასიონზე, ბორბალოდან ტინოვროსამდე, ჯერჯერობით დადგენილი არ არის. საფიქრებელია, რომ იგი გაცილებით სუსტი იყო, ვიდრე მომდევნო და უკანასკნელი გაყინვარება და მისი

ალაზან-აბოთისის არხის პალიოცენური ნაპირი ხანაში



- პალიოციენური ნიშნები
- თანამედროვე პლიოცენური, ქვიშა
- მდინარეებზე მასშტაბური ბაქოური სუფუნის დასაწყისი
- ქველი მდინარეთა ნაკადები
- პალიოცენური ანტიკლინალი
- ბაქოურის შუბლში დროის ქვიშები

სურ. 3

ნალექები მოქცეულია ახალგაზრდა გლაციალური ნალექების ქვეშ. კავკასიონი ბაქოურ საუკუნეში არ აღწევდა თანადროულ სიმაღლეს და გაყინვარებაც შესატყვისად მხოლოდ მის უმაღლეს მწვერვალებს ეხებოდა. ასეთ მცირე გაყინვარებას არ შეეძლო საგრძნობი გავლენა მოეხდინა ფლორასა და ფაუნაზე, რომლებიც ინარჩუნებდნენ პლიოცენურ ხასიათს.

ატმოსფერული ნალექების სიუხვე ხელს უწყობდა კავკასიონის სამხრეთ კალთებზე და ცივ-გომბორის ქედზე უკვე ჩამოყალიბებული მდინარეების უწყულიანობას. მათი ენერგიული მოქმედებით გამოტანილი პროლუვიური და ალუვიური მასალა ილექებოდა დებრესიაში.

შესაძლებელია, რომ იმავე პერიოდში ალაზან-აგრი-ჩაის დებრესიაში დიდძალი მასალის დაგროვებასთან და თანდათანობით დაძირვასთან დაკავ-

შირებით მის ჩრდილო-დასავლეთ ნაწილში ადგილი ჰქონდა მაღალი ტერასების განვითარებას მატანის (ხევის ქალა), ახმეტის, იყალთოს, თელავისა და გურჯაან-ბაკურციხის მიდამოებში, რომელნიც აღმოსავლეთით ებმიან ტბაანის ტერასას. ტერასის სიმაღლე (ალაზნის დონიდან, მატანის მიდამოებში) აღწევს 150—220 მ. იგი თანდათანობით ეშვება აღმოსავლეთით ალაზნის ველის დახრილობის შესაბამისად 100—120 მ სიმაღლემდე (ბაკურციხესთან).

ხაზარულის წინა მოძრაობების შედეგად ძირითადად ყალიბდება ცივ გომბორისა და წითელწყარო-დაშიუზ-მირვანის ქედები.

ახალი აზვეების შედეგად იცვლება ჰიდროგრაფიული ქსელი. წითელწყარო-დაშიუზის ანტიკლინური სერი გრძელდება აღმოსავლეთით და კეტავს ალაზან-აგრი-ჩაის დებრესიის გასავალს აღმოსავლეთ აზერბაიჯანის დებრესიისაკენ, ხოლო ალაზან-აგრი-ჩაის ცენტრალურ ნაწილში ძლიერდება დაძირვა, რის გამოც იქმნება ჩაკეტილი აუზი და აგრი-ჩაის მდინარე იწყებს დინებას დასავლეთისაკენ. ალაზნისა და აგრი ჩაის შუა წელში ჩნდება ვრცელი ტბა. ამის დამამტკიცებელია ტბიური ნალექების არსებობა მულანლოს, ალიაბადის, ყარაღაჩის, გავაზისა და შაქრიანის მიდამოებში საკმაოდ დიდ (60—80 მ) სიღრმეზე. ალაზნის დებრესიაში ტბის დონის ევსტატიური რყევით, რასაც უკავშირდებოდა ადგილობრივი ბაზისის აწევა, უნდა აიხსნას მდ.მდ. სტორის, ლოპოტას, ინწობასა და სხვათა ქვემო და შუა წელში დიდი სისქის მქონე დაგროვებითი ტერასების წარმოქმნა. ხაზარულის წინა მოძრაობამ გამოიწვია კავკასიონის ახალი აზვეება, რასაც უნდა მოჰყოლოდა ხაზარული („რისული“) გაყინვარება.

გაყინვარებასთან ერთად იცვლება ჰავაც. შედარებით ცივი და ტენიანი ჰავა ხელს უწყობს ალაზნის დებრესიისა და გარე კახეთის ზეგანზე ატმოსფერულ ნალექთა სიუხვეს. ტექტონიკურ დებრესიებში წარმოიქმნა მდინარეები, რომლებიც გაედინებოდნენ, მაგალითად, პატარა და დიდი შირაქის დებრესიულ ტაფობებში. ალუვიური ნალექები კარგად არის განმოსახული შირაქის შურფების ჭრილში; გარდა ამისა, ძველი ტერასული საფეხურები შერჩენილია ამჟამად სრულიად მშრალ ველზე, დიდი შირაქის ველიდან ჯეირან-ველისაკენ (ზილჩა) გასასვლელ ვიწრო „დერფთანში“. ასეთივე მდინარეები, შესაძლებელია, ბაქოურისწინა აზვეების დროიდან ჩასახული იყო წითელწყარო-დაშიუზის სერის სამხრეთ კალთაზე, ზილჩას მთის აღმოსავლეთით, ახლანდელი ალაზნის მერიდიანული ხეობის ადგილზე. აღნიშნული ქედის ახალ აზვეებასთან დაკავშირებით, რასაც თან სდევდა ელდარ-აჯინაურისა და მტკვრის დებრესიის დაძირვა, უნდა გაძლიერებულიყო ალაზან-აგრი-ჩაისა და იორ-მტკვრის დებრესიათა შორის არსებული წყალგამყოფი ქედის კალთებზე მდინარეთა ეროზიული მოქმედება და მათი უკუსვლითი განვითარება.

შირაქისა და აქჩაილ-აფშერონის სუსტად შემტკიცებულ თიხებს, ქვიშებსა და კონგლომერატებში ადვილად წარმოება ჩახრამვა და უკუსვლითი ეროზია, რის შედეგადაც ხაზარულის დასასრულისათვის ზილჩა-კოსმატკის სამხრეთ კალთაზე არსებული მდინარეები უკვე ასწრებენ ქედის გადაკვეთას და ალაზან-აგრი-ჩაის შეგუბებული ტბის მოტაცებას სამხრეთით. ტბის თანდათან გადაშეების შედეგად განთავისუფლებულ ადგილებში ვითარდება ჰაობე-

ბი და ტორფნარები (შაქრიანი, გავაზი, ყვარელი). შემდგომ ტბიური ნალექები იფარება ალაზნის ალუვიური და მისი შენაკადების ალუვიურ-პროლუვიური ნალექებით.

შემდგომი, ხვალინურისწინა მოძრაობის დროს გრძელდება ცივ-გომბორის ქედის აზევება და ალაზნის ველის დაძირვა. პირველთან დაკავშირებულია ქედის ჩრდილო ფერდობის სტრუქტურული ზედაპირებისა და ტერასების აზევება და დახრა 3—5 გრადუსით ალაზნის ველისაკენ, ხოლო ალაზნის დებრესიის არეში დაძირვასთან ერთად ძლიერდება აკუმულაციის პროცესები.

ამრიგად, ალაზნის ველის მეოთხეული ნალექებისა და მორფოლოგიის შესწავლას მივყავართ დასკვნამდე, რომ ალაზნის მარჯვენა ნაპირზე ყველა ძველი ტერასა კი არ დაძირულა უფრო ახალგაზრდა ნალექების ქვეშ, როგორც ამაზე მიუთითებს ზოგიერთი მკვლევარი, არამედ ცივ-გომბორის ქედის თანდათანობით აზევებასთან ერთად მის კალთებზე გამომუშავებული ძველი ტერასები ატანილ იქნა მაღლა, ხოლო ტექტონიკური ბელტის არეში არსებული ძველი ტერასები დიდიხრა და დაიფარა შედარებით ახალგაზრდა ალუვიური ნალექებით. აზევებას უნდა მოჰყოლოდა უკანასკნელი მძლავრი ხვალინური („ვურმული“) გაყინვარება, რომლის ნიშნები კარგად არის შემონახული კავკასიონზე.

ალაზნის დებრესიის დაძირვასთან ერთად დაძირვას დღესაც განიცდის მისი მარცხენა შენაკადების ტერასებიც. ამაზე მივვითითებ 25—30 მეტრზე მეტი სისქის ახალგაზრდა ნალექების განვითარება ისტორიულ პერიოდში. ხის ნახშირი, დამწვარი თიხები, კვამიკის ნაშთები და ფაუნა (*Bos taurus dom. sus scorfa* და სხვა) ნახულია 20—30 მ სიღრმეზე.

ამრიგად, საკუთრივ ალაზნის ალუვიური ნალექები, შაქრიანის ქვემოთ, მხოლოდ ზედა მეოთხეულში იწყებს განვითარებას; მისი I და II ტერასა, წარმოდგენილი ვაკის სახით, სრულიად ახალგაზრდაა და მოიცავს ანთროპოგენური ეპოქის უკანასკნელ ხანას („ვურმსა“ და ჰოლოცენს).

საქართველოს სსრ მეცნიერებათა აკადემია
ვახუშტის სახ. გეოგრაფიის ინსტიტუტი
თბილისი

(რედაქციის მოუვიდა 18.3.1953)

დამოწმებული ლიტერატურა

1. В. В. Богачев. Материалы к истории тектонического развития Закавказской низменности. Азерб. нефт. х-во, 1927.
2. Л. А. Варданянц. Постплиоценовая история Кавказско-Черноморско-Каспийской области. Изд. АН Арм. ССР, 1948.
3. Н. В. Вассоевич. Некоторые результаты исследований в Горной Кахетии (1928—1933). Изд. Грузнефти, 1933.
4. А. И. Джанелидзе. К вопросу о геологическом строении Кахетинского хребта и Алазанской долины. Сообщ. АН ГССР, № 8, 1950.



პალეობოტანიკა

ფ. მამდლიშვილი

დასავლეთ საქართველოს პონტურ ნალექებში PINUS PITHYUSA STANDW. გირჩის პომენის შესახებ

(წარმოადგინა აკადემიის ნამდვილმა წევრმა ლ. დავითაშვილმა 14.1.1953)

1953 წლის ზაფხულში დასავლეთ საქართველოში (გუდაუთის რაიონში) საველე მუშაობის დროს ჩვენ დავაგროვეთ მდიდარი ნამარხი ფლორა პონტური ნალექებიდან, რომელთა შორის განსაკუთრებით საინტერესო აღმოჩნდა *Pinus pithyusa* Standw.-ის, ე. ი. თანამედროვე ბიკვინთის ფიჭვის გირჩი (ნახ. 1 და 2).

ამ მიდამოების პონტური ნალექებიდან ნამარხი ბიკვინთის ფიჭვის ნაშთები უკვე ცნობილი იყო ცუდად დაცული გირჩის ნატეხის სახით [1]. ჩვენი ნიმუში ამ მხრივ სრულია და დაცულობის მხრივაც საუცხოოდ შეიძლება ჩაითვალოს (ნახ. 1 და 2).

გირჩი ნაპოვნია ზედაპონტური თიხების ძირითად ქანში. მეტად საინტერესოა ის გარემოება, რომ იმავე პორიზონტში ფიჭვის გირჩთან ერთად ნაპოვნია აგრეთვე *Ginkgo biloba* L.-ის ნაშთები ფოთლის უკუაღნაბეჭდების სახით.

შუაპონტურ დროში გინკგოს და ბიკვინთის ფიჭვის თანაარსებობის ფაქტი დიდ ინტერესს იწვევს. როგორც ცნობილია, გინკგო კავკასიაში სავსებით გადაშენებულია, ხოლო ბიკვინთის ფიჭვი გადაშენების გზაზეა, იგი რელიქტური ფორმაა.

პალეობოტანიკური მონაცემები ნათლად ამტკიცებს, რომ *Banksia*-ს სექციის ფიჭვები, რომელთა რიცხვშიც ბიკვინთისა (*Pinus pithyusa* Strandw.) და ელდარისა (*Pinus eldarica* Medw.) შედიან, *Pinus*-ის უძველეს ჯგუფს წარმოადგენენ ამიერკავკასიაში.

Banksia-ს სექციის უძველეს წარმომადგენლად ამიერკავკასიაში მიჩნეულია ბიკვინთის ფიჭვის უახლოესი წინაპარი *Pinus praepithyusa* Palib., რომლის გირჩი აღწერილი იყო ი. პალიბინის მიერ დასავლეთ საქართველოს კიათურის რაიონის სოფ. ზედა რვანის მიდამოებიდან ა. ბეტეხტინის მიერ შეგროვილი ოლიგოცენური (სპონგოლიტური) მასალის მიხედვით [2].

ზემოხსენებული ფიჭვის ახლობელი მეორე სახე *Pinus maicopiae* Palib. აღწერილი იყო აგრეთვე ი. პალიბინის მიერ ქალაქ თბილისის მიდამოების (მდინარე მტკვრის მარჯვენა ნაპირი სად. სოღანლულის მახლობლად) ოლიგოცენური ნალექებიდან (ქვედამაიკოპურის შუა პორიზონტი), ე. პახომოვის მასალებიდან.



ამგვარად, ზემოთქმულიდან აშკარად გამოდინარეობს, რომ უკვე ოლიგოცენში როგორც დასავლეთ, ისე აღმოსავლეთ ამიერკავკასიაში იზრდებოდა *Banksia*-ს სექციის ფიჭვები—ბიჭვინთის ფიჭვის—*Pinus praepithyusa* Palib. და *Pinus maicopiae* Palib.-ის უახლოესი წინაპრები.

მაგრამ უნდა ითქვას, რომ იმ დროს ფიჭვის ტყეების შემადგენლობაში, როგორც ჩანს, გვარ *Ginkgo*-ს ფორმები არ შედიოდა. კ. შაპორენკო გარკვეულად აღნიშნავს, რომ ოლიგოცენში კავკასიაში გინეგო არ არსებობდა და ამას ხსნის როგორც ნაშთების უქონლობით, ისე ოლიგოცენის დროის კავკასიის საერთო პალეოგეოგრაფიული პირობებითაც [4].

გადავდივართ რა *Banksia*-ს სექციის უფრო ახალგაზრდა ფორმებზე, საჭიროა აღინიშნოს, რომ მიოცენური ფიჭვების ნაშთები ამიერკავკასიაში ჯერ კიდევ უცნობია და უკანასკნელთა გირჩების ნაშთები განსაზღვრულია მხოლოდ ჩრდილო-დასავლეთ კავკასიის ან ქერჩის ნახევარკუნძულის შუასარმატული ნალექებიდან. მაგრამ ჩვენ მიერ ნ. მკედლიშვილთან და თ. ჭინჭარაძესთან ერთად⁽¹⁾ უკანასკნელ წლებში წარმოებული მიოცენური ნალექების სპორებისა და მტვრის ანალიზები გვიჩვენებს კავკასიაში *Pinus*-ის ჭეგვარის—*Diploxylon*-ის მტვრის მარცვლების ამა თუ იმ რაოდენობით არსებობას, რომელსაც *Banksia*-ს სექციის ფიჭვებიც მიეკუთვნება. მაშასადამე, *Banksia*-ს სექციის ფიჭვების მიკროსკოპული ნაშთების აღმოჩენლობა ამიერკავკასიის მიოცენურ ნალექებში მხოლოდ გეოლოგიური მატიაწეს უსრულობის შედეგია.

ჩრდილო-დასავლეთ კავკასიის მაიკოპის რაიონის სადგურ ხადიენსკის მახლობლად ნაპოვნი გირჩი ი. პალიბინის მიერ განსაზღვრულია როგორც *Pinus pithyusa* Strandw.-ის მსგავსი გირჩი. ეს გირჩი, რომელსაც მან *Pinus vassoewiczii* Palib. უწოდა, ნაპოვნი იყო შუასარმატულ ნალექებში მურა წყალმცენარე—*Cistoseira*-სა და ქაფურის ხე—*Cinnamomum laneolatum* Ung.-თან ერთად [1, 2, 3].

ზღვის აუზების სუბლიტორალურ ზონაში მურა წყალმცენარე—*Cistoseira*-ს არსებობა (იგი ამჟამად ხმელთაშუა ზღვაში და შავი ზღვის სამხრეთ ნაწილში მოიპოება) ნათლად გვიჩვენებს, რომ *Pinus vassoewiczii* Palib. იყო ზღვის სანაპირო ზოლის ფიჭვი, რომელიც საქმარისად თბილ, სუბტროპიკულ ჰავის პირობებში ხარობდა.

შუასარმატული მეორე ნამარხი სახე *Pinus sarmatica* Palib. აღწერილი იყო ი. პალიბინის მიერ ქერჩის ნახევარკუნძულის კონცხ ხრონიადან, ნ. ანდრუსოვის მასალებიდან [1].

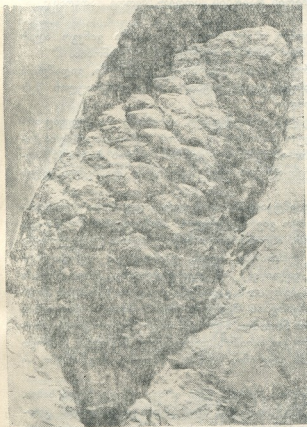
როგორც ფიჭვის ზემოთ აღნიშნული სარმატული სახე, ისე *Pinus sarmatica* Palib.-იც ზღვის სანაპირო ზოლის მცენარე ყოფილა, ვინაიდან მისი გირჩი ნაპოვნია შუასარმატული გამტკნარებული წყლის მოლუსკებთან ერთად; მასთან ერთად ნაპოვნია *Carpinus grandis* Ung.-ის ფოთლის აღნაბეჭდი. ეს

(¹ სპორებისა და მტვრის ანალიზების შედეგები აქ დაწვრილებით არ არის მოყვანილი, ვინაიდან ეს სამუშაოები წარმოებს არა სისტემატურად, არამედ პირადი ინიციატივის მიზეზით, სპორადულად, ვინაიდან საქართველოში არ არსებობს სპორებისა და მტვრის ანალიზის ლაბორატორია.

უკანასკნელი იმაზე მიუთითებს, რომ *Pinus sarmatica* Palib. უფრო ზომიერი ჰავის პირობებში არსებობდა, ვიდრე *Pinus vassoewiczii* Palib.

ნ. კუზნეცოვი და მრავალი სხვა ავტორი *Pinus sarmatica* Palib.-ს თვლიან თანამედროვე ბიკეინთის ფიჭვის წინაპრად.

ყოველ შემთხვევაში აქ მოყვანილი ორივე სარმატული ფიჭვი, ერთი მხრივ, უსათუოდ ჰგვანან თავიანთ პალეოგენურ წინაპრებს, ხოლო, მეორე მხრივ, ისინი ახლობელნი არიან თანამედროვე ფიჭვის—*Pinus pithyusa* Strandw. და *Pinus stankeviczii* Fom., რომლებიც არსებობენ ყირიმში, სანაპირო ზოლ-



ნახ. 1



ნახ. 2

ში კონცხ—აია-სა და ბატი-ლიმანთან (ბიკეინთისა და ყირიმის ფიჭვებს შორის განსხვავება უმნიშვნელოა).

როგორც ჩანს, ზედა მიოცენში სარმატულ საუკუნეში დაიწყო ჩამოყალიბება ფიჭვისა და გინკგოს თანასაზოგადოებამ, ვინაიდან გინკგო-ს ნაშთები ნაპოვნია როგორც ჩრდილო-კავკასიის, ისე ამიერკავკასიის (დასავლეთ საქართველოს სამხრეთი ნაწილის—გურჩის) სარმატულ ნალექებში [4].



გინკგო ტიპური არქტიკულ-მესამეული ფორმაა. ის კავკასიაში, ეპეს-გარეშე, ჩრდილოეთიდან, რუსეთის პლატფორმიდან შემოვიდა და, როგორც ჩანს, სარმატულ ტრანსგესიამდე შუა- და, შესაძლოა, ქვედამიოცენურ დროში. ყოველ შემთხვევაში, გინკგოს პოვნა გურიის შუასარმატულ ნალექებში აშკარად მიუთითებს იმის შესახებ, რომ დასავლეთ საქართველოს ჩრდილო ნაწილში, აფხაზეთში და, მით უმეტეს, ჩრდილოეთ კავკასიაში, გინკგო კიდევ უფრო ადრე გაჩენილა.

შუაპონტურის მოგვიანებით გინკგო გვხვდება აგრეთვე კავკასიაში; გინკგოს ნაშთები ცნობილია ოჩამჩირის რაიონის სოფელ მეორე ათარას¹ კიმერიული ნალექებიდან [5].

კავკასიის პლიოცენის უფრო ახალგაზრდა ნალექებში გინკგო აღარ გვხვდება. ყოველ შემთხვევაში მისი ნაშთები ჯერჯერობით უცნობია.

ადვილი შესაძლებელია, რომ გინკგო კავკასიაში სრულიად გადაშენდა ჰაეის საერთო მძაფრ გაცივებასთან დაკავშირებით, რაც კიმერიულის შემდეგ კუიანტიკურ საუკუნეში მოხდა.

რაც შეეხება ბიჟენთის ფიქვს, იმას შეეძლო არსებობა და კიდევაც არსებობდა გაუარესებულ კლიმატურ პირობებშიც. ამის დასამტკიცებელია ნალექებში—*Pinus pithyusa* Strandw.-ის ტიპური გირჩის ნაშთის პოვნა [6] აღმოსავლეთ საქართველოს სამხრეთ-აღმოსავლეთ განაპირას ლამბელის ქედის აქჩაგილურ ნალექებში.

ეს ფაქტი იმასაც ნათლად ამტკიცებს, რომ ჯერ კიდევ ზედა პლიოცენში ბიჟენთის ფიქვი ფართოდ იყო გავრცელებული ამიერკავკასიაში და იგი მოიცავდა როგორც აღმოსავლეთ, ისე დასავლეთ საქართველოს ტერიტორიას.

პლიოცენის დასასრულს მომხდარმა ზღვის უკანდახევამ აღმოსავლეთ ამიერკავკასიის ფარგლებიდან გამოიწვია ამ ტერიტორიაზე *Pinus pithyusa* Strandw.-ის გადაშენებაც. *Pinus pithyusa*-ს გადაშენება უფრო სწრაფად წავიდა მეოთხეულ პერიოდში გამყინვარების შედეგად ჰაეის მძაფრი გაცივების გამო, და ამიტომ, *Pinus pithyusa* Strandw. ჩვენ დრომდე შემორჩენილა მხოლოდ ბიჟენთის კონცხზე—დიდი კავკასიონის დასავლეთი ნაწილის სამხრეთ ფერდობზე, სადაც გამყინვარების გავლენა, ალბათ, იმდენად საგრძნობი არ ყოფილა ამ მცენარისათვის.

ელდარის ფიქვი—*Pinus eldarica* Medw., ექვი არაა, ახალგაზრდა სახეა, წარმოშობილი—*Pinus pithyusa* Strandw.-საგან პლიოცენის დასასრულს კლიმატის კონტინენტისაკისთან დაკავშირებით საერთოდ ფიზიკურ-გეოგრაფიულ პირობებში მომხდარ ცვლილებათა შედეგად, რასაც, ე. წ. ბაქოს საუკუნეში ჰქონდა ადგილი. მაშასადამე, ელდარის ფიქვი—*Pinus eldarica* Medw. წარმოადგენს მეოთხეულ სახეს, წარმოშობილს *Pinus pithyusa* Strandw.-საგან

¹ სოფელ მეორე ათარას ნამარხი ფლორა, მიუხედავად სარწმუნო პალეონტოლოგიური მონაცემებისა, ა. კოლაკოსკიმ უმართებულოდ მიაკუთვნა ქვედაპონტურს, თუ არაფერს ვიტყვით იმაზე, რომ პონტური ნალექები სოფ. მეორე ათარას რაიონში საერთოდ არ არსებობს და იქ კიმერიული ფლორის შემცველი ფენები უშუალოდ და ტრანსგრესიულადაა განლაგებული მეოტურზე.



ორი ფაქტორის—გამყინვარებისა და სტადიათაშორისეული პერიოდების ქსე-
 როთერმული პირობების ზეგავლენით. უკანასკნელი მოსაზრების სასარგებლოდ
 მეტყველებს ის ფაქტიც, რომ *Pinus eldarica* Medw. ამჟამად ხარობს რა
 მშრალი კონტინენტური კლიმატის პირობებში, იგი საკმაოდ ხანგრძლივ და-
 ბალ ტემპერატურებს უძლებს და უფრო სიცივეგამძლეა, ვიდრე *Pinus pithyusa*
Strandw. *Pinus eldarica*-ს გადაშენება და მისი არეალის შემცირება, როგორც
 ჩანს, ბევრ რამეში ადამიანის გავლენით არის განპირობებული, ვინაიდან ჯერ
 კიდევ XII საუკუნეში იგი იზრდებოდა და ხარობდა ძველი განჯის—ახლან-
 დელ კიროვბადის—რაიონში [7]¹.

საქართველოს სსრ მეცნიერებათა აკადემია
 პალეობიოლოგიის სექტორი
 თბილისი

(რედაქციას მოუვიდა 14.1.1954)

დამოწმებული ლიტერატურა

1. И. В. Палибин. Ископаемые третичные сосны Западного Закавказья, Сб. пос-
 вях. памяти акад. А. В. Фомина, Издание АН УССР, 1938.
2. И. В. Палибин. Новые хвойные из неогеновых отложений Урала и Кавказа.
 Изв. Бот. сада АН СССР, 1934.
3. И. В. Палибин. Этапы развития флоры прикаспийских стран со времени мело-
 вого периода. Изд. АН СССР, 1936.
4. К. К. Шапоренко. Ближайшие предки *Ginugo biloba* L. Тр. Бот. инст. АН СССР,
 1936.
5. А. А. Колаковский. Новая страница палеоботанической летописи для ниж-
 него понта Западной Грузии. ДАН СССР, т. XXII, № 1, 1952.
6. И. В. Полибин, Л. С. Петров и Т. С. Цирина. Растительные остатки из
 акчагыльских отложений Кила-Купровского нефтяного района южной Кахетии.
 Палеоб. сб., вып. I, Тр. НИГРИ, сер. А, вып. 29, 1934.
7. А. А. Яценко-Хмелевский и Г. В. Канделаки. Эльдарская сосна в ок-
 рестностях г. Ганджи в XII веке н. э., Сообщ. АН ГССР, т. II, № 1, 1941.

(¹ მაღლობას ეუცხადებ ა. ე ბ ე რ ზ ი ნ ს, აგრეთვე გ. კ ვ ა ლ ი ა შ ვ ი ლ ს ა და კ. ო ლ დ ი-
 შ ა რ ი ა ს, რომლებმაც მიმოითოეს პონტური მცენარეული ნაშთების ადგილსამყოფელზე.

ბ. სარქიანი

თაღის ძაბვის რეგულირება ღერძის გადაადგილებით

(წარმოდგინა აკადემიის ნამდვილმა წევრმა კ. ზავრიევა 27.5.1954)

უსახსრო თაღის რაციონალური ღერძი დრეკადი შეკუმშვის, ჯდენისა და ტემპერატურისაგან გამოწვეული დამატებითი ძაბვების შემცირებისა და გათანაბრებისათვის ხშირად მოითხოვს შესწორებას.

ღერძის შესწორება, ფ. კეგლერის [1], ს. ხოლოპოვის [2] და სხვების გამოკვლევებით, მიმართულია თაღის შეკუმშვით გამოწვეული დამატებითი გამბრჯენის სრული მოსპობისაკენ, ე. ი. კლიტესა და ქუსლში მომენტების ნულთან გათანაბრებისაკენ.

ეს შესწორებები, როგორც სამართლიანადაა აღნიშნული [3]-ში, არ შეიძლება მართებულად ჩაითვალოს, რადგან ისინი თაღის შუალედ კვეთებში იწვევენ მომენტებს იმავე სიდიდეებით და ხშირად მეტსაც, ვიდრე კლიტესა და ქუსლში, რომლებიც ასეთივე შესწორებებით იყენენ მოსპობილნი.

ვ. კისელევი [3] იძლევა წინადადებას დამატებითი გამბრჯენის არამთლიანად, არამედ ნაწილობრივ მოსპობის შესახებ, ისე, რომ კვეთებში $\xi=0,25$ და $\xi=1,0$ ძაბვები თანაბარი იყოს. ასეთ შემთხვევაში დამატებითი ძაბვების უფრო ეფექტური შემცირება და გათანაბრება მიიღება, ვიდრე კეგლერის ხერხით.

ამ შრომაში განხილულია ღერძის შესწორება უსახსრო თაღის შტრასნერ-ზავრიევის ხერხით გაანგარიშებისას, გამომდინარე ვ. კისელევის წინადადებიდან.

დამატებითი ძაბვების გათანაბრება თაღის კვეთებში მიღწეული იქნება მუდმივი დატვირთვისაგან აგებული წნევის მრუდის მიმართ თაღის ღერძის წერტილების გადაადგილებით გარკვეული ორდინატებით. სიმარტივისათვის η ცვლილება მიღებულია პარაბოლური კანონით [1] (ფიგ. 1).

უბნისათვის, როცა $\xi=0$, $\xi=\xi_0$ -მდე,

$$\eta = \frac{4\eta_1}{\xi_0^2} \xi (\xi_0 - \xi).$$

უბნისათვის

$$\xi = \xi_0, \xi = 1,0\text{-მდე} \quad (1)$$

$$\eta = \frac{4\eta_2}{(1 - \xi_0)^2} (1 - \xi) (\xi - \xi_0),$$

სადაც: η_1 თალის ღერძის მაქსიმალური გადაადგილებაა კვეთში ქვემოთ, როცა $\xi = 0,5 \xi_s$;

η_2 თალის ღერძის მაქსიმალური გადაადგილებაა კვეთში ზევით, როცა $\xi = \xi_s + 0,5 (1 - \xi_s)$;

ξ ფარდობითი აბსცისაა.

სიდიდე ξ_s განისაზღვრება პირობიდან (ფიგ. 1):

$$y'_{\xi_s} = y_s$$

გავითვალისწინებთ რა, რომ

$$y_s = \varphi \cdot f$$

და

$$y'_{\xi_s} = \frac{f}{m-1} (\operatorname{ch} k \xi_s - 1),$$

მივიღებთ:

$$\xi_s = \frac{\operatorname{arc} \operatorname{ch} [1 + \varphi \cdot (m-1)]}{\operatorname{arc} \operatorname{ch} m} \quad (2)$$

როცა $m=1$, გვაქვს:

$$\xi_s = \sqrt{\varphi}. \quad (3)$$

აქ φ კოეფიციენტია, დამოკიდებულია m და n პარამეტრებზე [4].

ξ_s რიცხვითი სიდიდეები ხშირად ხმაურებულ m და n მნიშვნელობებისათვის მოყვანილია 1 ცხრილში.

ხსენებული გადაადგილების შედეგად ღრეკად ცენტრში წარმოიქმნება გამბრჯენი, გამოწვეული ღრეკადი შეკუმშვით მუდმივი დატვირთვის შემთხვევაში, აგრეთვე მომენტი [5]:

$$\Delta H_1 = Hg \frac{\int \eta y \frac{ds}{J} - \int \frac{ds}{F}}{\int y^2 \frac{ds}{J}}$$

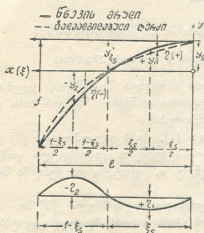
$$\Delta M_1 = -Hg \frac{\int \eta \frac{ds}{J}}{\int \frac{ds}{J}}$$

აქ Hg გამბრჯენია მუდმივი დატვირთვისაგან ღრეკადი შეკუმშვის გაუთვალისწინებლად.

საკმარისი სიზუსტით შეიძლება ჩავთვალოთ, რომ ღრეკადი ტვირთების სიდიდეები

$$\omega = \frac{ds}{J}$$

ღერძის შესწორების შემდეგ უცვლელი რჩება [1, 5].



ფიგ. 1

ცხრილი 1

მნიშვნელობანი ξ , α , β და β_1

	m	%								
		1,0	0,8	0,6	0,5	0,4	0,3	0,25	0,2	0,15
მნიშვნელობა	1,000	0,5774 1,1663 0,4287	0,5611 1,4298 0,4137	0,5401 1,5137 0,3910	0,5271 1,5654 0,3753	0,5117 1,6232 0,3560	0,4936 1,6898 0,3313	0,4830 1,7233 0,3164	0,4714 1,7586 0,2987	0,4584 1,7926 0,2790
მნიშვნელობა	1,347	0,5828 1,3969 0,4238	0,5664 1,4612 0,4086	0,5448 1,5433 0,3864	0,5321 1,5981 0,3716	0,5164 1,6555 0,3519	0,4980 1,7219 0,3269	0,4875 1,7583 0,3124	0,4757 1,7933 0,2953	0,4623 1,8255 0,2753
მნიშვნელობა	1,756	0,5855 1,4125 0,4205	0,5694 1,4797 0,4051	0,5483 1,5657 0,3826	0,5350 1,6173 0,3674	0,5106 1,6555 0,3479	0,5011 1,7449 0,3234	0,4905 1,7813 0,3079	0,4786 1,8162 0,2912	0,4652 1,8500 0,2718
მნიშვნელობა	2,240	0,5902 1,4402 0,4144	0,5739 1,5066 0,4000	0,5527 1,5940 0,3775	0,5395 1,6477 0,3620	0,5240 1,7090 0,3423	0,5054 1,7781 0,3186	0,4945 1,8128 0,3038	0,4823 1,8470 0,2869	0,4690 1,8822 0,2669
მნიშვნელობა	2,814	0,5945 1,4661 0,4101	0,5783 1,5341 0,3948	0,5574 1,6251 0,3722	0,5439 1,6781 0,3570	0,5283 1,7403 0,3378	0,5096 1,8102 0,3143	0,4986 1,8459 0,2992	0,4865 1,8818 0,2819	0,4728 1,9158 0,2633
მნიშვნელობა	3,500	0,5993 1,4956 0,4055	0,5830 1,5642 0,3905	0,5618 1,6555 0,3686	0,5486 1,7113 0,3530	0,5329 1,7750 0,3346	0,5141 1,8459 0,3093	0,5031 1,8828 0,2954	0,4908 1,9190 0,2780	0,4770 1,9513 0,2589
მნიშვნელობა	4,324	0,6041 2,5259 0,4002	0,5880 1,5968 0,3857	0,5668 1,6895 0,3641	0,5535 1,7462 0,3488	0,5377 1,8107 0,3302	0,5188 1,8838 0,3051	0,5076 1,9199 0,2910	0,4942 1,9484 0,2747	0,4813 1,9930 0,2539
მნიშვნელობა	5,321	0,6054 1,5342 0,3938	0,5894 1,6061 0,3789	0,5684 1,7158 0,3515	0,5552 1,7589 0,3416	0,5395 1,8243 0,3228	0,5205 1,8979 0,2988	0,5094 1,9356 0,2844	0,4969 1,9725 0,2680	0,4829 2,0073 0,2488
მნიშვნელობა	6,536	0,6141 1,5914 0,3974	0,5981 1,6655 0,3758	0,5770 1,7624 0,3538	0,5598 1,7928 0,3431	0,5479 1,8902 0,3196	0,5287 1,9655 0,2962	0,5174 2,0048 0,2814	0,5049 2,0449 0,2644	0,4905 2,0790 0,2452
მნიშვნელობა	8,031	0,6194 1,6274 0,3858	0,6035 1,7035 0,3708	0,5824 1,8026 0,3489	0,5691 1,8637 0,3340	0,5533 1,9344 0,3156	0,5340 2,0102 0,2915	0,5227 2,0525 0,2777	0,5099 2,0912 0,2602	0,4958 2,1309 0,2411
მნიშვნელობა	9,889	0,6293 1,6976 0,3823	0,6134 1,7758 0,3678	0,5923 1,8792 0,3467	0,5792 1,9450 0,3312	0,5630 2,0166 0,3133	0,5435 2,0967 0,2894	0,5320 2,1391 0,2748	0,5191 2,1796 0,2580	0,5044 2,2171 0,2386

მაგრამ აღნიშნული ტვირთების სიმძიმის ცენტრის უცვლელობისათვის დაცული უნდა იყოს პირობა:

$$\int (y + \eta) \frac{ds}{J} = \int y \frac{ds}{J} + \int \eta \frac{ds}{J} = 0$$

დრეკადი ტვირთების სიმძიმის ცენტრის მდებარეობა, თალის ღერძის წნევის მრუდით მოხაზულობისას, განისაზღვრებოდა პირობიდან:

$$\int y \frac{ds}{J} = 0,$$

მაშასადამე, ზემოთ მოყვანილ ტოლობაში:

$$\int \eta \frac{ds}{J} = 0 \quad (4)$$

და მასთან ერთად $\Delta M_1 = 0$.

ამიტომ ერთადერთი ზედმეტი უცნობია ძალა ΔH_1 .

წარმოვადგინოთ ძალა ΔH_1 შემდეგნაირად:

$$\Delta H_1 = Hg \frac{\int \eta y \frac{ds}{J}}{\int y^2 \frac{ds}{J}} - \Delta Hg,$$

სადაც: ΔHg გამბრჯენია, გამოწვეული დრეკადი შეკუმშვით მუდმივი ტვირთისაგან, თალის ღერძის თანხვეულობის შემთხვევაში წნევის მრუდთან.

ΔH_1 — ძალის ნულთან ვატოლების პირობა, დრეკადი ცენტრის მდებარეობის უცვლელობისას გვაძლევს:

$$\int \eta y \frac{ds}{J} = \frac{\Delta Hg}{Hg} \cdot \int y^2 \frac{ds}{J},$$

ე. ი. რათა მოსპობილ იქნეს კლიტესა და ქუსლში დამატებითი მომენტები, გამოწვეული დრეკადი შეკუმშვით მუდმივი ტვირთის შემთხვევაში, საჭიროა თალის ღერძის გადაადგილება ისე ვაწარმოოთ, რომ დრეკად ცენტრში წარმოიქმნას ΔHg ძალის ტოლი და მოპირდაპირე ძალა.

თუ ΔHg ძალის გარდა დრეკად ცენტრში მოდებულია ტემპერატურის ცვლილებისა და ბეტონის ჯდენისაგან გამოწვეული გამბრჯენები, მაშინ ცხადია, რომ

$$\int \eta y \frac{ds}{J} = \frac{\Delta H}{Hg} \cdot \int y^2 \frac{ds}{J}, \quad (5)$$

სადაც

$$\Delta H = \Delta Hg + \Delta H_t.$$

ΔH_t გამბრჯენია, ტემპერატურის ცვლილებისაგან და ბეტონის ჯდენისაგან გამოწვეული.

თანახმად (4) გვაქვს:

$$\int_0^{\xi_s} \eta \frac{ds}{J} = - \int_{\xi_s}^I \eta \frac{ds}{J}. \quad (6)$$

ვითვალისწინებთ რა [1] და რომ

$$\frac{ds}{J} = \frac{l}{J_s} [I - (I - n)\xi] d\xi,$$

მაშინ (6) ინტეგრირებისა და გარდაქმნის შედეგად მივიღებთ:

$$\eta_2 = -\alpha \eta_1 \quad (7)$$

სადაც

$$\alpha = \frac{2 \xi_s - (I - n) \xi_s^2}{2(I - \xi_s) - (I - n)(I - \xi_s^2)}. \quad (8)$$

α კოეფიციენტის რიცხვითი სიდიდეები m და n პარამეტრების ყველა მნიშვნელობისათვის მოყვანილია 1 ცხრილში.

(5) გამოსახულების მარცხენა, უცნობ ნაწილს განიხილავენ როგორც სიდიდეების

$$\eta_0 = \eta \frac{ds}{J}$$

ეპიურების ფართების სტატიკურ მომენტს x ლერძის მიმართ. ამასთან მაღალი რიგის სიზუსტით თვლიან, რომ

$$\int_0^I \eta y \frac{ds}{J} = y_1 \int_0^s \eta \frac{ds}{J} - y_2 \int_{\xi_s}^I \eta \frac{ds}{J},$$

ხოლო (6) თანახმად:

$$\int_0^I \eta y \frac{ds}{J} = (y_1 + y_2) \int_0^{\xi_s} \eta \frac{ds}{J}, \quad (9)$$

სადაც y_1 და y_2 აქვს მნიშვნელობანი (ფიგ. 1):

$$y_1 = y_s - y'_1, \quad y_2 = y'_2 - y_s,$$

ვინაიდან

$$y' = \frac{f}{m-1} (\operatorname{ch} k\xi - 1)$$

და

$$\int y^2 \frac{ds}{J} = \int y y_0 d\omega = \lambda \cdot \frac{l \cdot f^2}{J_s}.$$

მაშინ (9) ინტეგრირებისა და გარდაქმნის შემდეგ მივიღებთ (5)-დან:

$$\eta_1 = \frac{\Delta H}{H_g} \cdot \beta \cdot f, \quad (10)$$

სადაც

$$\beta = \frac{3 \cdot \lambda \cdot (m-1)}{[2 \xi_s - (I-n) \xi_s^2] [\operatorname{ch} 0,5 k(I + \xi_s) - \operatorname{ch} 0,5 k \xi_s]}. \quad (11)$$

λ კოეფიციენტის რიცხვითი მნიშვნელობანი მოყვანილია შრომაში [4]. როცა $m=1$, ფორმულაში (10) β ნაცვლად უნდა ჩაისვას β₁.

$$\beta_1 = \frac{12\lambda}{[(1 + \xi_s)^2 - \xi_s^2] [2\xi_s - (1 - n)\xi_s^2]} \quad (12)$$

β და β₁ კოეფიციენტების რიცხვითი სიდიდეები m და n პარამეტრების ყველა მნიშვნელობისათვის მოყვანილია 1 ცხრილში.

მაშასადამე, 1 ცხრილით და (7), (10) ფორმულებით ჩვენ გვაქვს შესაძლებლობა განვსაზღვროთ თაღის ღერძის მაქსიმალური გადაადგილება η₁ და η₂, შეკუმშვისაგან გამოწვეული დამატებითი გამბრჯენის სრული მოსპობის პირობით. დანარჩენი წერტილების გადაადგილება განისაზღვრება (1) მიხედვით.

დავსახოთ ვ. კისელევის პირობა—შევინარჩუნოთ ΔH გამბრჯენის რაღაც ნაწილი μ < 1.

მაშინ ცხადია, რომ

$$\eta_1 = \frac{\Delta H}{Hg} (1 - \mu) \cdot \beta \cdot f. \quad (13)$$

μ კოეფიციენტი შევიჩვენოთ ξ = 0,5 ξ_s და ξ = 1,0 კვეთებში დამატებითი ძაბვების ტოლობის პირობიდან და ლებულობს მნიშვნელობას [3]:

$$\mu = \frac{Hg \cdot \eta_1}{\Delta H (f - y_s) \frac{h_1^2}{h_2^2} - \Delta H (y_s - y'_1 - \eta_1)} \quad (14)$$

აქ h₂ და h₁ თაღის სისქეა ქუსლსა და ξ = 0,5 ξ_s კვეთში. μ მნიშვნელობის (13)-ში ჩასმა გვაძლევს კვადრატულ განტოლებას η₁ მიმართ.

მცირე ცდომილებით შეიძლება დავუშვათ [3]:

$$\eta_1 = \frac{\Delta H}{Hg} \beta \cdot f - \frac{\eta_1 \cdot f \cdot \beta}{(f - y_s) \frac{h_1^2}{h_2^2} - (y_s - y'_1)}$$

მაშინ საბოლოოდ გვექნება:

$$\eta_1 = \frac{\frac{\Delta H}{Hg} \cdot \beta \cdot f}{1 + \frac{\beta \cdot f}{(f - y_s) \frac{h_1^2}{h_2^2} - (y_s - y'_1)}} \quad (15)$$

ეს კი არის ვ. კისელევის ფორმულა ჩვენს შემთხვევასთან დაკავშირებით.

როცა $m=1$, (15)-ში β მაგიერ უნდა ჩავსვათ β₁.

მაშასადამე, (15) განსაზღვრავს ξ = 0,5 ξ_s კვეთში ღერძის გადაადგილებას, გამომდინარე ქუსლსა და განხილულ კვეთში დამატებითი ძაბვების ტოლობიდან. ამასთან η₁ და η₂ დაკავშირებულია (7) გამოსახულებით.

განვიხილოთ მაგალითი, მოყვანილი შრომაში [4].

თალის მონაცემები შემდეგია:

$$L = 31,60 \text{ მ.} \quad f = 7,75 \text{ მ.} \quad h_a = 1,0 \text{ მ.} \quad h_k = 1,38 \text{ მ.}$$

$$h_1 = 1,05 \text{ მ.} \quad h_2 = 1,24 \text{ მ.} \quad g_a = 6,56 \text{ ტ/მ.} \quad g_k = 19,20 \text{ ტ/მ.}$$

$$m = 2,81 \quad n = 0,6 \quad \gamma_a = 2,051 \text{ მ.} \quad \gamma'_1 = 0,485 \text{ მ.}$$

$$\gamma'_2 = 4,212 \text{ მ.}$$

თალის ანგარიში საკუთარ ტვირთზე გვაძლევს გამბრჯენს $Hg = 133,60$ ტ. და დამატებით გამბრჯენს დრეკადი შეკუმშვისაგან $\Delta Hg = -3,10$ ტ, რის შედეგადაც:

$$M_a = 6,35 \text{ ტ. მ.} \quad M_k = -17,60 \text{ ტ. მ.}$$

თალის კვეთების ზემო და ქვემო ბოჭკოების ჯამური ძაბვების განსხვავების ეპიურა, განსაზღვრული აღნიშნული მონაცემებით, მოყვანილია 2 (ა) ფიგურაზე.

გამოვდივართ რა დრეკადი შეკუმშვით გამოწვეული გამბრჯენის სრული მოსპობიდან, ანგარიში გვაძლევს შემდეგ შედეგებს.

(10), (7) ძალით გვცქვს:

$$\eta_1 = \frac{3,10 \cdot 7,75 \cdot 0,3722}{133,60} = 0,0669 \text{ მ.}$$

$$\eta_2 = -1,6251 \cdot 0,0669 = -0,1087 \text{ მ.}$$

მომენტები კვეთებში $\xi = 0,5 \xi_a$ და $\xi = 0,5 (1 + \xi_a)$

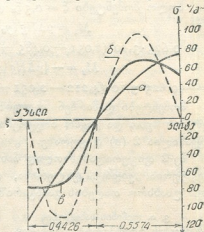
$$M_1 = Hg \cdot \eta_1 = 133,60 \cdot 0,0669 = 8,94 \text{ ტ. მ.}$$

$$M_2 = -Hg \cdot \eta_2 = -133,60 \cdot 0,1087 = -14,52 \text{ ტ. მ.}$$

დანარჩენ კვეთებში მომენტები ასევე შეიძლება გამოითვალოს (1)-ის თანახმად. ჯამური ძაბვების განსხვავების ეპიურა ამ შემთხვევისათვის მოყვანილია 2 (ბ) ფიგურაზე.

დრეკადი შეკუმშვით გამოწვეული გამბრჯენის ნაწილობრივი მოსპობის პირობა იძლევა:

$$\eta_1 = \frac{\frac{3,10}{133,60} \cdot 7,75 \cdot 0,3722}{1 + \frac{7,75 \cdot 0,3722}{(7,75 - 2,051) \frac{1,05^2}{1,38^2} - (2,051 - 0,485)}} = \frac{0,0669}{2,6643} = 0,0251 \text{ მ.}$$



ფიგ. 2

(13)-დან მივიღებთ:

$$\mu = 1 - \frac{Hg \cdot \eta_1}{\Delta Hg \cdot \beta \cdot f} = 1 - \frac{133,60 \cdot 0,0251}{3,10 \cdot 0,3722 \cdot 7,75} = 0,625.$$

(7) მიხედვით:

$$\eta_2 = -1,6251 \cdot 0,0251 = -0,0408 \text{ მ.}$$

კლიტესა და ქუსლში მომენტები მიიღებს მნიშვნელობებს:

$$M_s = \mu \Delta Hg \cdot y_s = 0,625 \cdot 3,10 \cdot 2,051 = 3,97 \text{ ტ. მ.}$$

$$M_k = -\mu \Delta Hg (f - y_s) = -0,625 \cdot 3,10 \cdot (7,75 - 2,051) = -11,04 \text{ ტ. მ.}$$

ხოლო მომენტები $\xi = 0,5 \xi_s$ და $\xi = 0,5 (1 + \xi_s)$ კვეთებში:

$$M_1 = \mu \Delta Hg (y_s - y'_1 - \eta_1) + Hg \cdot \eta_1 =$$

$$= 0,625 \cdot 3,10 \cdot (2,051 - 0,485 - 0,0251) + 133,6 \cdot 0,0251 = 6,33 \text{ ტ. მ.}$$

$$M_2 = -[\mu \Delta Hg (y'_2 - y_s - \eta_2) + Hg \cdot \eta_2] =$$

$$= -[0,625 \cdot 3,10 \cdot (4,212 - 2,051 - 0,0408) + 133,6 \cdot 0,0408] = -9,56 \text{ ტ. მ.}$$

მომენტები დანარჩენ კვეთებში შეიძლება ასევე გამოითვალოს, თალის კვეთების ზემო და ქვემო ბოკკოების ჯამური ძაბვების განსხვავების ეპიურა მოყვანილია 2 (B) ფიგურაზე.

მე-2 ფიგურიდან ნათლად ჩანს, რომ ვ. კისელევის წინადადება უფრო ეფექტურია, ვიდრე კეგლერისა, და წარმატებით შეიძლება გამოყენებულ იქნეს უსახსრო თალების გაანგარიშებისას შტრასნერ-ზავერიევის მეთოდით.

ვ. ი. ლენინის სახელობის
 რკინიგზის ტრანსპორტის ინჟინერთა
 თბილისის ინსტიტუტი

(რედაქციას მოუვიდა 24.5.1954)

დამოწმებული ლიტერატურა

1. Ф. Кеглер. Таблицы для расчета сводов. ГНТН, М.-Л., 1931.
2. С. А. Холопов. Новый прием исправления оси бесшарнирной арки. Труды Хабаровского института инженеров железнодорожного транспорта. Выпуск 3, М., 1951.
3. В. А. Киселев. Рациональные формы арок и подвесных систем. М., 1953.
4. К. С. Завриев. Сопротивление сооружений. Изд. „Техника да Шрома“. Тбилиси, 1939.
5. Н. И. Поливанов. Железобетонные мосты. М.-Л., 1947.

3. ზიზინაძე

არაწრფივი უკუკავშირის რეგულაციის სისტემების შესახებ

(წარმოადგინა აკადემიის წევრ-კორესპონდენტმა გ. გედევანიშვილმა 7.1.1954)

ავტომატური რეგულაციისა და მართვის სისტემების დინამიკური თვისებების გასაუმჯობესებლად ხშირად არაწრფივ უკუკავშირს იყენებენ წაკვეთით. ეს სისტემა ჩვეულებრივისაგან იმით განსხვავდება, რომ გარდამავალი პროცესის დასაწყისში, გარკვეულ მომენტამდე, $0 < t < t_3$ სისტემა განრთულია და როცა $t = t_3$, იგი შეერთდება ამგვარად, გვაქვს პროცესის ორი არე, რომლებიც სხვადასხვა განტოლებებითაა აღწერილი [3, 4, 5, 6, 7].

წინამდებარე შრომაში განხილულია სისტემები წრფივი წაკვეთით, როცა უკუკავშირის წრედში გვაქვს რგოლი წრფივი დახასიათებით. რამდენადაც მათი აღწერა, როგორც შერთვამდე, ისე შერთვის შემდეგ, წრფივი დიფერენციალური განტოლებებით ხდება, ამიტომ ასეთ სისტემებს შემდგომ უბან-უბან წრფივ სისტემებს ვუწოდებთ.

უბან-უბან წრფივი სისტემები

როგორც აღნიშნული იყო, უბან-უბან წრფივი სისტემების განტოლებანი, როგორც შერთვამდე, ისე შერთვის შემდეგ, წრფივია. ასეთი სისტემები გვხვდება მაგალითად, ძრავი-გენერატორის თანადროულ სისტემებში, რა თქმა უნდა, თუ დახასიათება ცალკეული რგოლებისა ისე იქნება განხილული, როგორც წრფივი.

ასეთ სისტემებში გამოსასვლელი სიდიდე x შედარებულია საკომანდრო x_k სიდიდესთან და სხვაობა $x - x_k$ მოყვანილია რგოლზე ნახაზზე აღნიშნული ნიშნაკით (ნახ. 1), რაც ისეთ მოწყობილობას ნიშნავს, რომლის საშუალებითაც $x < x_k$ სისტემა განრთულია, ხოლო შეერთდება როცა $x = x_k$ და ამის შემდეგ შერთულ წრფივ სისტემასთან გვექნება საკმე.

დავუშვათ, რომ ტოლობა

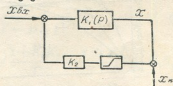
$$x = x_k$$

მიღწეულია, როცა $t = t_3$. მაშინ პროცესები შემდეგი განტოლებებით იქნება აღწერილი:

$$\dot{x} = \dot{x}_{BX} K_1(P), \quad (1)$$

როცა $0 < t < t_3$,

და



ნახ. 1

$$[1 + K_2(P) K_1(P)] \dot{x} = [\dot{x}_{BX} + \dot{x}_k K_2(P)] K_1(P) + G_1(P) x(t_3) + G_2(P) \dot{x}(t_3) + \dots + G_n(P) x^{(n-1)}(t_3), \quad (2)$$

როცა $t_3 < t < \infty$,

სადაც (t_3) და $G_1(P)$ x ფუნქციის საწყისი მნიშვნელობა და მისი წარმოებულებია, რომელთა განსაზღვრა (1) განტოლების საშუალებით ხდება $t = t_3$ მომენტისათვის. ამპლიტუდით $x(t_3) = x_k$.

გადავწეროთ განტოლება [2]

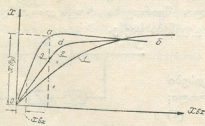
$$\ddot{x} = \frac{K_1(P)}{1 + K_2(P)K_1(P)} \ddot{x}_{\text{max}} + \frac{K_1(P)K_2(P)}{1 + K_2(P)K_1(P)} \ddot{x}_k + \frac{\sum_{\psi=1}^n G_{\psi}(P) x(t_3)^{(\psi-n)}}{1 + K_2(P)K_1(P)}, \quad (3)$$

როცა $t_3 < t < \infty$,

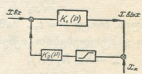
უკანასკნელ განტოლებაში მამრავლი x_k -თან ჩვეულებრივი შერთული სისტემის გადამცემი ფუნქციაა. უკანასკნელი წევრი გამოწვეულია საწყისი პირობებით და x -ის დამყარებულ მნიშვნელობაზე გავლენას არ ახდენს. განტოლების მეორე წევრი (3) განპირობებულია წაკვეთის x_k სიდიდით. როცა $x_k = 0$ -ს, ვღებულობთ წრფივ შერთულ სისტემას. შერთვის მომენტი x_k -ის ამპლიტუდურ მნიშვნელობაზე დამოკიდებული, ამავე დროს, x_k გავლენას ახდენს როგორც გარდამავალ პროცესზე, ისე x -ის დამყარებულ მნიშვნელობაზე.

მრავალ საპროგრამო რეგულატორში [5] გაშვების დროს შესასვლელი ზეგავლენა x_{max} წარმოადგენს მუდმივი ამპლიტუდის ერთეულ ნახტომს. ამავე დროს x -ის სხვადასხვა დამყარებული მნიშვნელობის მიღება ხდება x_k -ის შეცვლით. ასეთი სისტემების უპირატესობა ისაა, რომ გარდამავალი პროცესები ერთისა და იმავე საწყისი აჩქარების დროს ხორციელდება, რაც განსაკუთრებით მნიშვნელოვანია, მაგალითად, ბლუმინგის ამძრავისათვის.

კონსტრუქციულად უუქვავშირი წაკვეთით არაწრფივი ხასიათის რგოლების საშუალებით ხორციელდება. მაგალითად, თანადროულ საგლინავ დგარებში ასეთ რგოლად ხშირად გამოყენებულია ელექტრომანქანური გამაძლიერებელი, სპეციალური მარეგულირებელი გამაძლიერებელი (რეგულექსი), ანუ



ნახ. 2



ნახ. 3

მაგნიტური გამაძლიერებელი [5]. ნახ. 2-ზე ნაჩვენებია ამ რგოლებისათვის დამახასიათებლის მიახლოებითი სახე. ეს დახასიათებანი აღნიშნულია სათანადოდ 1, 2 და 3.

უბან-უბან წრფივი სისტემების შერთვის მომენტის ცვლა-
განვიხილოთ პირველი რიგის უბან-უბან წრფივი სისტემა (ნახ. 3).
ასეთი სისტემის განტოლება იქნება

$$(TP + 1)\dot{x} = K_1 \bar{x}_{\text{BX}}, \quad (4)$$

როცა
და

$$(TP + 1 + K_1 K_2)\dot{x} = K_1 \bar{x}_{\text{BX}} + K_1 K_2 \bar{x}_k + x(t_3) \quad (5)$$

როცა

$$t_3 < t < \infty.$$

მე-(4) განტოლების გადაწყვეტა ვაძლევს

$$x = K x_{\text{BX}} (1 - e^{-\frac{t}{T}}) \quad (6)$$

$$\dot{x} = \frac{K x_{\text{BX}}}{T} e^{-\frac{t}{T}} \quad (7)$$

განტოლება ფაზური სიბრტყისათვის

$$\dot{x} = -\frac{1}{T} x + \frac{K}{T} x_{\text{BX}} \quad (8)$$

შესაბამისი ფაზური ტრაექტორია მოყვანილია მე-4 ნახაზზე.

მე-(5) განტოლების გადაწყვეტა მოგ-
ვიცემს

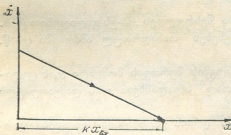
$$x = \frac{K_1}{1 + K_1 K_2} (x_{\text{BX}} + K_2 x_k) \quad (9)$$

$$\times (1 - e^{-\frac{1+K_1 K_2}{T} t_3}) + \frac{x(t_3)}{T} e^{-\frac{1+K_1 K_2}{T} t_3}$$

შესაბამისად

$$\dot{x} = \frac{K_1}{T} (x_{\text{BX}} + K_2 x_k) e^{-\frac{1+K_1 K_2}{T} t_3} -$$

$$-\frac{x(t_3)}{T^2} (1 + K_1 K_2) e^{-\frac{1+K_1 K_2}{T} t_3} \quad (10)$$



ნახ. 4

სადაც $t_3 = t + t_3$.

განტოლება ფაზური სიბრტყისათვის

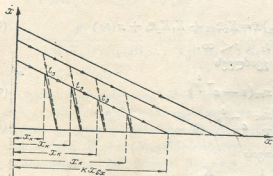
$$\dot{x} = -\frac{BT}{AT - x(t_3)} x + \frac{ABT}{AT - x(t_3)}, \quad (11)$$

სადაც $A = \frac{K_1}{1 + K_1 K_2} (x_{\text{BX}} + K_2 x_k)$ $B = A \frac{1 + K_1 K_2}{T} + \frac{x(t_3)}{T} (1 + K_1 K_2)$

პრაქტიკულად ყოველთვის $A > \frac{x(t_3)}{T}$.

შესაბამისი ფაზური ტრაექტორიები სხვადასხვა x_k -თვის მოყვანილია მე-5 ნახაზზე.

ტრაექტორიები ფაზურ სიბრტყეზე სისტემის შერთვის შემდეგ შეიძლება პარალელური იყოს, ამ შემთხვევაში $\dot{x} = \text{const}$ და $\ddot{x} = 0$. წარმოებულების შეზღუდვის და ამის შედეგად სისტემის დინამიკური თვისების გაუმჯობესების საკითხი გამოკვლეულია შრომაში [4].



ნახ. 5

როგორც აღნიშნული იყო [6], გარდამავალი პროცესების მინიმალური დრო მიიღება მაშინ, როცა

$$\int_{x_1}^{x_2} \frac{dx}{\dot{x}} \rightarrow 0.$$

ჩვენი შემთხვევისათვის (პირველი რიგის განტოლება) ეს ტოლფარდია შემდეგი პირობისა

$$\int_{x_1}^{x_2} \dot{x} dx \rightarrow \infty,$$

რაც შედარებით ადვილად შეიძლება შესრულდეს x_{BX} -ის გადიდებით (ნახ. 5). აღნიშნულ საშუალებას ხშირად იყენებენ თანადროულ ამძრავში (ე. წ. აძლიერება).

როგორც მე-5 ნახაზიდან ჩანს, სისტემის შერთვის მომენტი x_k -ს ცვლილების დროს სხვადასხვაა. ამასთან ერთად სხვადასხვაა x -ის დამყარებული მნიშვნელობაც.

წაკვეთით უკუქავშირის გამოყენების დროს გაცილებით დიდდება ფართობი

$$S = \int_0^{kx_{BX}} \dot{x} dx = \int_0^{x_k} \dot{x} dx + \int_{x_k}^{kx_{BX}} \dot{x} dx. \quad (12)$$

ამგვარად, უბან-უბან წრფივ სისტემებში გარდამავალი პროცესი უფრო მცირე ხანს გრძელდება, ვიდრე წრფივ შერთულ სისტემებში. უბან-უბან წრფივ სისტემებში ე. წ. აძლიერების გამოყენების შემთხვევაში (წყვეტილი ხაზი ნახ. № 5-ზე) გარდამავალი პროცესის დრო საგრძნობლად მცირდება.

განვიხილოთ ახლა მეორე რიგის უბან-უბან წრფივი სისტემა. ასეთი სისტემის განტოლებები შემდეგია:

$$(T_1 T_2 P^2 + T_1 P + I)\ddot{x} = k_1 \bar{x}_{BX}, \quad (13)$$

როცა

$$0 < t < t_3,$$

და

$$(T_1 T_2 P^2 + T_1 P + I + K_1 K_2)\ddot{x} = K_1 \bar{x}_{BX} + K_1 K_2 \bar{x}_k + P c_1 x(t_3) + c_2 \dot{x}(t_3) + c_3 x(t_3), \quad (14)$$

როცა

$$t_3 < t < \infty.$$

მე-(13) განტოლების გადაწყვეტა მოგვცემს

$$x = Kx_{BX} + \frac{K_1 x_{BX}}{T_1 T_2 r_1 (r_1 - r_2)} e^{r_1 t} - \frac{K_1 x_{BX}}{T_1 T_2 r_2 (r_1 - r_2)} e^{r_2 t} \quad (15)$$

და $\dot{x} = \theta (e^{r_1 t} - e^{r_2 t}), \quad (16)$

სადაც $\theta = \frac{K_1 x_{BX}}{T_1 T_2 (r_1 - r_2)}$

ფაზურ სიბრტყეზე განტოლებებს შემდეგი სახე ექნებათ:

$$(\dot{x} + r_1 K x_{BX} - r_2 x)^{r_2} [r_1 \theta (\dot{x} + r_2 K x_{BX} - r_2 x) - \dot{x} (r_1 - r_2)]^{-r_1} = D, \quad (17)$$

სადაც $D = \theta^{-r_1} (r_1 - r_2)^{r_2 - r_1}$

სურათი ფაზურ სიბრტყეზე შეიძლება უფრო ადვილად იქნეს გამოკვეთილი (15) და (16) განტოლებების საშუალებით.

იმის მიხედვით r_1 და r_2 კომპლექსური თუ ნამდვილი სიდიდეებია, შემდეგი ტრაექტორიები გვექნება (ნახ. 6)

მრუდი 1 შეესაბამება დამახასიათებელი განტოლების კომპლექსურ ფესვებს.

მრუდი 2 შეესაბამება დამახასიათებელი განტოლების ნამდვილ ფესვებს გადარეგულირების დროს.

მრუდი 3 შეესაბამება მონოტონურ პროცესს.

განვიხილოთ ახლა შერთული სისტემის გარდამავალი პროცესების არე.

ამისათვის გამოვიყენებთ მე-(14) განტოლებას, გვახსოვს რა, ამავე დროს, რომ შემავალი სიდიდის ანასახია

$$\bar{x}_{BX} = x_{BX} \frac{e^{t_3 P}}{P}, \text{ რადგანაც } x_{BX} \text{ ძალა მოქმედებს } t = -t_3 \text{ მომენტიდან.}$$

მე-(14) განტოლების ამონახსნი $t_3 < t < \infty$ მომენტის ინტერვალისათვის, თუ მხედველობაში მივიღებთ იმ მდგომარეობას, რომ ამპლიტუდით $x(t_3) = x$, მოგვცემს:

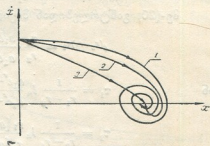
$$x = \frac{K_1 (x_{BX} + K_2 x_k)}{1 + K_1 K_2} - \frac{a_1 e^{r_1 t_3} - a_2 \dot{x}(t_3) + a_3 x_k}{a_4} e^{r_1 t} \quad (18)$$

სადაც $+ \frac{a_1 e^{r_2 t_3} - a_5 \dot{x}(t_3) + a_6 x_k}{a_4} e^{r_2 t},$

$$\left. \begin{aligned} a &= K_1 x_{BX} & a_4 &= T_1 T_2 r_1 (r - r_2) \\ a_2 &= T_1 T_2 r_1 & a_5 &= T_1 T_2 r_1 c_1 \\ a_3 &= K_1 K_2 - r_1^2 T_1 T_2 - T_2 & a_6 &= K_1 K_2 - r_2^2 T_1 T_2 - T_1 \end{aligned} \right\} \quad (19)$$

შესაბამისად

$$\dot{x} = -r_1 \frac{a_1 e^{r_1 t_3} - a_2 \dot{x}(t_3) - a_6 x_k}{a_4} e^{r_1 t} + r_2 \frac{a_1 e^{r_2 t_3} - a_5 \dot{x}(t_3) + a_6 x_k}{a_4} e^{r_2 t} \quad (20)$$



ნახ. 6

შერთული სისტემის განტოლებების გამოკვლევა

განვიხილოთ განტოლებები (18) და (20). იმის გამო, რომ ჩვენ მდგარ პროცესს განვიხილავთ, r_1 და r_2 ფესვებს უარყოფითი ნამდვილი ნაწილის ნიშანი აქვს.

დავუშვათ, რომ r_1 და r_2 კომპლექსური სიდიდეები არაა. გამოვიკვლიოთ გარდამავალი პროცესის ხასიათი. ამისათვის განვსაზღვროთ დროის მომენტი, როცა ადგილი აქვს შემდეგ ტოლობას:

$$x = 0$$

$$x = \frac{K_1(x_{Bx} + K_2x_k)}{1 + K_1K_2}. \quad (21)$$

ამ შემთხვევისათვის (18) განტოლებიდან [1] მივიღებთ:

$$e^{(r_2 - r_1)\tau_1} = \frac{a_1 e^{r_1 t_3} - a_2 \dot{x}(t_3) + a_3 x_k}{a_1 e^{r_2 t_3} - a_5 \dot{x}(t_3) + a_6 x_k} \quad (22)$$

მე-(20) განტოლებიდან მივიღებთ:

$$e^{(r_2 - r_1)\tau_2} = \frac{r_1}{r_2} \frac{a_1 e^{r_1 t_3} - a_2 \dot{x}(t_3) + a_3 x_k}{a_1 e^{r_2 t_3} - a_5 \dot{x}(t_3) + a_6 x_k} \quad (23)$$

ან

$$\tau_1 = \frac{1}{r_1 - r_2} \ln \frac{a_1 e^{r_1 t_3} - a_2 \dot{x}(t_3) + a_3 x_k}{a_1 e^{r_2 t_3} - a_5 \dot{x}(t_3) + a_6 x_k} \quad (24)$$

$$\tau_2 = \frac{1}{r_2 - r_1} \ln \frac{r_1 [a_1 e^{r_1 t_3} - a_2 \dot{x}(t_3) + a_3 x_k]}{r_2 [a_1 e^{r_2 t_3} - a_5 \dot{x}(t_3) + a_6 x_k]} \quad (25)$$

ვინაიდან ფესვები არაკომპლექსური და უარყოფითი სიდიდეებია, ხოლო დამახასიათებელი განტოლება მეორე რიგისაა, ამისათვის საკმარისია განვიხილოთ მხოლოდ ერთი პირობა, მაგალითად (24). ამავე დროს ძნელი შესამჩნევი არაა, რომ (24) და (25) განტოლებებს თითო ფესვი აქვს.

ჩვენი მიზანია ავაგოთ x_k -ს და $\dot{x}(t_3)$ ცვლილების ის არე, სადაც სისტემაში უკუკავშირის წრედის შერთვის შემდეგ ადგილი აქვს მონოტონურ გარდამავალ პროცესს.

როცა $0 < t < \infty$, მონოტონობის პირობად მიიღება [1] პირობა იმისა, რომ სიდიდეს

$$\ln \frac{r_1 [a_1 e^{r_1 t_3} - a_2 \dot{x}(t_3) + a_3 x_k]}{r_2 [a_1 e^{r_2 t_3} - a_5 \dot{x}(t_3) + a_6 x_k]}$$

დადებითი ნიშანი აქვს, რადგანაც (25) და (24) განტოლებებში ნიშანი ლოგარითმის წინ უარყოფითია.

ზემომოყვანილი პირობა შესრულებული იქნება, როცა

$$r_1 [a_1 e^{r_1 t_3} - a_2 \dot{x}(t_3) + a_3 x_k] > r_2 [a_1 e^{r_2 t_3} - a_5 \dot{x}(t_3) + a_6 x_k] \quad (26)$$

ანდა

$$x_k \frac{r_1 a_3 - r_2 a_6}{r_1 a_2 - r_2 a_6} + \frac{r_1 a_1}{r_1 a_2 - r_2 a_6} e^{r_1 t_3} - \frac{a_1}{r_1 a_1 - r_2 a_6} e^{r_2 t_3} > \dot{x}(t_3). \quad (27)$$

ძნელი შესამჩნევი არაა, რომ, თუ ადგილი აქვს (26) (27) უტოლობას, მაშინ (25) განტოლების ფესვი უარყოფითია და $0 < t < \infty$ არეში x არსად ნულის ტოლი არ გახდება.

მონოტონურობის საზღვარი შეიძლება გამორკვეული იქნას განტოლებიდან

$$x_2 \lambda_1 - e^{-\lambda_1 t_3} \lambda_2 + e^{-\lambda_2 t_3} \lambda_3 = \dot{x}(t_3), \quad (28)$$

სადაც

$$\lambda_1 = \frac{r_1 a_3 - r_2 a_6}{r_1 a_2 - r_2 a_5} \quad \lambda_3 = - \frac{r_2 a_1}{r_1 a_2 - r_2 a_5}$$

$$\lambda_2 = - \frac{r_1 a_1}{r_1 a_2 - r_2 a_5} \quad q_1 = -r_1 \quad q_2 = -r_2$$

λ_1, λ_2 და λ_3 კოეფიციენტებს სისტემის პარამეტრების მიხედვით შეიძლება ჰქონდეთ სხვადასხვა ნიშანი.

მონოტონურობის არის ასაგებად ჯერ x -ისაგან დამოკიდებული $\varphi(t) = -\lambda_2 e^{-\lambda_1 t} + \lambda_3 e^{-\lambda_2 t}$ ფუნქცია ავაგოთ. ფუნქცია $x = f(t)$ მოყვანილია ნახ. 7-ზე. იქვე მოყვანილია ფუნქცია $\varphi(t)$ და $\psi(t)$.

ავაგოთ ახლა შეკრული სისტემის ფაზურ სიბრტყეზე $\psi(x)$ ფუნქცია და $\lambda_1 x_2$ წრფე-ამასთან უნდა აღინიშნოს, რომ $0 < t_3 < \infty$ ინტერვალში შერთვის მომენტი შეცვლის დროს ადგილი აქვს შემდეგ ტოლობას:

$$\dot{x}(t_3) = \dot{x} \text{ და } x_2 = x$$

ნახ. 8-ზე აგებულია

$$\Phi = \psi(x) + \lambda_1 x$$

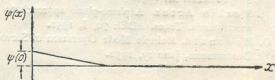
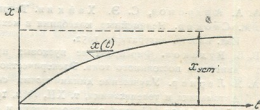
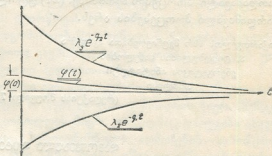
ფუნქცია, რომელიც მონოტონურობის საზღვარს განსაზღვრავს.

როგორც უკვე იყო აღნიშნული, λ_1 კოეფიციენტს შეიძლება ჰქონდეს მნიშვნელოვანი $\lambda_1 > 0$ ან $\lambda_1 < 0$.

როცა

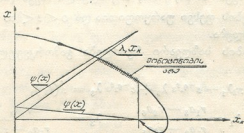
$$\lambda_1 = \frac{\pi}{2},$$

ფაზური სიბრტყის მთელი არე მონოტონობის არეს წარმოადგენს და შერთვის მომენტისაგან დამოუკიდებლად გადარეგულირებას ადგილი არ ექნება.



ნახ. 7

გადარეგულირებას ადგილი არ ექნება.



ნახ. 8

დასკვნები

1. უბან-უბან წრფივ სისტემის შეუძლია საგრძნობლად გააუმჯობესოს სისტემის დინამიკური თვისებები;
2. წაკვეთის სიდიდის x_1 -ს შეცვლით შეგვიძლია ვმართოთ სიდიდე x_2 ;
3. სისტემის შერთვის მომენტის ცვლამ შეიძლება გავლენა მოახდინოს გარდამავალი პროცესის ხარისხზე. (27) უტოლობა განსაზღვრავს მონოტონური გარდამავალი პროცესების არეს.

საქართველოს სსრ მეცნიერებათა აკადემია

- ა. დიდებულის სახელობის
ენერგეტიკის ინსტიტუტი
თბილისი

(რედაქციას მოუვიდა 7.1.1954)

დამოწმებული ლიტერატურა

1. А. А. Андронов, С. Э. Хайкин. Теория колебания, ОНТИ НКТП, 1937.
2. Дж. Стокер. Нелинейные колебания в механических и электрических системах Изд. иностр. литературы, 1952.
3. В. В. Рудаков. Фирсирование пусковых процессов привода по схеме генератор-двигатель постоянного тока. Электричество, № 9, 1951.
4. А. Я. Лернер. Улучшение динамических свойств автоматических компенсаторов. Автоматика и телемеханика, т. XII, № 2, 1952.
5. Д. П. Морозов. Теория электропривода и автоматика реверсивных станов. Госэнергоиздат. М. 1949.
6. M. Horkin Artuz. A phase-plane approach to the compensation of saturating servomechanisms. Trans. ADEE 70, I, 1951.
7. D. McDonald. Multiple Mode Operation of Servomechanisms. The Review of Scientific Instruments, January, 1952.

ლ. შონიაშვილი

 ბარემული ღორის ნიმატოდის ახალი სახეობა—*SIMONDSIA*
PETROWI NOV. SP.—საქართველოდან

(წარმოადგინა აკადემიის ნამდვილმა წევრმა ფ. ზაიცემა 10.12.1953)

გარეული ღორის ჰელმინთოფაუნის შესწავლისას საქართველოში ჩვენ მიერ კუჭის კედლის სისქეში ნაპოვნია იშვიათი ნიმატოდები, რომლებსაც მკვეთრი სქესობრივი დიმორფიზმი ახასიათებთ. დედალი ეგზემპლარები კუჭის კედლის სიმსიენეშია; მათი გამოყვანა ამ სიმსიენიდან დაუზიანებლად ძალიან ძნელია, რადგან სხეულის უკანა გაფართოებული ნაწილი მკიდროდ არის მიკრული კუჭის კედელზე. მამალი ეგზემპლარები, პირიქით, ცილინდრისებური ფორმისაა და კუჭის ლორწოვან ქსოვილში გვხვდებიან როგორც მიმაგრებულ, ისე თავისუფალ მდგომარეობაში. ვინაიდან *Simondsia*-ს გვარის წარმომადგენლები დღემდე საბჭოთა კავშირისათვის უცნობია, ამიტომ ვიძლევით ზოგიერთ ცნობას ამ იშვიათი ჰელმინტის შესახებ.

გვარი *Simondsia* წარმოდგენილი იყო ერთადერთი სახეობით *S. paradoxa*, რომელიც 1852 წელს ნაპოვნი იყო შინაურ ღორში სიმონდსის მიერ. შემდეგ ეს სახეობა განმარტებულ იქნა კობოლდის მიერ, რომელმაც დაადგინა ახალი გვარი და მას უწოდა *Simondsia*, ზემოაღნიშნული აღმოჩენის—სიმონდსის საპატივცემლოდ. შემდეგ *S. paradoxa* 1897 წელს აღწერილ იქნა დეტალურად იტალიელი მეცნიერის გ. პიანას მიერ.

გვარი *Simondsia* Cobbold, 1864

ღია გ ნ ო ზ ი: *Ascaropinae*. პირის ხერეღი მოკლებულია შესამჩნევ ტუჩს. პირის ხერეღის სიღრმეში მოთავსებულია ერთი დიდი ვერტრალური და ერთი დიდი დორზალური კბილი. ხახა ცილინდრისებურია, მისი კედელი აღჭურვილია სპირალური შესქელებებით. აქვს ყელის ფრთეული. საყლაპავი მილი გრძელი და ცილინდრისებურია. მამლის უკანა ნაწილი მოკლეა, კონუსისებური და სპირალურად მოხრილი. კუდის ფრთეული აქვს. აღინიშნება 4 წყვილი პრენალური და 1 წყვილი პოსტნალური დვრილები. სქესმწიფე დედალი პარაზიტის სხეულის უკანა ნაწილი გამოზერია ნახევრად მრგვალ პარკისებურად, რომელშიაც მოთავსებულია საშეილოსნო და ნაწლავის ნაწილი. ვულვა მოთავსებულია სხეულის წინა მესამედ ნაწილში.

ძუძუმწოვარი ცხოველების კუჭის პარაზიტი. ტიპობრივი და ერთადერთი სახეობა: *S. paradoxa* Cobbold, 1864.

მასპინძელი: *Sus scrofa domestica*.

ასეთია *Simondsia*-ს გვარის დიაგნოზი კობოლდის მიხედვით. იორკისა და შეპლესტონის მიერ მოცემულ გვარის დიაგნოზში აღნიშნულია, რომ პირის ხერელი შეიცავს ორ ტუჩს, რაც ჩვენი მასალითაც დასტურდება. ამიტომ კობოლდის მიერ მოცემულ გვარის დიაგნოზში შეტანილ უნდა იქნეს ცვლილება, რომ პირის ხერელი 2 ტუჩს შეიცავს.

Simondsia petrowi, nov. sp.

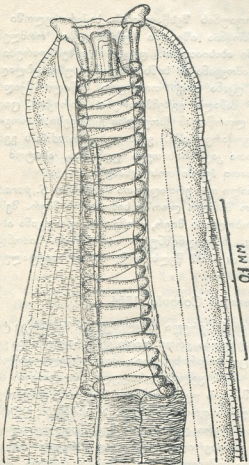
პარაზიტის ეს სახეობა ეკუთვნის *Telaxiidae* Skriabin, 1915, ოჯახს *Ascaropinae* Alicata et McIntosh, 1933, ქვეოჯახს *Simondsia* Cobbold, 1864 გვარს.

მასპინძელი—*Sus scrofa* L., 1758—გარეული ღორი, ლოკალიზაცია—კუჭი (კუჭის კედლის სიმსივნე).

მოპოვების ადგილი—საქართველო (ქიაურის ტყე—ლაგოდეხის რაიონი).

ინვაზიის სიხშირე—3 შემთხვევა 32 გამოკვლეული ღორიდან. ინვაზიის ინტენსივობა 1—9 ეგზ.

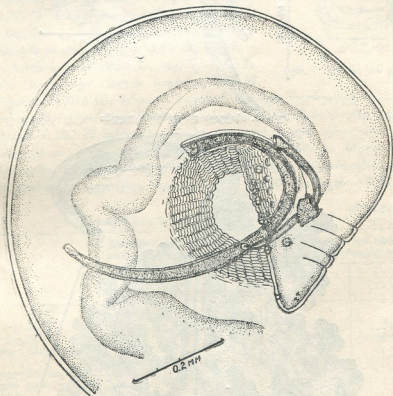
სახეობის აღწერა (საკუთარი გამოკვლევის მიხედვით). სხეული წვრილია. სხეულის წინა ნაწილი უფრო წვრილია, ვიდრე უკანა. კუტიკულას აქვს წვრილი განივი დახაზულობა, რომელთა შორის მანძილი 0,02—0,04 მმ. უდრის. პირი შემოფარგლულია ორი მომრგვალებული, კოტაოდენ გარეთ გამოშვებული ტუჩით. პირის ნახვრეტის სიღრმეში მოთავსებულია ერთი ღორხალური და ერთი ვენტრალური კბილი. პირის ნახვრეტი ხახაში გადადის. ხახა წარმოადგენს მოკლე მილს, რომლის კედელი შედგება ფუძესთან იწყება რგოლით.



სურ. 1. პარაზიტის თავის ნაწილი

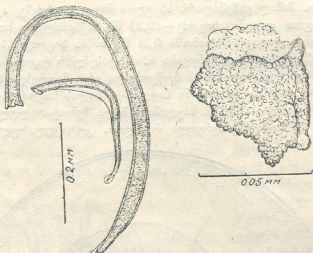
ქიტინიზებული სპირალისაგან, რომელიც ტუჩის და საყლაპავ მილამდე გრძელდება.

მამალი. მამალ ეგზემპლარს სხეულის მთელ სიგრძეზე აქვს თითქმის ცილინდრისებური ფორმა. სიგრძე—10,24 მმ, მაქსიმალური სიგანე 0,36 მმ. სხეულის სიგანე კლოაკის მიდამოში 0,31 მმ. ხახის სიგრძე 0,15 მმ., სიგანე 0,06 მმ. ხახა შედგება 24 ქიტინოვანი სპირალისებური რგოლისაგან, რომლებიც სწორი მამართულებით არიან მოწყობილი ერთიმეორეზე. ხახა ვადადის ორმაგ საყლაპავ მილში. კუნთოვანი საყლაპავი მილის სიგრძე 0,41 მმ უდრის, ხოლო ჯირკვლოვანისა—2,96 მმ. საყლაპავი მილი შემოფარგლულია თავის ნაწილიდან 0,30 მმ მანძილზე ნერეული რგოლით. კუტიკულარული ფრთეული

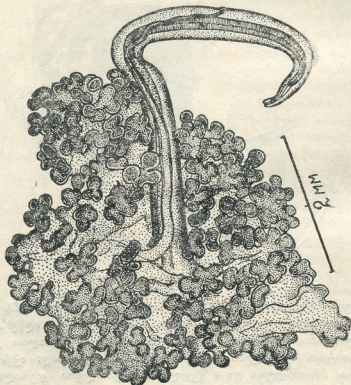


სურ. 2. პარაზიტის ბოლო ნაწილი

ოწყება თავის ნაწილიდან 0,120 მმ მანძილზე და სიგრძით 2,56 მმ აღწევს მანძილი თავიდან ექსკრეტორულ ნახვრეტამდე 0,571 მმ აღწევს. ნაწლავი იხსნება კლოაკაში, რომელიც განწყობილია 0,316 მმ მანძილით კუდის ბოლოდან. სასქესო დრეილები განწყობილია შემდეგვარად: აქვს 5 წყვილი დერძისებრი პრეანალური და 4 წყვილი პოსტანალური დერძილი. ამ ოთხი პოსტანალური დერძილიდან ერთი წყვილი დერძილი განწყობილია კლოაკის ახლოს, ორი წყვილი კუდთან და ერთი წყვილი მჯდომარე დერძილი კი თვით კუდის წვერთან. ეს უკანასკნელი დერძილი კარგად ჩანს მიკროსკოპში დიდ ჭადიღებაზე. აქვს ორი არათანაბარი სიგრძის სპიკულა. ერთი სპიკულა გრძე-



სურ. 3. სპიკულა და გუბერნაკულუმი



სურ. 4. დედალი პარაზიტი

ლი და მსხვილია. სიგრძე აღწევს 0,83—0,87 მმ. საგანე პროქსიმალური ნაწილისა, რომელიც დაკბილულია, 0,03 მმ უდრის. დისტალური ნაწილი ამ

სპიკულისა ბუშტისებური წარმონაქმნით ბოლოვდება. მეორე სპიკულა შედარებით მოკლეა და წვრილი, მისი სიგრძე 0,36—0,37 მმ აღწევს, ხოლო სიგანე პროქსიმალურ ნაწილში, რომელიც მომრგვალებულია, 0,02 მმ უდრის. დისტალური ნაწილი, როგორც დიდი სპიკულისა, აღქურვილია ბუშტისებური წარმონაქმნით.

გუბერნაკულუმს უსწორო ფორმის ფირფიტის სახე და ხორკლიანი სტრუქტურა აქვს. გუბერნაკულუმის სიგრძე—0,140 მმ, სიგანე—0,080 მმ.

დედალი პარაზიტის უკანა ნაწილს სფეროსებური ფორმა აქვს. პარაზიტის საერთო სიგრძე უდრის 8,33 მმ, წინა წვრილი ნაწილის სიგრძე—4,35 მმ, სიგანე—0,52 მმ. განიერი ან სფეროსებური ნაწილის სიგრძე აღწევს 3,98 მმ, სიგანე—0,070 მმ. ხაზის სიგრძე—0,21 მმ, სიგანე—0,05 მმ. კუნთოვანი საყლაპავი მილის სიგრძე—0,36 მმ, ჯირკვლოვანის—3,070 მმ. მანძილი თავიდან ნერვულ რგოლამდე 0,31 მმ აღწევს, ხოლო ექსკრეტორული ნახვრეტი თავიდან 0,36 მმ მანძილზე მდებარეობს. თავიდან 0,153 მმ მანძილზე იწყება კუტიკულარული ფრთეული, რომელიც დაახლოებით ვულვამდის გრძელდება. ვულვა იხსნება სხეულის წინა წვრილ ნაწილში, რომელიც თავიდან 2,40 მმ მანძილზე მდებარეობს. კვერცხი ოვალური ფორმისაა, კვერცხის სიგრძე 0,029—0,030 მმ, სიგანე—0,012 მმ.



0.05 MM

სურ. 5. პარაზიტის კვერცხი

ცხრილი 1

სახეობების შედარებითი დახასიათება

	<i>Simondsia paradoxa</i> Cobbold, 1864 Piana-ს მიხედვით 1897		<i>Simondsia petrowi</i> nov. sp. ჩვენი მონაცემებით	
	♂	♀	♂	♀
სხეულის სიგრძე	8,6—9,7	—	10,24	8,33
სიგანე	—	—	0,36	0,52—3,070
სიგრძე დიდი სპიკულისა	0,64	—	0,83—0,87	—
მცირე	0,34	—	0,36—0,37	—
გუბერნაკულუმის სიგრძე	—	—	0,080	—
პარენალური დერილი	4	—	5	—
პოსტანალური	1	—	4	—
კვერცხის სიგრძე	—	0,028—0,029	—	0,029—0,030
კვერცხის სიგანე	—	0,012	—	0,012
მასპინძელი	შინაური ღორი <i>Sus scrofa domestica</i>		ჯარეული ღორი— <i>Sus scrofa</i> L.	
ლოკალიზაცია	კუჭი (კუჭის კედლის სისქეში)		კუჭი (კუჭის კედლის სისქეში)	
მოპოვების ადგილი	დასავლეთ ევროპა		საქართველო (ჭიაურის ტყე — ლაგოდეხის რაიონი)	

შენიშვნა: როგორც წესი, მამალი ჰელმინთები სიგრძით დედალზე ნაკლებია. ჩვენი მასალების მიხედვით, პირიქით, მამალი ეგზემლარი მეტია დედალ ეგზემლარზე. ჩვენს მასალაში დედალი ეგზემლარების დახასიათების გამო განაზომები აღებულია მხოლოდ დედალი პარაზიტის ერთ ეგზემლარზე.

დიფერენციალური დიაგნოზი

ლიტერატურული მონაცემების მიხედვით (1, 2, 3, 4) გვარი *Simondsia* Cobbold, 1864, დღემდე წარმოდგენილი იყო მხოლოდ ერთი სახეობით *Simondsia paradoxa* Cobbold, 1864, რომელიც პარაზიტობს დასავლეთ ევროპის შინაურ და გარეულ ღორში.

Simondsia-ს გვარის წარმომადგენლები საბჭოთა კავშირის ტერიტორიაზე დღემდე არ ყოფილა რეგისტრირებული.

ჩვენ მიერ ნაპოვნი პარაზიტი *Simondsia*-ს გვარიდან გარეული ღორის კუჭის კედლის სიმსიენეში საქართველოს ტერიტორიაზე განსხვავდება *Simondsia paradoxi*-საგან შემდეგი ნიშნებით:

1. ჩვენ მიერ აღწერილ ახალ სახეობას აქვს კარგად განვითარებული გუბერნაკულუმი, მაშინ როდესაც *S. paradoxa*-ში გუბერნაკულუმის არსებობა არ არის ნაჩვენები.

2. ჩვენ მიერ აღწერილი პარაზიტის დიდი სპიკულის სიგრძე უდრის 0,83—0,87 მმ, მცირე სპიკულის სიგრძე აღწევს 0,36—0,037 მმ, ხოლო *S. paradoxa*-ს სპიკულისა 0,64 მმ, მცირე სპიკულის სიგრძე 0,034 მმ.

3. ჩვენ მიერ აღწერილ სახეობას (მამალ ეგზემპლარებს) აქვს 5 წყვილი პრენალური და 4 წყვილი პოსტნალური დერილი, ხოლო *S. paradoxa*-ს მამალ ეგზემპლარს მხოლოდ 4 წყვილი პრენალური და 1 წყვილი პოსტნალური.

ზემოთ მოყვანილი განსხვავებები ჩვენ გვაძლევს საფუძველს, რომ ჩვენ მიერ აღწერილი პარაზიტი ჩავთვალოთ ახალ სახეობად, რომელსაც *Simondsia petrowi* nov. sp. ვუწოდებთ.

ტიპი ინახება საქართველოს სსრ მეცნიერებათა აკადემიის ზოოლოგიის ინსტიტუტში და სკრიაბინის სახელობის საკავშირო ჰელმინთოლოგიის ინსტიტუტის მუზეუმში.

ვსარგებლობ შემთხვევით, გულითადი მადლობა ვუძღვნა აკად. სკრიაბინის სახ. საკავშირო ჰელმინთოლოგიის ინსტიტუტის პროფესორ ა. პეტროვს იმ დახმარებისათვის, რომელიც მან აღმომიჩინა ამ მასალის გარკვევასა და დამუშავებაში.

საქართველოს სსრ მეცნიერებათა აკადემია

ზოოლოგიის ინსტიტუტი

თბილისი

(რედაქციას მოუვიდა 12.1.1954)

დამოწმებული ლიტერატურა

1. G. P. Piana. Ricerche sulla morfologia della *Simondsia paradoxa* Cobbold, etc. Att. Soc. ital. di Sc. nat., Milan. vol. 57, 1897, p. 17.
2. M. Neven-Lemaire. Traite d'heminthologie medicale et veterinaire. Paris, 1936, p. 1233.
3. W. Yorke and P. A. Maplestone. Nematode parasites of vertebrates. London, 1926, p. 309.
4. К. И. Скрябин, И. П. Шихобалова, А. А. Соболев. Определитель паразитических нематод. Т. 1, изд. АН СССР, М.-Л., 1949, стр. 202.

რედაქტორის მოადგილე ი. გიგინეიშვილი

საქართველოს სსრ მეცნიერებათა აკადემიის გამომცემლობის სტამბა, აკ. წერეთლის ქ. № 3/5
Типография Издательства Академии Наук Грузинской ССР, ул. Ак. Церетели № 3/5

ზელმოწერილია დასაბეჭდად 24.6.1954
ანაწევობის ზომა 7×11
სააღრიცხვო-საგამომცემლო ფურცელი 6
საბეჭდი ფორმა 6,8
შეჯ. 731
უგ 05601
ტირაჟი 1000





დებულება „საქართველოს სსრ მეცნიერებათა აკადემიის მოაზრის“ შესახებ

1. „მოაზრეში“ იბეჭდება საქართველოს სსრ მეცნიერებათა აკადემიის მეცნიერი მუშაკებისა და სხვა მეცნიერთა წერილები, რომლებშიც მოკლედ გადმოცემულია მათი გამოკვლევების მთავარი შედეგები.
2. „მოაზრეს“ ხელმძღვანელობს სარედაქციო კოლეგია, რომელსაც ირჩევს საქართველოს სსრ მეცნიერებათა აკადემიის საერთო კრება.
3. „მოაზრე“ გამოდის ყოველთვიურად (თვის ბოლოს), გარდა ივლის-აგვისტოს თვისა — ცალკე ნაკვეთებად, დაახლოებით 5 ბეჭდური თაბახის მოცულობით თითოეული. ერთი წლის ყველა ნაკვეთი (სულ 10 ნაკვეთი) შეადგენს ერთ ტომს.
4. წერილები იბეჭდება ქართულ ენაზე, იგივე წერილები იბეჭდება რუსულ ენაზე პარალელურ გამოცემაში.
5. წერილის მოცულობა, ილუსტრაციების ჩათვლით, არ უნდა აღემატებოდეს 8 გვერდს. არ შეიძლება წერილების დაყოფა ნაწილებად სხვადასხვა ნაკვეთში გამოსაქვეყნებლად.
6. მეცნიერებათა აკადემიის ნამდვილი წევრებისა და წევრ-კორესპონდენტების წერილები უშუალოდ გადაეცემა დასაბეჭდად „მოაზრის“ რედაქციას, სხვა ავტორების წერილები კი იბეჭდება საქართველოს სსრ მეცნიერებათა აკადემიის ნამდვილი წევრის ან წევრ-კორესპონდენტის წარმოდგენით. წარმოდგენის გარეშე შემოსულ წერილებს რედაქცია გადასცემს აკადემიის რომელიმე ნამდვილ წევრს ან წევრ-კორესპონდენტს განსახილველად და, მისი დადებითი შეფასების შემთხვევაში, წარმოსადგენად.
7. წერილები და ილუსტრაციები წარმოდგენილი უნდა იქნეს ავტორის მიერ სავსებით გამზადებული დასაბეჭდად. ფორმულები მკაფიოდ უნდა იყოს ტექსტში ჩაწერილი ხელით. წერილის დასაბეჭდად მიღების შემდეგ ტექსტში არაავითარი შესწორებისა და დამატების შეტანა არ დაიშვება.
8. დამოწმებული ლიტერატურის შესახებ მონაცემები უნდა იყოს შეძლებისდაგვარად სრული: საჭიროა აღინიშნოს ეჭრნალის სახელწოდება, ნომერი სერიისა, ტომისა, ნაკვეთისა, გამოცემის წელი, წერილის სრული სათაური; თუ დამოწმებულია წიგნი, სავალდებულოა წიგნის სრული სახელწოდების, გამოცემის წლისა და ადგილის მითითება.
9. დამოწმებული ლიტერატურის დასახელება წერილის ბოლოში ერთვის სიის სახით ლიტერატურაზე მითითებისას ტექსტში ან შენიშვნებში ნაჩვენები უნდა იქნეს ნომერი სიის მიხედვით, ჩასმული კვადრატულ ფრჩხილებში.
10. წერილის ტექსტის ბოლოს ავტორმა უნდა აღნიშნოს სათანადო ენებზე დასახელება და ადგილმდებარეობა დაწესებულებისა, სადაც შესრულებულია ნაშრომი. წერილი თარიღდება რედაქციაში შემოსვლის დღით.
11. ავტორს ეძლევა გვერდებად შეკრული ერთი კორექტურა მკაცრად განსაზღვრული ვადით (ჩვეულებრივად, არა უმეტეს ერთი დღისა). დადგენილი ვადისთვის კორექტურის წარმოდგენილობის შემთხვევაში რედაქციას უფლება აქვს შეაჩეროს წერილის დაბეჭდვა, ან დაბეჭდოს იგი ავტორის ვიზის გარეშე.
12. ავტორს უფასოდ ეძლევა მისი წერილის 50 ამონაბეჭდი (25 ამონაბეჭდი თითოეული გამოცემიდან) და თითო ცალ „მოაზრის“ ნაკვეთებისა, რომლებშიც მისი წერილია მოთავსებული.

სამეცნიერო მისამართი: თბილისი, ძეგლისძის ქ., 8

СООБЩЕНИЯ АКАДЕМИИ НАУК ГРУЗИНСКОЙ ССР, Т. XV, № 7, 1954

Основное, грузинское издание